

ՀԱՅԱՍՏԱՐԻ ՔԻՄԻԱԿԱՐ ՀԱՐԴԵՍ

Химический журнал армении

CHEMICAL JOURNAL OF ARMENIA

Վ. Դ. Ազատյան (գլթ. Իմբագրի տեղակալ), Ա. Ա. Ալչուջյան, Հ. Գ. Բաբայան, Գ. Ց. Թադևոսյան (գլթ. Իմբագրիշ), Վ. Մ. Թառայան, Ա. Մ. Հակոբյան, Հ. Ա. Հարոյան, Ա. Հ. Մանթաշյան, Մ. Գ. Մանվելյան, Լ. Գ. Մելբոնյան, Հ. Հ. Չալթիկյան, Ս. Հ. Վարդանյան, Ս. Ա. Ցեր-Դանիելյան (գրթ. բարաուղար), Տ. Վ. Քրմոյան

Udag betrager U. U. Judpjuß

РЕЛАКЦИОННАЯ КОЛЛЕГИЯ

В. Д. Азатян (зам. глав. редактора), А. Н. Акопян, А. А. Алчуджан, А. А. Ароян, Г. Г. Бабаян, С. А. Вартанян, Т. В. Крмоян, М. Г. Манвелян, А. А. Манташян, Л. Г. Мелконян, В. М. Тараян, Г. Т. Татевосян (глав. редактор), С. А. Тер-Даниелян (ответ. секретарь), О. А. Чалтыкян

Старший редактор А. А. Давтян

Метария (торых время, Рарафия п. Р. р. 24 Адрес редакции: Ереван, Барекамутян, 24



В. А. АМБАРЦУМЯН

Глубокоуважаемый ВИКТОР АМАЗАСПОВИЧ!

Отмечая юбилейную дату — 60-летие со дня Вашего рождения и 45-летие научной деятельности — армянский народ и научная общественность Советского Союза поздравляют в Вашем лице основоположника и крупнейшего представителя теоретической астрофизики

Коллективы сотрудников научных учреждений Отделения химических наук АН Армянской ССР и редакции Армянского химического журнала шлют своему Президенту сердечные поздравления со славным юбилеем и пожелания здоровья и дальнейших творческих достижений в многогранной научной и научно-организационной деятельности.

XXI, № 7, 1968

ОБЩАЯ И ФИЗИЧЕСКАЯ ХИМИЯ

УДК 66-972

О ПАРАЛЛЕЛЬНОМ ПРОТЕКАНИИ ДВУХ РЕАКЦИЙ ПРИ ВЗАИМОДЕЙСТВИИ ПЕРЕКИСИ БЕНЗОИЛА С ТРИЭТАНОЛАМИНОМ В ДИМЕТИЛФОРМАМИДЕ В ИНЕРТНОЙ АТМОСФЕРЕ

Н. М. БЕЙЛЕРЯН, Б. М. СОГОМОНЯН В О. А. ЧАЛТЫКЯН

Установлено, что в инертной атмосфере скорость реакции перекись бензоила + +триэтаноламин в диметилформамиде описывается уравнением: $W=k_1(A)\,(P)^2+k_1(A)\,(P)$, когда $(A)_0\gg(P)_0$. Скорость, относящаяся к первому члену, равна скорости, исследованной нами ранее той же реакции в присутствии воздуха; кислород полностью ингибирует вторую реакцию. В присутствии диметилформамида полимеризация винилацетата не инициируется системой перекись бензоила + триэтаноламин, что указывает на быстрый захват бензоатных радикалов молекулами растворителя.

Из наших предыдущих сообщений [1, 2] следует, что кинетика реакции перекись бензоила (ПБ) + триэтаноламин (ТЭА) коренным образом меняется, если в качестве растворителя берется диметилформамид (ДМФА). Скорость взаимодействия ПБ с ТЭА в таких растворителях, как и-гексан, циклогексан, бензол, винилацетат, диоксан, ацетон и пиридин, описывается одним и тем же уравнением:

$$W = k (P)^{n/a} (A)^n$$
, где $n = 0.5 \div 1.0$.

В ДМФА, когда имеется доступ воздуха в реакционную смесь, уравнение скорости принимает вид:

$$W=k(P)^2(A).$$

Для понимания своеобразного влияния ДМФА на кинетику реакции $\Pi B + T \Theta A$ было найдено целесообразным исследовать закономерности протекания реакции в ДМФА в отсутствии кислорода.

Экспериментальная часть

Опыты велись в атмосфере азота. За скоростью реакции следили йодометрически [1].

Влияние кислорода на скорость расходования перекиси бензоила. Кинетические данные, приведенные на рисунке 1, показывают, что при проведении реакции в совершенно одинаковых условиях скорость ее значительно меньше в присутствии кислорода, чем в от-

сутствии последнего. Ввиду того, что нами была установлена [3] способность триэтаноламинного радикала поглощать кислород, изучено поглощение кислорода системой ПБ+ТЭА в ДМФА; поглощение кислорода данной системой указывало бы на промежуточное образование

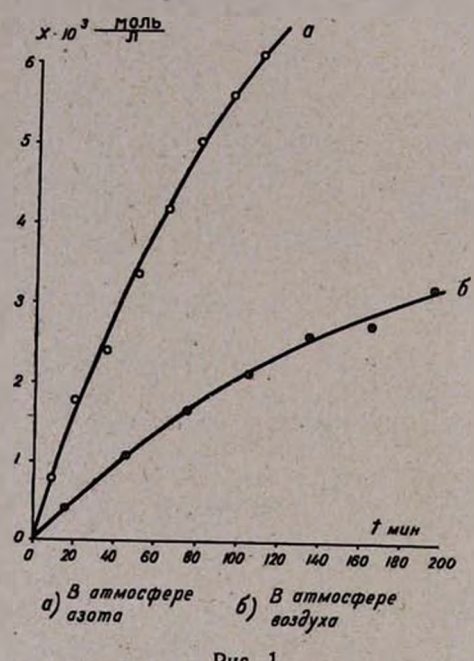


Рис. 1.

триэтаноламинного радикала. Оказалось, что до 40° при $(P)_0 =$ = 0.01 моль/л и $(A_0) = 0.1$ моль/л нет заметного поглощения кислорода (аппарат Варбурга).

Данные по поглощению кислорода при 40° приведены в таблице 1.

Таблица 1 $(P)_0 = 0.01$ моль/л, $(A)_0 = 0.1$ моль/л, $t = 40^\circ$, объем реакционной смеси — 4 мл Время. 11 26 56 87 99 151 34 121 184 207 218 226 279 MHH Объем поглошен-0,98 1,30 1,74 2,60 3,26 3,47 3,91 4,67 5,21 5,43 5,64 5,86 6,73 ного О2, рл

Из данных таблицы следует, во-первых, что при 40° имеется поглощение О2 системой ПБ + ТЭА, свидетельствующее о промежуточном образовании свободных радикалов; во-вторых, если допустить, что весь поглощенный кислород превращается в перекись (или гидроперекись), то ее количеством, по сравнению с количеством имеющейся в системе перекиси, можно полностью пренебречь (0,7%). Следовательно, йодометрически определенная нами перекись — это практически полностью ПБ.

Влияние начальных концентраций реагентов на скорость реакции изучалось варивцией исходной концентрации ПБ в интервале 0.0075-0.025 моль/л при условии $(A)_0\gg(P)_0$ с целью облегчения обработки экспериментальных данных.

Из рисунка 2 следует, что между величинами начальных скоростей реакции и исходными концентрациями ПБ нет прямолинейной зависимости, что указывает на неприме-

$$W^{\circ} = k (A)_{0}^{m} (P)_{0}^{n} = k_{1} (P)_{0}^{n}$$
 (1)

при t = 15, 20 и 25°.

Неприменимость (1) обусловлена тем, что либо п меняется с изменением исходной концентрации ПБ, либо скорость реакции выражается в виде суммы нескольких скоростей. Решение вопроса в первом приближении искали, выражая скорость в виде суммы двух скоростей:

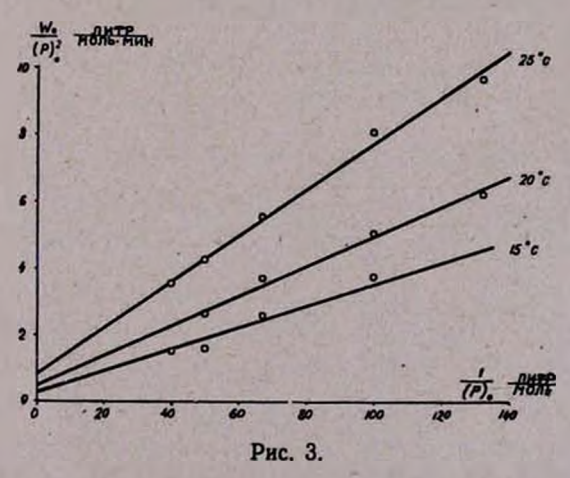
$$W_{\text{сумм.}} = W_1 + W_2 \qquad (2) \qquad \text{PHC. 2.}$$

$$W_{\text{сумм.}}^{\circ} = k_1 (A)_0^n (P)_0^m + k_2 (A)_0^{n_1} (P)_0^{m_1} = k_1' (P)_0^m + k_2' (P)_0^{m_1}, \qquad (3)$$

где $k_1' = k_1(A)_0^n$, $k_2' = k_2(A)_2^n$, так как $(A)_0 \gg (P)_0$.

Экспериментальные дянные удовлетворяют уравнению типа (3) только в том случае, когда m=2 и $m_1=1$. Следовательно, (3) пишется в виде:

$$W^{\circ} = k'_1(P)_0^2 + k'_2(P)_0$$
 или $W^{\circ}/(P)_0^2 = k'_1 + k'_2 \cdot 1/(P)_0$. (4)



. С помощью рисунка 3 можно рассчитать значения k_1' и k_2' при температурах 15, 20 и 25°. Данные расчетов приведены в таблице 2.

| | | Таблица 2 |
|------------------------|----------------------|---------------------------------|
| t, °C | $k_1' = k_1 (A)_0^n$ | $k_2' = k_3 \left(A\right)_0^n$ |
| 15 | 0,3 | 3,1.10-2 |
| 15 20 | 0,5 | 4,5.10-2 |
| 25 | 0,8 | $6,7 \cdot 10^{-2}$ |
| <i>Е</i> эф. ккал/моль | 15,6 | 14,0 |

Значения k_1' и k_2' , рассчитанные при различных температурах, удовлетворяют уравнению Аррениуса, что дает возможность определить эффективные энергии активации обеих реакций. Интересны значения k_1 и $E_{9\Phi} = 15.6$ ккал/моль.

Известно [2], что $E_{s\phi}$ реакции ПБ + ТЭА в ДМФА на воздухе равна 15,2 ккал/моль. Если на основании кинетических данных, приведенных в работе [2], рассчитать величину $k_{\rm B}(A)_0 = W_{\rm B}/(P)_0^2$, где $k_{\rm B}$ — константа скорости на воздухе, а $W_{\rm B}$ — начальная скорость реакции, то как следует из таблицы 3, эта величина равна $k_{\rm B}'$.

| Таблица | | | | | |
|---------|------|----------------------------------|--|--|--|
| t, °C | | $k_1' = k_1(A)_0^n$ (из табл. 2) | | | |
| 15 | 0,32 | -0,31 | | | |
| 20 | 0,45 | 0,50 | | | |
| 25 | 0,69 | 0,80 | | | |
| E | 15,2 | 15,62 | | | |

Из таблицы 3 можно заключить, что $k_1=k_{\rm B}$ и n=1. Следовательно, одна реакция с одинаковой скоростью протекает как на воздухе, так и в отсутствии кислорода. По-видимому, эта реакция не носит радикального характера. Если обозначить

$$W_{\text{сум.}} = W_{N_a}, \quad \text{to} \quad W_{N_a}^* = W_{B}^* + k_2'(P)_0,$$
 (5)

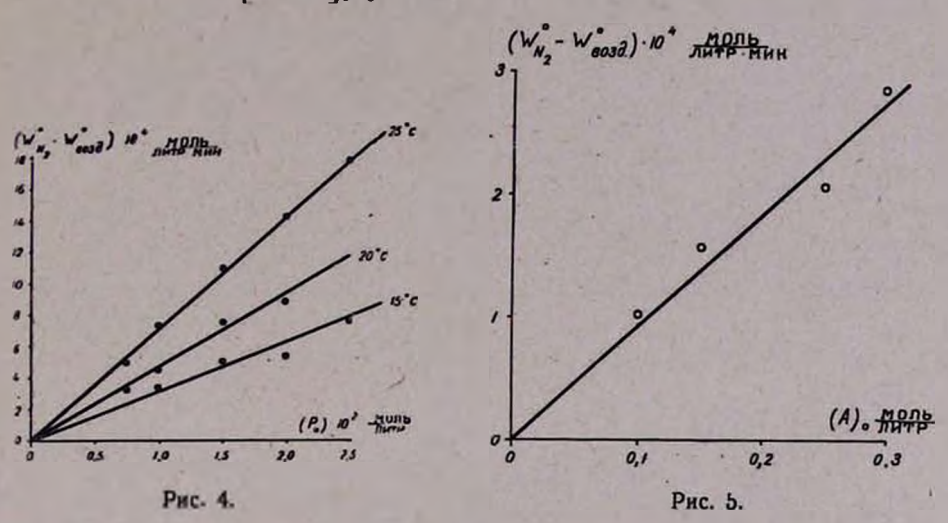
где W_{N} — начальная скорость реакции в атмосфере азота, т. е. в отсутствии кислорода. Рассчитав значение W из работы [2], подставив в (5) и отложив на оси ординат W_{N}° — W° , а на оси абсцисс $(P)_{0}$, получаем прямую (рис. 4) с тангенсом угла наклона, равным $k'=k_{2}(A)^{n_{1}}$. Значения k', рассчитанные из рисунка 4, как и следовало ожидать, с большой точностью совпадают со значениями k', определенными из рисунка 3. Таким образом, зависимость k_{1} и k_{2} от температуры выражается уравнениями:

 $k_1 = 1,521 \cdot 10^{19} \exp{(-15800/RT)}, \quad k_2 = 6,298 \cdot 10^9 \exp{(-14000/RT)}.$ Из (5) получаем:

$$W_{N_a}^{\circ} - W_a^{\circ} = k_2 (A)_0^n (P)_0.$$
 (6)

Меняя начальную концентрацию ТЭА в интервале 0,1-0,3 моль/ Λ , определяя скорость реакции в инертной атмосфере и рассчитывая ту же скорость на воздухе, определяли порядок второй реакции по триэтаноламину. Для скорости реакции ПБ + ТЭА в ДМФА в инертной атмосфере окончательно получаем следующее выражение:

$$-\left[\frac{d(P)}{dt}\right]_{t\to 0} = k_1(A)_0(P)_0^2 + k_2(A)_0(P)_0. \tag{7}$$



Если при проведении реакции с доступом воздуха имеется некоторое, хотя и очень малое, поглощение кислорода, но $k_3 \cdot (A)_0 \cdot (P)_0 \approx 0$, т. е. $k_2 \approx 0$, можно заключить, что второй член уравнения (7) выражает скорость реакции, протекающей по радикальному механизму и полностью ингибируемой кислородом. Таким образом, можно предположить, что между ПБ и ТЭА в ДМФА параллельно протекают 2 реакции: одна нерадикального типа ($W_{\text{перад}}^{\circ}$), я во второй генерируются свободные радикалы ($W_{\text{рад}}^{\circ}$). Следовательно,

$$W_{N_s}^{\circ} = W_{\text{сумм.}}^{\circ} = W_{\text{рад.}}^{\circ} + W_{\text{нерад.}}^{\circ}. \tag{8}$$

В таблице 4 дана доля скоростей каждой из параллельных реакций в общей скорости в зависимости от исходной концентрации ПБ при $t=20^\circ$.

Из данных таблицы 4 нетрудно убедиться, что в отсутствии О₂ в ДМФА реакция между ПБ и ТЭА протекает преимущественно с генерацией свободных радикалов. Однако, наши предварительные данные показали полное отсутствие инициирования полимеризации винилацетата в присутствии ДМФА вплоть до 65°С в отсутствии кислорода. Предполагался очень быстрый захват бензоатных радикалов молекулами ДМФА. Последующие данные по кинетике термического распада ПБ и ДМФА показали правдоподобность такого объяснения.

| | **** | Таблица 4 |
|--|--------------------------|------------------------|
| (P) ₀ ·10 ² моль/л | W _{нервд.} -100 | W _{pas.} ⋅100 |
| 0,75 | 7,1 | 92,9 |
| 1,00 | 8,8 | 91,2 |
| 1,50 | 10,7 | 89,3 |
| 2,00 | 16,6 | 83,4 |

В действительности, при 70° ПБ закономерно расходуется в ДМФА, когда термический распад ведется в отсутствии кислорода воздуха (см. табл. 5).

| $[P]_0 = 0,01$ моль/ A | | | | | | | | `а б л ица 5 |
|-----------------------------|-------|-------|-------|-------|-------|-------|-------|---------------------|
| Время, мин | 15 | 30 | 40 | 60 | 75 | 90 | 105 | 120 |
| (P-x)10 ³ моль/л | 0,919 | 0,859 | 0,814 | 0,720 | 0,652 | 0,605 | 0,551 | 0,513 |

Однако, при доступе воздуха наблюдается закономерное увеличение расхода тиосульфата. Как следует из данных таблицы 6, количество йодометрически определяемой перекиси по ходу процесса увеличивается.

| $(P)_0 = 0,02$ моль/л $t = 60^\circ$ | | | | | | | | | Tab | лица 6 |
|--------------------------------------|------|------|------|------|------|------|------|------|------|--------|
| Время, мин | 0 | 5 | 10 | 15 | 35 | 55 | 75 | 95 | 115 | 135 |
| (P-x)·10 ² моль/л | 2,00 | 2,02 | 2,04 | 2,07 | 2,12 | 2,18 | 2,25 | 2,34 | 2,36 | 2,44 |

Такое явление можно объяснить только тем, что на каждый моль распавшейся ПБ образуется больше одного моля новой перекиси (или гидроперекиси). Последнее уже предполагает непосредственное взаимодействие бензоатных (или фенильных) радикалов с молекулами ДМФА.

Ереванский государственный университет, кафедра физической химии

Поступило 28 IV 1967

ኮՆԵՐՏ ՄԻՋԱՎԱՅՐՈՒՄ ԴԻՄԵԹԻԼՖՈՐՄԱՄԻԴՈՒՄ ՏՐԻԼԹԱՆՈԼԱՄԻՆԻ ՀԵՏ ԲԵՆԶՈՒԼԻ ՊԵՐՕՔՍԻԴԻ ՓՈԽԱԶԴՄԱՆ ԺԱՄԱՆԱԿ ԵՐԿՈՒ ՌԵԱԿՑԻԱՆԵՐԻ ԶՈՒԳԱՀԵՌ ԸՆԹԱՆԱԼՈՒ ՄԱՍԻՆ

L. U. PUSIBOBUL, P. U. UNANUNUSUL L 2. 2. QUIPHASUL

Udhnhnid

Ցույց է տրված, որ դիմեթիլֆորմամիդում (ԴՄՖԱ) օդի թթվածնի բացակայությամբ բենզոիլի պերօջսիդ (ՔՊ) + տրիէթանոլամին (ՏԷԱ) ռեակցիայի կայությամբ բենզոիլի պերօջսիդ (ՔՊ) + տրիէթանոլամին (ՏԷԱ) ռեակցիայի Հավասարման առաջին անդամն օդում ընթացող ՔՊ—ՏԷԱ ռեակցիայի արագության առաջին անդամն օդում ընթացող ՔՊ—ՏԷԱ ռեակցիայի արագության առադիկալային բնույթ ունի և ընթանում է միևնույն արագությամբ թե՛ թթվածնի ներկալությամբ, և թե՛ նրա բացակայությամբ։ Երկրորդ անդամով բնութարնի ներկալությամբ և թե՛ նրա բացակայությամբ։ Երկրորդ անդամով բնութարությունը և նրա և բանանան արագությունը և նրա կլանման արագությունը և նրա կլանված ջանակությունը։ Ցույց է տրված, որ լուծիչը՝ դիմերիլֆորմամիդը, մասնակցում է ռեակցիայի ջիմիական տարրական ակտին։

ЛИТЕРАТУРА

- 1. Б. М. Согомонян, Н. М. Бейлерян, О. А. Чалтыкян, ДАН АрмССР, 34, 201 (1962).
- 2. Б. М. Согомонян, Н. М. Бейлерян, О. А. Чалтыкян, Арм. хим. ж., 19, 391 (1966).
- 3. О. А. Чалтыкян, Н. М. Бейлерян, А. Л. Самвелян, ДАН АрмССР, 39, № 1, 35 (1964).

XXI, № 7, 1968

УДК 541.127

КИНЕТИКА ПОГЛОЩЕНИЯ КИСЛОРОДА СИСТЕМОЙ ПЕРСУЛЬФАТ+БЕНЗИЛАМИН В ВОДНЫХ РАСТВОРАХ

н. м. бейлерян, м. г. геворкян и о. а. чалтыкян

Изучена кинетика поглощения кислорода системой персульфат + бензиламин в водных растворах. Установлено, что в отличие от систем персульфат + третичные аминоспирты, при наличии в реакционной среде избытка бензиламина или персульфата нет обратного выделения кислорода. Скорость поглощения кислорода описывается уравнением:

$$-\frac{d(O_2)}{dt} = \frac{k'}{k'' + (O_2)}(A)(P).$$

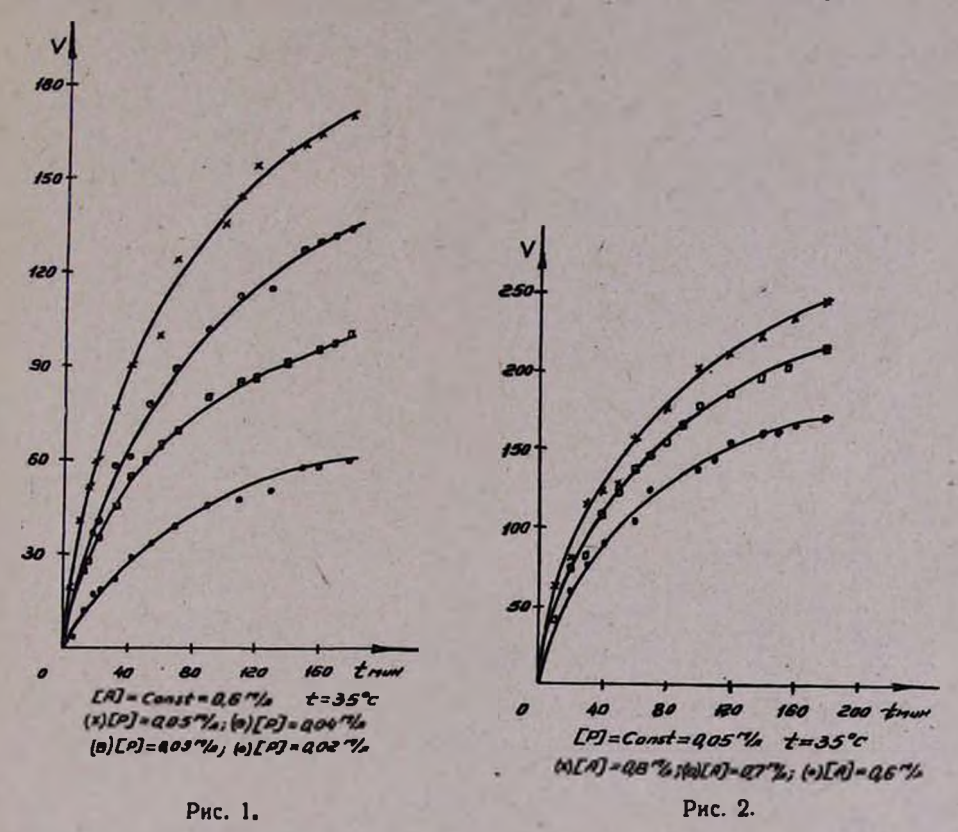
Эффективная энергия активации 16,13 ккал/моль.

В первой работе [1] этой серии было показано, что кислород воздуха сильно искажает кинетику реакции персульфат (Р) + бензиламин (А), причем по ходу реакции образуется йодометрически титруемая перекись в количестве, почти эквивалентном распавшемуся персульфату. По этой причине дальнейшие исследования кинетики взаимодействия персульфата с бензиламином велись в отсутствии кислорода. Было показано, что кинетика реакции бензиламина с персульфатом в водных растворах существенно отличается от кинетики реакции того же амина с перекисью бензоила в бензоле [2]. Самый факт влияния кислорода на реакцию бензиламина с персульфатом в водных растворах указывает на промежуточное образование активных частиц, поглощающих кислород. Для установления природы этих частиц и роли их в развертывании реакции бензиламин + персульфат нужно было изучить кинетику поглощения кислорода реагирующей системой. В настоящей статье изложены результаты этого исследования.

Экспериментальная часть

Скорость поглощения кислорода определялась с помощью аппарата Варбурга. Влияние концентрации реагентов изучалось при 35°. На рисунке 1 приведены кинетические кривые, позволяющие определить зависимость скорости поглощения кислорода от начальных концентраций персульфата при избытке бензиламина и (A) $_0$ = const. Рисунок 2 показывает, что с увеличением начальной концентрации бензиламина скорость поглощения кислорода также увеличивается при $(P)_0$ = const.

Сравнение зависимости начальных скоростей от начальных концентраций бензиламина и персульфата, а также применение метода Вант-Гоффа приводят к заключению, что скорость поглощения кислорода — первого порядка по персульфату и по бензиламину.



Для установления влияния концентрации кислорода на скорость его поглощения системой персульфат + бензиламин изменялось парциальное давление кислорода над раствором от ~136 мм (воздух) до 680 мм рт. ст. (чистый кислород). Поскольку концентрация растворенного кислорода прямо пропорциональна его парциальному давлению над раствором, в условиях наших опытов она менялясь почти пятикратно.

Из рисунка 3 следует, что с увеличением концентрации кислорода в растворе (в 5 раз) скорость его поглощения уменьшается. Зависимость скорости поглощения кислорода от его концентрации выражается соотношением: $W \sim 1/(O_8)^n$, где 0 < n < 1.

Изучено также влияние температуры на скорость поглощения кислорода системой персульфат — бензиламин. Кинетические кривые приведены на рисунке 4, из которого следует, что в интервале 20—35°C скорость поглощения кислорода увеличивается с повышением темпе-

ратуры. Эффективная энергия активации процесса поглощения кислорода — 16,13 ккал/моль.

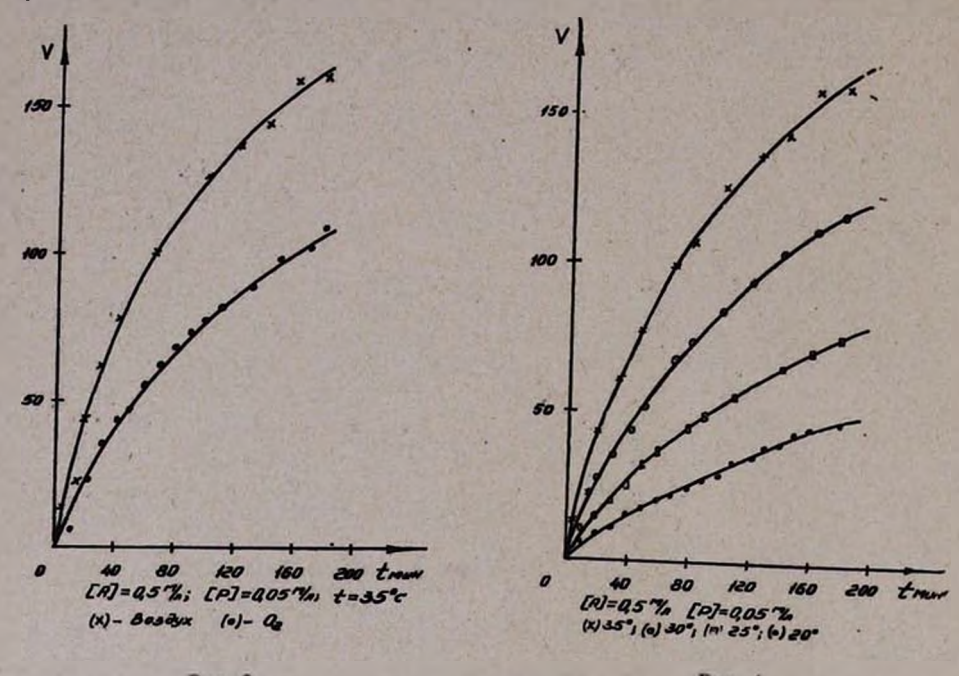


Рис. 3.

FHC. 4.

Обсуждение результатов

Из полученных кинетических данных следует, что скорость поглощения кислорода можно выразить уравнениями:

$$W = \frac{k_1}{(O_2)^n} (A) (P) \tag{1}$$

или

$$W = \frac{k_s}{a + O_s} \text{ (A) (P)}, \tag{2}$$

где (O_2) относится к кислороду, растворенному в реакционной среде. Более вероятным является уравнение (2) потому, что, во-первых, трудно представить дробный отрицательный порядок $(n=\sim 0,3)$, во-вторых, трудно предложить механизм, приводящий к дробному порядку только по кислороду и первому как по амину, так и по персульфату. Отрицательный порядок по кислороду говорит о том, что кислород вообще подавляет образование свободных бензиламинных радикалов, вероятных первоначальных частиц, способных поглощать кислород.

Из некоторых обсужденных кинетических схем только следующая приводит к результату, соответствующему экспериментально установленной закономерности:

$$A + P \xrightarrow{k_1} AP$$
 $AP \xrightarrow{k_2} A \cdot + P + PH$
 $A.P + O_2 \xrightarrow{k_3} A + P + O_2$
 $A. + O_3 \xrightarrow{k_4} AO_2$
 $A. + O_4 \xrightarrow{k_5} PH + A.$
 $AO_2 \xrightarrow{k_6}$ гибель.

(В акте (3) предполагается, что кислород, внедряясь в комплекс АР, способствует распаду последнего в сторону образования исходных веществ).

Из этой схемы следует, что

$$-\frac{d(O_2)}{dt} = k_4(A.)(O_2). \tag{4}$$

Для определения концентрации свободных аминных радикалов можно воспользоваться методом стационарных концентраций:

$$\frac{d(A.)}{dt} = k_{3}(AP) - k_{4}(A.)(O_{2}) + k_{5}(P.)(A) = 0,$$

$$\frac{d(P.)}{dt} = k_{3}(AP) - k_{5}(P.)(A) = 0.$$
(5)

Из уравнений (5) следует, что

$$k_4(A.)(O_2) = 2k_2(AP).$$
 (6)

Подставляя (6) в (4), получим:

$$-\frac{d(O_2)}{dt} = k_4(A.)(O_2) = 2k_2(AP). \tag{7}$$

Стационарная концентрация промежуточного комплекса аминперекись определяется из схемы (3):

$$\frac{d(AP)}{dt} = k_1(A)(P) - [k_{-1} + k_2 + k_3(O_2)](AP) = 0,$$
 (8)

откуда:

$$(AP) = \frac{k_1}{(k_{-1} + k_2) + k_2(O_2)} (A) (P)$$
 (9):

Подставляя (9) в (7), получим:

$$-\frac{d(O_2)}{dt} = \frac{2k_1k_3}{(k_{-1} + k_2) + k_3(O_2)} \text{ (A) (P)} = \frac{k'}{k'' + (O_2)} \text{ (A) (P)}, (10)$$

где

Кроме того, что схема (3) приводит к приемлемому результату, надо учесть еще следующие обстоятельства. Количество образовав-шегося радикала AO₂ почти эквивалентно количеству распавшегося персульфата. Из этой схемы не следует также взаимодействие AO₂. — радикала с персульфатом или амином с обратным выделением кислорода, что нами наблюдалось в случае поглощения кислорода системами персульфат + третичные аминоспирты [2].

Ереванский государственный университет, кафедра физической химии

Поступило 28 IV 1967

ՋՐԱՅԻՆ ԼՈՒԾՈՒՅԹՆԵՐՈՒՄ ՊԵՐՍՈՒԼՖԱՏ + ԲԵՆԶԻԼԱՄԻՆ ՍԻՍՏԵՄԻ ԹԹՎԱԾԻՆ ԿԼԱՆԵԼՈՒ ԿԻՆԵՏԻԿԱՆ

Ն. Մ. ԲԵՅԼԵՐՅԱՆ, Մ. Գ. ԳԵՎՈՐԳՅԱՆ և Հ. Հ. ՉԱԼՔԻԿՅԱՆ

Մեր առաջին հաղորդման մեջ ցույց էր տրված, որ ջրային լուծույթներում պերսուլֆատ + թենզիլամին ռեակցիայի ընթացքում թթվածնի ներկայությամբ առաջանում է պերսուլֆատի քայքայված քանակին մոտավորապես համարժեք նոր օքսիդիչ։ Անհրաժեշտ համարվեց ուսումնասիրել հիշյալ սիստեմի թթվաժին կլանելու կինետիկան։ Ռեակցիան օդում և մաքուր թթվածնի մթնոլորտում կատարելիս թթվածնի կլանման արագությունը որոշելով պարզվել է, որ լուժույթի վրա թթվածնի պարցիալ ճնշման մեծացման հետ նվազում է թթվածնի կլանման արագությունը։ Վերջինս արտահայտվում է հետևյալ փորձնական հաւմասարումով

$$-\frac{d(O_2)}{dt} = \frac{k'}{k'' + (O_2)}(A)(P),$$

որտեղ Օ₂-ը ռեակցիոն խառնուրդում լուծված ԹԹվածնի կոնցենտրացիան է։ Գրոցեսի էֆեկտիվ ակտիվացման էներգիան 16,13 կկակ/մոլ է։

ЛИТЕРАТУРА

- 1. Н. М. Бейлерян, М. Г. Геворкян, О. А. Чалтыкян, А. М. Кайфаджян, Арм. хим. ж., 21, 365 (1968).
- 2. Н. М. Бейлеряц, Ф. О. Карапетян, О. А. Чалтыкян, Арм. хим. ж., 19, 128, 828 (1966).

XXI, № 7, 1968

ОРГАНИЧЕСКАЯ ХИМИЯ

УДК 541.941.7+547.333

ИССЛЕДОВАНИЕ ГИДРИРОВАНИЯ АЦЕТИЛЕНОВЫХ СОЕДИНЕНИИ

V. ГИДРИРОВАНИЕ АМИНОВ АЦЕТИЛЕНОВОГО РЯДА НА ПАЛЛАДИЕВОМ КАТАЛИЗАТОРЕ

Г. А. ЧУХАДЖЯН, Г. В. МОВСИСЯН н Л. С. АВАКЯН

В каталитической "утке" с замером потенциала катализатора при 685 мм рт. ст. и 20° изучена кинетика гидрирования на Pd/CaCO₃ (50/₀ Pd) 1-диметиламинобутина-2, 1-диметиламинобутин-2-ола-4 и 3-метил-3-диметиламинобутина-1. В чистом этаноле или его водных растворах указанные амины превращаются в соответствующие предельные соединения, в растворах КОН или ацетата цинка—в этиленовые производные. Во всех случаях тройная связь гидрируется со значительно большей скоростью, чем двойная.

Известно, что палладиевые катализаторы проявляют большую селективность при гидрировании различных классов ацетиленовых соединений [1]. Интересно было это свойство палладиевых катализаторов использовать при гидрировании некоторых аминопроизводных ацетиленового ряда.

В настоящей работе приводятся результаты исследований по гидрированию некоторых аминов ацетиленового ряда на катализаторе $Pd/CaCO_3$ (5% Pd).

Имеется всего лишь несколько публикаций по каталитическому гидрированию аминопроизводных ацетиленового ряда на различных катализаторах. При гидрировании аминоэфиров, у которых эфирная группа находится в α -положении по отношению к тройной связи, на катализаторе Ni-Penes происходит полный гидрогенолиз по эфирной связи [2]. Гидрогенолиз $-C \equiv N$ связи происходит при гидрировании на платиновом катализаторе [3]. При гидрировании аминов ацетиленового ряда на $Pd/CaCO_3$ или Pd/C удается получить соответствующие этиленовые амины и избежать гидрогенолиза [4].

Экспериментальная часть и обсуждение результатов

В статических условиях (в "утке") при 20° изучалось гидрирование следующих аминосоединений ацетиленового ряда: 1-диметиламинобутин-2 (I), 1-диметиламинобутин-2-ол-4 (II), 3-метил-3-диметиламинобутин-1 (III), по гидрированию которых в литературе нет данных.

$(CH_3)_2NCH_2C \equiv CCH_3$ I [5], $(CH_3)_2NCH_2C \equiv CCH_3OH$ II [6], $(CH_3)_2NCH(CH_3)C \equiv CH$ III [7].

Эти соединения подобраны таким образом, чтобы найти связь между строением аминоацетиленов и их поведением при гидрировании (положение тройной связи и функциональных групп по отношению к ацетиленовой и др.).

Конструкция "утки" позволяла наряду с изучением кинетики процесса по скорости поглощения водорода проводить также потенциометрическое исследование состояния катализатора [8]. Методика проведения экспериментов подробно описана ранее [1].

Опыты проводились в воде, 96%, ном и 50%, ном этаноле, в водных и спиртовых растворах едкого кали. Условия гидрирования были подобраны так, чтобы реакция протекала в кинетической области; независимость скорости реакции от интенсивности перемешивания и прямо пропорциональная зависимость ее от количества катализатора являются доказательством протекания реакции в кинетической области.

Исследования показали, что скорость гидрирования вышеперечисленных аминов при 800 кач/мин и выше становится постоянной, не зависящей от интенсивности перемешивания. При этом, с увеличением количества катализатора скорость гидрирования растет прямо пропорционально (рис. 1), а с уменьшением его уменьшается количество поглощенного водорода (рис. 2). Так, если при гидрировании 1-диметиламинобутина-2 на 0,20 г катализатора поглощается 1,95 моля водорода, то на 0,10 и 0,05 г катализатора поглощается 1,12 и 0,48 моля, соответственно. Последнее, по-видимому, объясняется отравлением катализатора гидрируемым и промежуточным соединениями, а также продуктом реакции. Это предположение подтверждается данными рисунков 3 и 4; при меньших количествах аминов их можно гидрировать до предельного соединения даже на 0,10 г катализатора.

Таким образом, из полученных результатов видно, что при правильном подборе количества катализатора Pd/CaCO₃ вышеперечисленные амины можно гидрировать до соответствующих предельных аминов, без каких-либо побочных реакций.

Вторая серия опытов проведена с целью подбора условий избирательного гидрирования указанных аминов до соответствующих аминов этиленового ряда. К решению этого вопроса мы подошли двумя путями: а) изменением рН среды (известно, что с ростом рН среды увеличивается энергия связи Pd—Н [9], и, соответственно, селективность действия катализатора); б) модификацией палладиевого катализатора ацетатом цинка (ранее, на примере гидрирования диметилэтинилкарбинола было показано, что специфическая адсорбция ионов цинка на Pd/CaCO₃ приводит к резкому увеличению селективности катализатора [10]).

Результаты гидрирования 1-диметиламинобутина-2 (I) приведены на рисунках 1, 2, 3. На кинетических кривых после поглощения одного моля водорода во всех случаях наблюдается перелом. При этом скорость гидрирования уменьшается в ряду: 96%-ный этанол>20%-ный

этанол > 0,11 н KOH в 20°/0-ном этаноле > 0,0044 н Zn(CH₃COO)₂ в 20% - ном этаноле. Это, по-видимому, объясняется тем, что по мере разбавления спирта водой или добавлением КОН увеличивается адсорбция амина на поверхности катализатора, что нарушает соотношение между реагирующими компонентами. Из рисунка 3 видно, что с увеличением концентрации КОН, и, следовательно, рН среды, происходит уменьшение количества поглощенного водорода (кривые 2-6). В 0,11 и КОН в 20% - ном этаноле после поглощения одного моля водорода реакция самопроиз-(кривые вольно останавливается 4 и 5). Незначительное повышение концентрации КОН от вышеуказанной (до 0,14 н) приводит к подавлению гидрирования даже тройной связи; поглощается всего лишь 0,63 моля водорода (кривая 6).

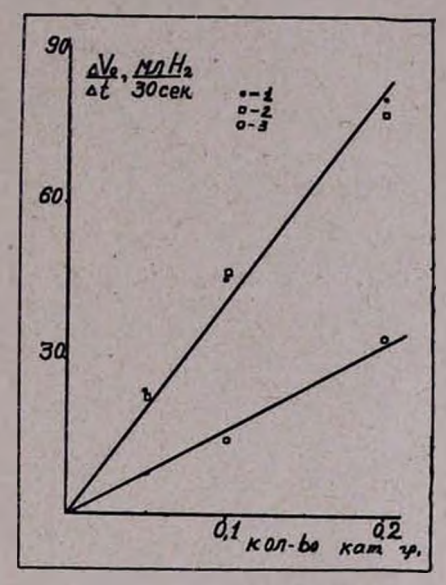


Рис. 1. Влияние количества катализатора на скорость гидрирования аминов при 20° . Условия: амин — 0.40 г, растворитель $96^\circ/_0$ -ный этанол—25 мл. I — 1-диметиламинобутин-2; 2 — 3-метил-3-диметиламинобутин-1; 3 — 1-диметиламинобутин-2-ол-4.

Полученные данные свидетельствуют о том, что энергия связи Pd—H для избирательного гидрирования тройной связи до двойной принимает оптимальное значение при pH-среды, создаваемым 0,11 и KOH.

Замер потенциала катализатора показал, что в 50% - ном этаноле тройная связь в (I) гидрируется при минимальном смещении потенциала в катодную сторону на 230 мв. Затем потенциал по ходу процесса медленно повышается и после присоединения двух молей водорода становится значительно выше обратимого. Последнее, по-видимому, объясняется увеличением рН среды, создаваемым аминосоединением.

В литературе имеется весьма мало данных о зависимости скорости реакции гидрирования аминов ацетиленового ряда в жидкой фазе от их химического строения, а по условиям селективного гидрирования данные вообще отсутствуют.

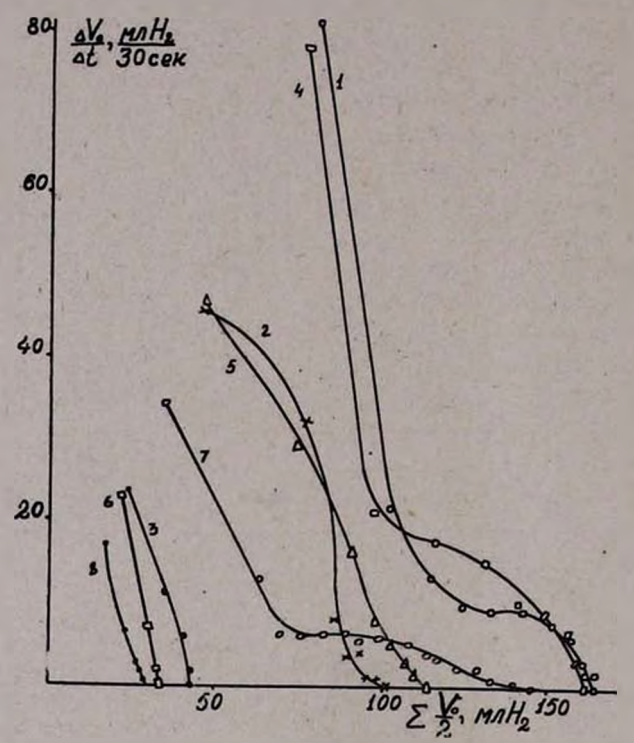


Рис. 2. Влияние количества катализатора на скорость реакции и количество поглощенного водорода при 20° . Условия: амин — 0.40 г, растворитель — $96^\circ/_0$ -ный этанол—25 мл. 1, 2, 3 — гидрирование 1-диметиламинобутина-2. Pd/CaCO3: I — 0.20 г, 2 — 0.10 г, 3 — 0.05 г. 4, 5, 6 — гидрирование 3-метил-3-диметиламинобутина-1. Pd/CaCO3: 4 — 0.20 г, 5 — 0.10 г, 6 — 0.05 г, 7, 8 — гидрирование 1-диметиламинобутин-2-ола-4. Pd/CaCO3: 7 — 0.20 г, 8 — 0.10 г.

Изучение реакции гидрирования 1-диметиламинобутин-2-ола-4 в различных средах (рис. 1, 2, 4) показало, что замена атома водорода в молекуле 1-диметиламинобутина-2 группой ОН практически не влияет на скорость реакции гидрирования. Если I в $96^0/_0$ -ном этиловом спирте гидрируется с максимальной скоростью $102~\text{мл}~\text{H}_2/\text{мин}$ (тройная связь), то II гидрируется со скоростью $50,5~\text{мл}~\text{H}_2/\text{мин}$, т. е. скорость реакции падает в 2 раза. Приблизительно такая же разница наблюдается в скоростях гидрирования образовавшихся этиленовых соединений.

Замена одного атома водорода ОН-группой в одинаковых условиях влияет также на общее количество поглощенного водорода.

При гидрировании 0,40 г І на 0,10 г катализатора поглощается 1,12 моля водорода, в то время как при гидрировании такого же количества II поглощается всего лишь 0,34 моля.

Введение в молекулу ОН-группы сильно сказывается и на условиях селективного гидрирования. Из рисунка 4 (кривые 5 и 6) видно, что при гидрировании II в 0,84 к спиртовом растворе после поглоще-

ния одного моля водорода реаксамопроизвольно останавливается, а в 0,0022 и растворе ацетата цинка поглощается всего 11 мл водорода. Из этих данных ясно видно, что при гидрировании ацетиленового аминоспирта требуются более жесткие условия.

Потенциометрический контроль состояния катализатора показал, что наличие в молекуле ацетиленового амина гидроксильной группы не влияет на величину смещения потенциала; II гидрируется при максимальном смещении потенциала на 240 мв в катодную сторону. По мере гидрирования двойной связи потенциал становится все более катодным. Это свидетельствует о том, что наличие в молекуле ацетиленового соединения ОН-группы, наряду с аминной, не влияет на его адсорбцию на поверхности катализатора, и в обоих случаях лимитирующей стадией процесса является активация водорода.

Очень интересные результаты

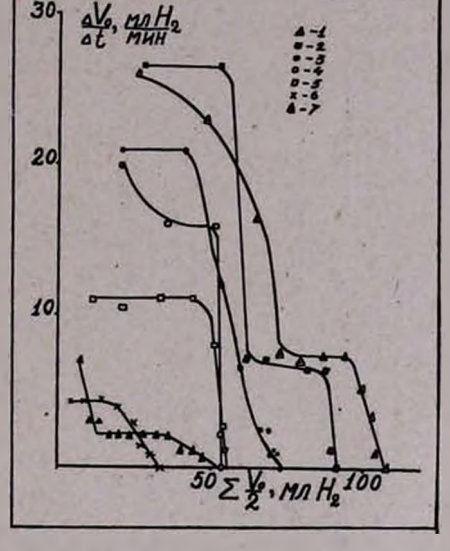


Рис. 3. Гидрирование 1-диметиламинобутина-2 на Pd/CaCO₃ в различных средах при 20°. Условия: амин-0,269 г, растворитель — 25 мл, Pd/CaCO₃: 1, 2, 3, 4-0.10 z, 5, 6-0.05 z, 7-0.40 z. гидрирование в 20°/о-ном этаноле; 2-0,028 и KOH в 20°/о-ном этаноле; 3 — 0,085 и KOH в 20°/0-ном этаноле; 4. 5 — 0,11 и KOH в 20°/о-ном этаноле; 6-0,14 и KOH в 200/0-ном этаноле; 7-0,0044 и Zп (СН3СОО), в 200/0-ном этаноле.

были получены при гидрировании 3-метил-3-диметиламинобутина-1. Результаты опытов приведены на рисунках 1, 2 и 5. Из этих данных видно, что тройная связь амина гидрируется со значительно большей скоростью, чем двойная. Если тройная связь в 50%-ном этаноле гидрируется со скоростью 28 мл H₂/мин, то двойная — 10,5 мл H₂/мин (рис. 5, кривая 1).

Сопоставляя полученные данные с данными по гидрированию диметилэтинилкарбинола, мы пришли к выводу, что замена ОН-группы на (СН₃)₂N-группу практически не влияет на скорость гидрирования, но сильно влияет на характер кинетической кривой. При гидрировании диметилэтинилкарбинола после поглощения моля водорода скорость реакции увеличивается в 1,3 при гидрировании III, наоборот, двойная по сравнению связь,

> 25.50 HELL

с тройной, гидрируется почти в 3,0 раза медленнее. При этом в обоих случаях реакция имеет нулевой порядок по непредельному соединению. Замена группы ОН на $(CH_3)_2N$ -группу в диметилэтинил-карбиноле сильно сказывается также на условиях селективного гидрирования. Из рисунка 5 (кривая 4) видно, что при гидрировании III в 0,0033 и растворе ацетата цинка (в $50^0/_0$ -ном этаноле) после поглощения одного моля водорода реакция практически останавливается.

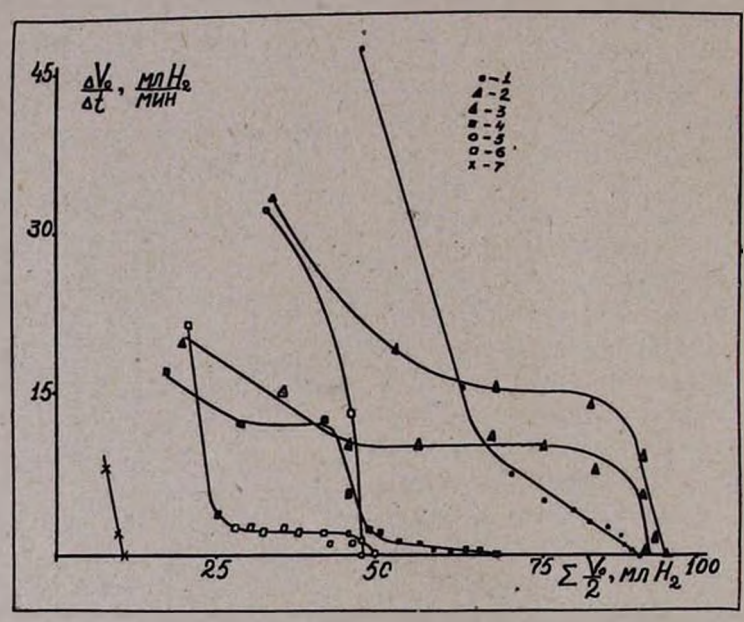


Рис. 4. Гидрирование 1-диметиламинобутин-2-ола-4 на Pd/CaCO₃ в различных средах при 20°. Условия: амин—0,246 г, растворитель — 25 мл, Pd/CaCO₃ — 0,20 (2—0,30 г). $I = 96^{\circ}/_{\circ}$ -ный этанол; 2, 3—20°/ $_{\circ}$ -ный этанол; 4—0,28 к КОН в 20°/ $_{\circ}$ -ном этаноле; 5—0,84 к КОН в 80°/ $_{\circ}$ -ном этаноле; 6—0,84 к КОН в 20°/ $_{\circ}$ -ном этаноле; 7—0,0022 к $Z_{\rm II}({\rm CH_3COO})_2$ в 20°/ $_{\circ}$ -ном этаноле.

При этом скорость реакции составляет 8.0 мл $\text{H}_2/\text{мин}$, против 27.5 в $50^{\circ}/_{\circ}$ -ном этаноле. Как показали Сокольский и Закумбаева [10], диметилэтинилкарбинол гидрируется селективно в 0.01-1 h растворе сульфата цинка; следовательно, замена группы ОН на $-\text{N}(\text{CH}_3)_2$ -группу приводит к селективному гидрированию в более разбавленных растворах, причем увеличение концентраций $2nSO_4$ в интервале 0.01-1 h увеличивает скорость гидрирования тройной связи диметилэтинилкарбинола, а в случае III самое незначительное увеличение ацетата цинка сверх оптимального приводит к резкому снижению скорости реакции. При концентрации ацетата цинка 0.0035 h, взамен 0.0033 h, реакция почти полностью подавляется (рис. 5, кривая 5). Расход водорода составляет всего 0.5 моля.

Сильное падение активности катализатора в случае замены ОН-группы на $(CH_3)_2$ N-группу объясняется повышением рН среды и,

следовательно, увеличением энергии связи Pd—H. Об этом свидетельствует замер потенциала катализатора: в первой половине процесса потенциал смещается в анодную сторону на 70—80 мв (против 220 мв

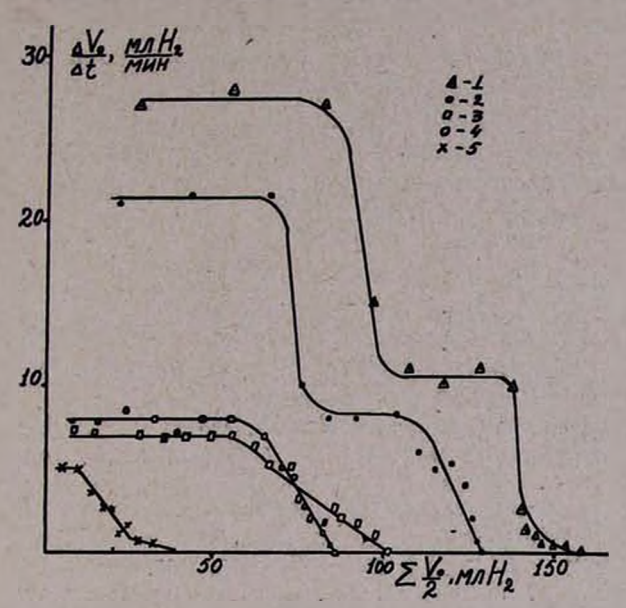


Рис. 5. Гидрирование 3-метил-3-диметиламинобутина-1 на РРd/CaCO₃ в различных средах при 20°. Условия: амин — 0,40 г, растворитель — 25 мл, Рd/CaCO₃—0,20 г. 1 — 50°/₀-ный этанол; 2 — 0,085 к КОН в 20°/₀-ном этаноле; 3 — 0,0027 к Zп(CH₃COO)₂ в 50°/₀-ном этаноле; 4 — 0,0033 к Zп(CH₃COO)₂ в 50°/₀-ном этаноле; 5 — 0,0035 к Zп(CH₃COO)₂ в 50°/₀-ном этаволе.

в случае диметилетинилкарбинола), по мере гидрирования двойной связи потенциал отклоняется в катодную сторону и в конце процесса становится значительно катоднее от обратимого водородного потенциала.

 Всесоюзный научно-исследовательский и проектный институт полимерных продуктов

Поступило 30 VI 1967

ԱՑԵՏԻԼԵՆԱՑԻՆ ՄԻԱՑՈՒԹՅՈՒՆՆԵՐԻ ՀԻԴՐՄԱՆ ՈՒՍՈՒՄՆԱՍԻՐՈՒԹՅՈՒՆ։

V. ԱՑԵՏԻԼԵՆԱՅԻՆ ՇԱՐՔԻ ԱՄԻՆՆԵՐԻ ՀԻԴՐՈՒՄ ՊԱԼԱԴԻՈՒՄԱՑԻՆ ԿԱՏԱԼԻԶԱՏՈՐՆԵՐԻ ՕԳՆՈՒԹՅԱՄԲ

9. U. AUPPARSUL, 2. 4. LUAUPART F I. D. UAUPART

Udhnhnid

Ստատիկ պայմաններում ուսումնասիրվել է 1 -դիմեթիլամինաբուտին-2-ի, 1-դիմեթիլամինաբուտին-2-օլ-4-ի և 3-մեթիլ-3-դիմեթիլամինաբուտին-1-ի հիդրումը Pd/CaCO₃ կատալիզատորի վրա, 20°-ում և մ*թ*նոլորտային ճնշման պայմաններում։ Իրրև լուծիչ օգտագործվել են 20—96%-անոց էթիլային ալ-

կոհոլ, կալիումի հիդրօքսիդի և ցինկի ացետատի լուծույթներ։

8ույց է տրված, որ էթիլային ալկոհոլում վերը նշված ամինները հիդրվում են մինչև համապատասխան հագեցած ամիններ, իսկ կալիումի հիդրօքսիդի և ցինկի ացետատի լուծույթներում՝ մինչև էթիլենային միացություն։ Վերջին դեպքում ռեակցիայի արագությունը խիստ փոքր է։

Հիդրման պրոցեսի կինետիկայի ուսումնասիրմանը զուգընթաց պոտենցիոմետրիկ եղանակով կատարվել է նաև հիդրման ընթացքում կատալիզա...

տորի վիճակի ուսումնասիրություն։

ЛИТЕРАТУРА

- 1. Ю. С. Залькинд, ЖРФХО, 45, 1875 (1913); 47, 2045 (1915); 50, 23 (1918). И. Н. Назаров, В. Н. Ракчеева, В. Я. Райгородская, И. Н. Азербаев, Изв. АН СССР, ОХН, 1946, 305. Г. В. Мовсисян, Н. Ф. Носкова, Г. А. Чухаджян, Н. Г. Карапетян, Арм. хим. ж., 20, 613 (1967). Д. В. Сокольский, Гидрирование в растворах, Алма-Ата, Изд-во АН КазССР, 1962.
- 2. J. Marszak, A. Marszak-Fleury, C. r., 226, 1289 (1948).
- 3. J. Marszak, Bull. Soc. Chim. France, 20, 386 (1953).
- 4. H. P. W. Hugill, J. D. Rose, J. Chem. Soc., 1950, 335.
- 5. A. T. Бабаян, А. Г. Терзян, ДАН АрмССР, 9, 105 (1948).
- 6. L. Jennine, A. Marszak-Fleury, C. r., 250, 1086 (1960).
- 7. G. F. Hennion, K. W. Nelson, J. Am. Chem. Soc., 79, 2142 (1957).
- 8. Д. В. Сокольский, В. А. Друзь, ДАН СССР, 73, 949 (1950).
- 9. С. М. Решетников, А. М. Сокольская, Д. В. Сокольский, ДАН СССР, 168, 629 (1966); С. М. Решетников, А. М. Сокольская, Кин. и кат., 7, 279 (1966); В. Foresti, Gazz. chim. Ital., 66, 455 (1936).
- 10. Г. Д. Закумбаева, Д. В. Сокольский, Труды Ин-та хим. наук АН КазССР, 17, 22 (1967).

<u> 2 Ц 3 Ч Ц 4 Ц 5 Р Г Р Ц 4 Ц 5 Ц Г Г Ц 4 Р Р</u> АРМЯНСКИЯ ХИМИЧЕСКИЯ ЖУРНАЛ

XXI, № 7, 1968

УДК 543.544

химия винилацетилена

LXXXIII. ТОНКОСЛОЙНАЯ ХРОМАТОГРАФИЯ АЦЕТИЛЕНОВЫХ КИСЛОТ, АЦЕТАТОВ И ЭФИРОВ ВИНИЛЭТИНИЛКАРБИНОЛОВ

С. А. МЕЛКОНЯН, Л. Г. ГРИГОРЯН, В. Н. ЖАМАГОРЦЯН в С. А. ВАРТАНЯН

Методом тонкослойной хроматографии с незакрепленным слоем окиси алюминия разделены ацетиленовые кислоты, ацетаты и эфиры винилэтинилкарбинолов различного строения.

Показано, что при окислении эфиров винилацетиленовых карбинолов перекисью водорода в уксусной кислоте, наряду с ожидаемой ацетиленовой кислотой образуются также соответствующие ацетаты.

Приведены значения R_F 18 ацетиленовых и винилацетиленовых соединений.

Обычно разделение непредельных соединений методом тонкослойной хроматографии осуществляется на слоях силикагель—гипсили кизельгур—гипс, импрегнированных различными жидкими фазами: силиконовым маслом, полиэтиленгликолем с нитратом серебра, керосином и т. д. [1]. Иногда применяется гидрирование, бромирование или окисление этих соединений непосредственно на хроматографической пластинке [2]. Эти методы довольно трудоемки, требуют много времени, и, что очень нежелательно, исходные непредельные соединения не могут быть регенерированы.

В последнее время для разделения и идентификации ненасыщенных соединений был применен метод тонкослойной хроматографии с незакрепленным слоем окиси алюминия [3]. В предыдущих работах [4, 5] нами были показаны аналитические и препаративные возможности данного метода при исследовании различных соединений непредельного ряда.

В продолжение этих работ в настоящей статье рассматривается хроматографическое поведение некоторых ацетиленовых кислот, ацетатов и эфиров винилацетиленовых карбинолов на тонком незакрепленном слое окиси алюминия. Значения R_F этих соединений приведены в таблицах 1, 2 и 3. Величины R_F ацетиленовых кислот (табл. 1) несколько отличаются друг от друга в зависимости от строения кислот, что позволяет осуществить качественное и количественное разделение данных кислот.

Как видно из таблицы 2, в отличие от ацетиленовых кислот ацетаты, содержащие тройную связь, имеют почти одинаковые значения R_F .

CH₃

CH₃

CH3

CH₃

C,H,

C.H.

| | | Ta | блица 1 |
|---|----|---------------------|---------|
| | | нленовых ≡ ССООН | кислот |
| R | R' | R" | RF |

Н

H

CH₃

CH₃

CH₃

CH.

H

H-C3H7

CH₃

C,H,

CH₃

CH₃

| Табли | ца |
|--|----|
| Значение R_F ацетатов | |
| $ROCR'R"C \equiv CC(CH_3)(OCOCH_2)CH_2C$ | H |

| R | R' | R" | Rp |
|-------------------------------|-----------------|-------------------------------|------|
| CH ₃ | Н | н | 0,22 |
| CH ₃ | Н | H-C3H7 | 0,26 |
| CH ₃ | CH, | CH ₃ | 0,24 |
| CH ₃ | CH ₃ | C ₂ H ₅ | 0,27 |
| C ₂ H ₅ | CH ₃ | CH3 | 0,26 |
| C ₄ H ₉ | CH ₃ | CH, | 0,27 |

То же самое наблюдается при рассмотрении значений величин R_F эфиров соответствующих винилацетиленовых карбинолов (табл. 3).

0,40

0.51

0.43

0,49

0.47

0,54

Tаблица 3 Значение R_F эфиров винилацетиленовых карбинолов $CH_2 = CHC \equiv CCRR'OR''$

| R | R' | R" | Rp |
|-----------------|-------------------------------|-------------------------------|------|
| н | н | СН | 0,62 |
| Н | H-C3H7 | CH ₃ | 0,67 |
| CH ₃ | CH ₃ | CH ₃ | 0,68 |
| CH ₃ | C ₂ H ₅ | CH ₃ | 0,64 |
| CH ₃ | CH ₃ | C ₂ H ₅ | 0,64 |
| CH ₃ | CH ₃ | C ₄ H ₉ | 0,68 |

Величины R_F этих трех систем значительно отличаются между собой (табл. 1, 2 и 3); это обстоятельство дает возможность успешно разделить данные соединения при их совместном присутствии в реакционной смеси.

Ранее нами было показано [6], что при окислении эфиров винилацетиленовых карбинолов перекисью водорода в уксусной кислоте получаются ацетиленовые кислоты. Предполагалось, что наряду с кислотами, в условиях реакции, образуются также соответствующие ацетаты по следующей схеме:

Хроматографическое исследование показало, что реакционная смесь состоит из непрореагировавшего исходного эфира винилацетиленового карбинола 1, ацетиленовой кислоты II и ацетата III.

Экспериментальная часть

Работа проводилась по ранее описанному методу [5], на стеклянной пластинке размером 13.5×18.0 см, в тонком, незакрепленном слое окиси алюминия для хроматографии II степени активности. Применялась система растворителей эфир—бензол—уксусная кислота (1:1:0,5). Проявление хроматограмм проводилось парами йода.

Препаративное разделение компонентов реакционной смеси осуществлялось нанесением разделяемой смеси вдоль стартовой линии в виде сплошной полосы. Образовавшиеся после проявления хроматограмм зоны отдельных компонентов снимались вместе с окисью алюминия и тщательно промывались диэтиловым эфиром на воронке из пористого стекла (№ 3) при отсасывании водоструйным насосом.

После удаления растворителя строение чистых компонентов устанавливалось по элементарному анализу и ИК спектрам.

Институт органической химии АН АрмССР

Поступило 1 XII 1966

ՎԻՆԻԼԱՑԵՏԻԼԵՆԻ ՔԻՄԻԱ։

LXXXIII. ԱՑԵՏԻԼԵՆԱՅԻՆ ԹԹՈՒՆԵՐԻ, ԱՑԵՏԱՏՆԵՐԻ ԵՎ ՎԻՆԻԼԷԹԻՆԻԼԿԱՐՔԻՆՈԼՆԵՐԻ ԵԹԵՐՆԵՐԻ ՆՐԲԱՇԵՐՏ ՔՐՈՄԱՏՈԳՐԱՖԻԱ

Ս. Ա. ՄԵԼՔՈՆՅԱՆ, Լ. Գ. ԳՐԻԳՈՐՑԱՆ, Վ. Ն. ԺԱՄԱԳՈՐԾՅԱՆ և Ս. Վ. ՎԱՐԴԱՆՑԱՆ

Ldhahaid

Ալյումինիումի օգսիդի չամրացված շերտով նրբաշերտ քրոմատոգրաֆիայի մեթոդն օգտագործված է տարբեր կառուցվածքի ացետիլենային մի շարք՝ թթուների, ացետատների և վինիլացետիլենային կարբինոլների եթերների գատման Համար։

Ուսումնասիրված է քացախաթթվի միջավայրում ջրածնի պերօքսիդով վինիլացետիլենային կարբինոլների եթերների օքսիդացման ռեակցիան։ Ցույց է տրված, որ սպասվելիք ացետիլենային թթուների հետ միաժամանակ առաջանում են նաև համապատասխան ացետատներ։

Բերված են 18 ացետիլենային և վինիլացետիլենային միացությունների արոմատոգրաֆիական Տաստատունները։

ЛИТЕРАТУРА

- M. Lindsey, Lab. Pract., 13, 284 (1964); D. C. Malins, H. K. Mangold, J. Am. Oll Chem. Scc., 37, 576 (1960); H. P. Kaufmann, V. Su Ko, Fette u. Seifen, 63, 828 (1961).
- 2. H. P. Kaufmann, Z. Makus, T. H. Khoe, Pette u. Selfen, 64, 1 (1962).
- 3. E: A. Mistrukow, Coll., 26. 2071 (1961); A. A. Ахрем, A. И. Кузнецова, Ю. С. Титов, И. С. Левина, Изв. АН СССР, ОХН, 1962, 657: J. Kučera, Coll., 28, 1341 (1963).

- 4. С. А. Вартанян, А. О. Тосунян, С. А. Мелконян, Изв. АН АрмССР, ХН, 17, 184 (1964).
- 5. С. А. Вартанян, А. О. Тосунян, Л. Г. Месропян, С. А. Мелконян, Изв. АН АрмССР, XH, 18, 32 (1965).
- 6. С. А. Мелконян, Л. Г. Григорян, В. Н. Жамагорцян, С. А. Вартанян, Арм. хим. ж., 19, 199 (1966).
- 7. С. А. Вартанян, Л. Г. Григорян, В. Н. Жамагорцян, Изв. АН АрмССР, ХН, 17, 348 (1964).

XXI, № 7, 1968

УДК 54-126+547.314.2

изучение своиств полиацетилена

III. ОКИСЛЕНИЕ, ХЛОРИРОВАНИЕ, ГИДРИРОВАНИЕ И ТЕРМИЧЕСКОЕ РАЗЛОЖЕНИЕ ПОЛИАЦЕТИЛЕНА

Г. А. ЧУХАДЖЯН, Н. Ф. НОСКОВА и И. М. РОСТОМЯН

Приводятся данные по кинетике окисления, хлорирования, гидрирования и термической стабильности полимеров ацетилена, полученных в различных условиях полимеризации. Подбирая условия полимеризации, можно получить полимеры стойкие к окислению и сохраняющие неизмененными электрические свойства в течение долгого времени.

В ходе систематических работ по созданию полупроводниковых полимерных материалов на основе ацетилена и его производных нами было установлено, что ацетилен на катализаторе $\mathrm{Al}(uso-C_4H_9)_3$: TiCl_4 , в зависимости от условий полимеризации, образует полимеры, отличающиеся друг от друга как химическими, так и физическими свойствами.

Так, полимер, полученный в толуоле при -60° , обладает довольно хорошими показателями проводимости и сохраняет последние в течение длительного времени, в то время как поливцетилен, полученный в гептане при $+60^\circ$, очень быстро окисляется, теряя при этом свои самые ценные качества: резко ухудшается электропроводность и утрачиваются парамагнитные свойства. По легкости окисления и хлорирования свойства полимера, полученного в κ -гептане, соответствуют поливцетилену, описанному в ряде работ [1—2]. Поливцетилен же, имеющий высокую стойкость по отношению к окислению и большую стабильность электрических свойств в течение длительного времени хранения, в литературе не описан.

В настоящей работе были изучены химические свойства полиацетиленов, полученных в различных условиях полимеризации, с целью найти в дальнейшем связь между условиями полимеризации и химическими и физическими свойствами полимеров.

Приводятся данные по кинетике окисления, хлорирования, гидрирования и термической стабильности образцов полиацетилена, полученных в различных условиях, а также предлагается метод получения стабильного к окислению полимера с полупроводниковыми свойствами путем дегидрохлорирования хлорированного полиацетилена.

Экспериментальная часть

Получение образцов полиацетилена (ПА) описано в предыдущих сообщениях [3].

Окисление и термостабильность ПА изучали в изотермических условиях, на пружинных весах Мак-Бена. Навеску ПА (0,0126 г) по-

мещали в чашечку, которую подвешивали на конец кварцевой пружины. За процессами окисления или разложения полимера следили по изменению длины кварцевой пружины (катетометром КМ-6). Предварительно для данной пружины при различных температурах (+50, +100, +150, +200 и +250°) были сняты градуировочные кривые: показание катетометра — навеска.

Окисление проводили в токе кислорода со скоростью подачи 500 мл/мин, а термическое разложение—в атмосфере гелия. В последнем случае образец ПА выдерживали при заданной температуре в

течение 2-3 часов.

Для хлорирования употребляли полимер сразу после окончания полимеризации. Полимер (1—2 г) промывали четыреххлористым углеродом в атмосфере гелия, переносили в трехтубусную колбу с мешалкой, добавляли 70 мл ССІ $_4$ и вели хлорирование при комнатной температуре. По ходу хлорирования отбирали пробы полимера через 10, 20, 30 минут, 1, 3 и 6 часов после начала реакции.

Анализ на содержание хлора в полимере проводили по видоизмененному методу Шенигера [4] с предварительным сжиганием пробы, завернутой в беззольный фильтр, на никелевой проволочке в атмосфере кислорода.

Гидрирование мелкорастертого порошка ПА в виде суспензии с водой вели в каталитической "утке", закрепленной на качалке (600—800 кач./мин). В качестве катализаторов были испробованы Pd/CaCO₃ (5% Pd) и скелетный Ni. Методика гидрирования ПА не отличалась от таковой гидрирования растворимых непредельных соединений.

Результаты и обсуждение

На рисунке 1 показано изменение веса при окислении образцов ПА, полученных при —-60° в различных растворителях. При 50° в течение трех часов практически не наблюдается окисления образцов ПА, полученных в толуоле и хлорбензоле, а ПА, синтезированный в гептане, медленно окисляется, начиная с 80-ой минуты. При 100° скорость присоединения кислорода к хлорбензольному и гептановому образцам ПА резко возрастает (кривые б и 6), причем окисление с большой скоростью шло в первые 40—60 минут, а затем проходило очень медленно. К ПА, полученному в гептане (кривая 6), присоединилось 0,25 моля кислорода на моль ацетилена. Толуольный же образец при этой температуре не окисляется; при 100° даже в течение 10 часов не происходило присоединения кислорода.

При 150° гептановый образец ПА горит в токе кислорода; хлорбензольный в первые минуты очень бурно присоединяет кислород, но уже с десятой минуты начинает преобладать окислительная деструкция полимера (кривая 8). При 150° толуольный ПА также окисляется, но более медленно (кривая (7). Таким образом, скорость окисления полиацетилена различна в зависимости от условий получения полимера. Скорость присоединения кислорода падает в ряду ПА: гептановый > хлорбензольный > толученый.

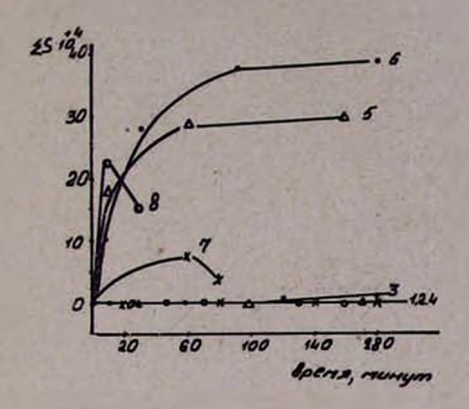


Рис. 1. Кинетика окисления образцов полиацетилена, полученных при -60° на $Al(uso-C_4H_9)_3$ — $TlCl_4=4,7$; при 50° : l—в толуоле (x); 2—хлорбензоле (\triangle); 3— гептане (\bigcirc); при 100° : 4—в толуоле (\bigcirc), 5— хлорбензоле, 6— гептане при 150° , 7—в толуоле, 8—хлорбензоле.

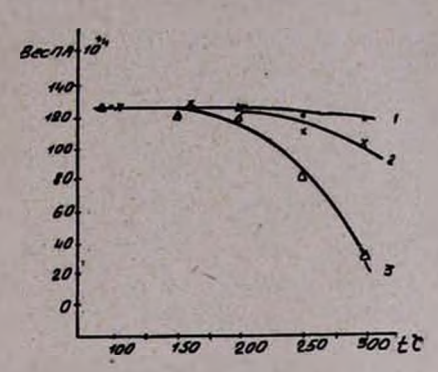


Рис. 2. Зависимость термической стабильности полиацетиленов от температуры, полученных в: I — толуоле, 2 — хлорбензоле, 3 — гептане. Температура полимеризации — 60° , Al/Ti = 4,7, вес исходного полимера 0,0126 z.

Толуольный образец ПА оказался и самым термостабильным из всех проверенных нами (рис. 2). Так, при 300° в атмосфере гелия он

теряет в весе только $6^{\circ}/_{\circ}$ против $19^{\circ}/_{\circ}$ для хлорбензольного и $76^{\circ}/_{\circ}$ гептанового образца.

Влияние условий, при которых был приготовлен полиацетилен (прежде всего температура и растворитель), сказывается и на другом свойстве ПА—присоединении хлора.

На рисунке 3 представлены кинетические кривые хлорирования полиацетилена. Полимер, полученный в толуоле при $+60^{\circ}$, хлорируется быстрее, чем полу-

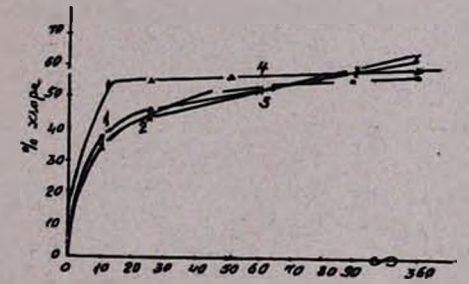


Рис. 3 Кинетика хлорирования полиацетиленов, полученных на $Al(uso-C_4H_9)_3$ — $TiCl_4$, Al/Ti=3.5 при температуре полимеризации -60° : l-B гептане, l-B гелтане, l-B гептане, l-B гептане,

ченный в гептане. Так, за первые 10 минут реакции к толуольному образцу присоединяется $94,0^{\circ}/_{\circ}$, а к гептановому— $61.5^{\circ}/_{\circ}$ хлора от общего его количества, присоединенного за 6 часов. При хлорировании образцов, полученных при — 60° , скорость присоединения хлора практически одинакова для гептанового и толуольного образцов, и значительно меньше, чем для образцов, синтезированных при $+60^{\circ}$.

Свойства полученного хлорполиацетилена, такие как растворимость, способность к дегидрохлорированию и др. также зависят от первоначальных условий получения ПА.

В таблице 1 приведены данные по элементарному составу хлорполиацетилена. Содержание хлора в образцах ПА, синтезированных при -60° , выше, чем синтезированных при $+60^{\circ}$. Следует отметить, что хлорполимеры, полученные хлорированием низкотемпературных образцов, имеют совершенно белый цвет, высокотемпературные—светложелтую окраску.

Таблица 1

| Условия по зации ацет | | Co | держа | ние, | 0/0 |
|--------------------------|------------------|-------|-------|------|------|
| растворитель | темпера- тура | CI | С | Н | 0 |
| Гептан | +60 | 57,99 | 32,30 | 3,36 | 6,36 |
| | -60 | 65,17 | 27,28 | 3,27 | 4,28 |
| Хлорбензол | +60 | 61,29 | 29,96 | 3,14 | 5,61 |
| | -60 | 65,19 | 28,19 | 3,14 | 3,38 |
| Толуол | +60 | 59,45 | 31,90 | 2,95 | 5,66 |
| | -60 | 66,25 | 30,13 | 3,12 | 0,50 |

^{*} Молярное соотношение A1/Ti=3,5.

Результаты изучения растворимости хлорированного полиацетилена в ксилоле и дихлорэтане показаны в таблице 2.

Как в ксилоле, так и в дихлорэтане хлорированный толуольный образец почти не растворяется (растворимость $<4^{\circ}/_{\circ}$); несколько большей растворимостью обладает хлорбензольный образец $(10-22^{\circ}/_{\circ})$ и уже значительной—гептановый, особенно при 135°, в ксилоле $(47^{\circ}/_{\circ})$.

Таблица 2

| Условия по зации аце | 0/0 растворимого хлорполимера в | | | | | | |
|-------------------------|---------------------------------|----------|-----------|---------|-----------------|--|--|
| темпера- | | ксилол | е при | дихлоря | дихлорэтане при | | |
| растворитель | тура | 20° | 135° | 20° | 84° | | |
| Гептан | +60 60 | 12,0 | 47,0 0 | 2,5 | 2,5 | | |
| Хлорбензол | 十60 一60 | 10 20 | 12 22 | 0 1,2 | 16,6 1,2 | | |
| Толуол | +60 -60 | 0 2,8 | 0 2,8 | 0 2,6 | 2,1 4,0 | | |

[•] Молярное соотношение A1/T1=3,5.

Эти данные противоречат данным Кренцеля с сотрудниками [9], из которых следует, что растворимость хлорированного полиацетилена уменьшается при увеличении в исходном полимере кислородя. По-

следнее авторы связывают со сшивкой полимера при окислении. В исследованных нами образцах, как следует из таблицы 1, наименьшее содержание кислорода было в малорастворимых толуольных образцах, наибольшее—в гептановых. Следовательно, плохую растворимость ряда образцов хлорполиацетилена нельзя однозначно связать с содержанием кислорода в них.

Зависимость свойств хлорполиацетилена от условий получения ПА особенно наглядно проявилась при изучении отщепления от них хлористого водорода при кипячении в диметилформамиде. Нерастворимые толуольные образцы хлорполимера легко отщепляют 32—40% хлора, превращаясь в черный полимер.

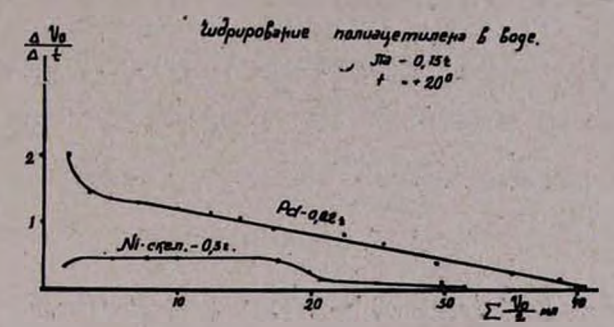


Рис. 4. Гидрирование полнацетилена, полученного в и-гептане при $+60^\circ$, A1/T1=4.7. Условия: навеска полимера $0.15\ z$, температура гидрирования $+20^\circ$, $Pd/CaCO_3\ (5^0/0\ Pd)-1\ z$, N1—скелетный $-0.3\ z$.

Дегидрохлорированный хлорполиацетилен, так же, как и исходный полиацетилен, показывает узкий сигнал ЭПР, характерный для неспаренных, делокализованных по цепи сопряжения электронов. Концентрация неспаренных электронов равна $1,9\cdot 10^{18}$ спин/г. Дегидрохлорированный хлорполиацетилен обладает электропроводностью 10^{-9} ом $^{-1}$ см $^{-1}$ и подчиняется экспоненциальному закону зависимости проводимости от температуры, характерному для полупроводников. Полимер совершенно не подвергается окислению в токе кислорода при $100-200^\circ$, представляет большой практический интерес.

Исследование его свойств, а также условий его получения (различные методы дегидрохлорирования, его кинетика и др.) продолжается.

На рисунке 4 приведены кинетические кривые гидрирования ПА, полученного при $+60^{\circ}$ на $\mathrm{Al}(uso\text{-}\mathrm{C_4H_0})_s$: $\mathrm{TiCl_4}$ в гептане. Характер кинетических кривых на пялладиевом и никелевом катализаторах различен—гидрирование в присутствии $\mathrm{Pd}/\mathrm{CaCO_s}$ идет со скоростью, близкой к первому порядку, в присутствии же скелетного Ni первая половина гидрирования имеет нулевой порядок по непредельному соединению. Количество присоединенного водорода -32-36 мл, вместо 126 мл $\mathrm{H_2}$, из расчета на полное гидрирование $\mathrm{CH}=\mathrm{CH}$ связи,

Армянский химический журнал, XXI, 7-3

т. е. присоединялось только 0,25-0,27 молей водорода на моль C_2H_2 . Замена воды при гидрировании на другие растворители (спирт, гептан), повышение температуры и количества катализатора повысило скорость реакции, но общее количество поглощенного водорода не изменилось.

Гидрирование хлорбензольных и толуольных образцов протекает с еще меньшей скоростью; количество поглощенного водорода хлорбензольным образцом составило 0,17, а толуольным—0,09 молей на моль C_9H_9 .

Всесоюзный научно-иследовательский и проектный институт полимерных продуктов

Поступило 1 VIII 1966

ՊՈլԻԱՑԵՏԻԼԵՆԻ ՀԱՏԿՈՒԹՅՈՒՆՆԵՐԻ ՈՒՍՈՒՄՆԱՍԻՐՈՒՄ։

III. ANIHU868HI66H OPUHAU8NHU, PINCHHU, ZHARNHU 64 PERUHA PUSPUSNHU

Գ. Ա. ՉՈՒԽԱԶՅԱՆ, Ն. Ֆ. ՆՈՍԿՈՎԱ և Ի. Մ. ՌՈՍՏՈՄՑԱՆ

Ибфифисб

Ուսումնասիրվել է Al(իզո-C₄H₉)₃-TiCl₄ կատալիզատորի ներկայությամբ տարբեր պայմաններում (ջերմաստիճանի և լուծիչի) ստացված պոլիացետիլենների օքսիդացման, քլորման, հիդրման և թերմիկ քայքայման կինետիկան։

Ստացված տվյալները ցույց են տալիս, որ պոլիացետիլենների ստացման

պայմանների և հատկությունների միջև գոյություն ունի սերտ կապ։

Ընտրելով պոլիմերացման պայմանները, կարելի է ստանալ որոշակի հատկությամբ պոլիմեր։ Այսպես, օրինակ, ն-հեպտանում + 60°-ում ստացված պոլիացետիլենն օդում արագ օքսիդանում է, կորցնելով իր էլեկտրահաղորդականությունը և պարամագնիսային հատկությունները, մինչդեռ
տոլուոլում,—60°-ում ստացված պոլիմերն ընդունակ չէ օքսիդացման և օդում
մնալիս չի փոփոխում իր էլեկտրական հատկությունները։

Ստացման պայմաններից կախված փոխվում են նաև պոլիացետիլենների քլորման արագությունը, միացած քլորի քանակը և նրանց դեհիդրոքլորման

րնդունակությունը։

ЛИТЕРАТУРА

M. Hatano, Shu. Kambara, J. Polym. Sci., 51, 26 (1961).
 F. Beck, Ber. Bunsenges. Physik. Chem., 68, 558 (1964).

2. А. А. Берлин, Химия и техн. полимеров № 7—8, 139 (1960); Хим. промышл. 12, 23 (1962); А. А. Берлин, Р. М. Асеева, Г. И. Коляев, Е. Л. Франкевич, ДАН СССР, 144, 1042 (1962); Ф. М. Насиров, Б. А. Кренцель, Б. Э. Давыдов, Изв. АН СССР, ОХН, 1965, 1009; G. Natta, G. Mazzanti, P. Corradini, Rend. accad. nazl. Lincel, VIII, 25, 3 (1958); M. L. Green, M. Nehma, J. Wilkinson, Chem. and Ind., 1960, 1136.

3. Н. Ф. Носкова, И. М. Ростомян, В. Г. Григорян, Г. А. Чухаджян, Высокомол. соед., 8, 1524 (1966); Г. А. Чухаджян, Н. Ф. Носкова, И. М. Ростомян,

Н. Г. Карапетян, Арм. хим. ж., 19, 747 (1966).

4. Н. В. Соколова, В. А. Орестова, И. А. Николаева, ЖАХ, 14, 4, 472 (1959).

XXI, № 7, 1968

УДК 542.91

ХИМИЯ НЕПРЕДЕЛЬНЫХ СОЕДИНЕНИЙ XVI. СИНТЕЗ И ПРЕВРАЩЕНИЯ 1,3-ДИГАЛОГЕН-5-АРИЛГЕКСЕНОВ-2

С. А. ВАРТАНЯН, Ф. В. ДАНГЯН и К. Л. САРКИСЯН

Установлено, что а-хлорэтилбензол, п-метил-а-хлорэтилбензол и а-бромэтилбензол в присутствии хлористого цинка присоединаются к 2-хлорбутадиену-1,3 исключительно в положении 1,4 с образованием 1,3-дигалоген-5-арилгексенов-2. Из последних получены соответствующие спирты, ацетаты, эфиры, амины, нитрил, кислота и продукты дегидрохлорирования эфира.

Известно, что α-галоидалкиловые эфиры [1] и α,β-дихлортетрагидрофуран [2] присоединяются к хлоропрену исключительно в положении 1,4 с образованием соответствующих 1,3-дигалоген-5-алкилгексенов.

Интересно было уточнить возможность присоединения а-галоидалкилбензолов к разнообразным диеновым мономерам. В настоящей работе мы поставили себе целью изучить порядок и направленность реакции присоединения а-хлорэтилбензола, п-метил-а-хлорэтилбензола и а-бромэтилбензола к хлоропрену и исследовать превращения полученных дихлоридов. Оказалось, что указанные хлориды в присутствии хлористого цинка без растворителя также присоединяются к хлоропрену, причем только по месту 1,4, с образованием 1,3-дигалоген-5-арилгексенов-2 (I).

$$n-RC_6H_4CH(CH_3)X+CH_2=CCICH=CH_2 \xrightarrow{Z\pi Cl_9} n-RC_6H_4CH(CH_3)CH_2CCI=CHCH_2X$$

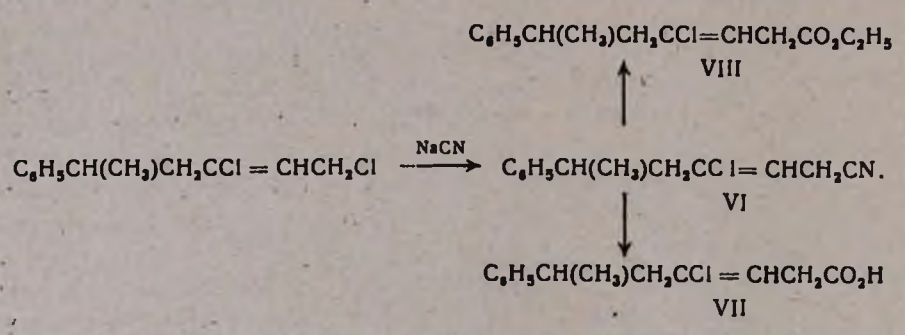
$$R=H, CH_3; X=CI, Br$$

Структура полученных галогенидов I доказана окислением 1,3-дихлор-3-фенилгексена-2 с помощью перманганата калия, приведшим к образованию хлоруксусной и β-фенилмасляной кислот.

Показано, что хлорид I (R=H) гидролизуется водным раствором едкого кали с образованием 1-окси-3-хлор-5-фенилгексена-2 II, структура которого доказана ИК спектром; в последнем обнаружены частоты поглощения, характерные для гидроксильной (3380—3440 см $^{-1}$) и замещенной винильной (1660—1670 см $^{-1}$) групп, а также для ароматического ядра (1603 см $^{-1}$). Хлориды I (R=H, CH $_{\rm 3}$) в растворе спирта в присутствии порошкообразного едкого кали образуют эфиры IV, в растворе уксусной кислоты с уксуснокислым натрием образуют ацетаты III; гидролизом ацетата с R=H получен спирт II, идентичный

спирту, полученному омылением хлорида I (R=H). Указанные хлориды реагируют с аминами и дают амины V:

1,3-Дихлор-5-фенилгексен-2 образует с цианистым натрием при 68—70° нитрил VI. В ИК спектре обнаружены частоты поглощения, характерные для нитрильной (2253 см—1) группы. Нитрил гидролизуется концентрированной соляной кислотой с образованием 1-карбокси-3-хлор-5-фенилгексена-2 VII и подвергается алкоголизу, превращаясь в этиловый эфир 3-хлор-5-фенил-2-гексен-1-карбоновой кислоты VIII:



Отщеплением хлористого водорода от 1-этокси-3-хлор-5-фенилгексена-2 IV ($R=H,\ R'=C_2H_3$) с помощью спиртового раствора едкого кали получена смесь ацетиленового IX и алленового X эфиров. В ИК спектрах соответственно обнаружены частоты поглощения ацетиленовой (2030 cm^{-1}) и алленовой (1950 cm^{-1}) связей. С помощью хроматографирования на пластинке нам не удалось отделить ацетиленовый эфир от алленового. При гидратации смеси эфиров IX и X в присутствии сернокислой ртути получен кетоэфир XI:

$$\begin{array}{c|c} \hline & -HCI \\ \hline & C_6H_5CH(CH_3)CH_2C \equiv CCH_2OC_2H_5 \\ \hline & IX \\ \hline \\ C_6H_5CH(CH_3)CH_2CCI \equiv CHCH_3OC_6H_5 \\ \hline & C_6H_5CH(CH_3)CH_2CCH_2CH_2OC_2H_5 \\ \hline & O \\ \hline & XI \\ \hline & -HCI \\ \hline & C_6H_5CH(CH_3)CH = C = CHCH_2OC_2H_5 \\ \hline & Hg++ \\ \hline & X \\ \hline \end{array}$$

Экспериментальная часть

Синтез дигалогенидов I. К смеси 0,3 моля свежеперегнанного а-галоидэтилбензола [3] и 1,5 г сухого хлористого цинка при 23—25°С из капельной воронки в течение 1 часа добавлялось 0,3 моля 2-хлорбутадиена-1,3, затем реакционная смесь перемешивалась в течение 5 часов и оставлялась на ночь. На следующий день смесь перемешивалась еще 6 часов. Затем добавлялся эфир, экстракт многократно промывался водой, высушивался сульфатом магния и перегонялся в вакууме.

Константы полученных дигалогенидов I приведены в таблице 1.

n-RC₄H₄CH(CH₃)CH₂CC1=CHCH₂X

Таблица 1

| | | 0% | 1127 | | | | M | R _D | | CI |
|-----------------|----|----------|---------------------------|--------------------------------------|--------|-----------------|---------|----------------|---------|--------|
| R | х | Выход, с | Т. кип., °С/ <i>мм</i> | Молекулярная формула | n 20 D | d ²⁰ | найдено | вычис- | найдено | вычис- |
| Н | CI | 72,8 | 124/1 | C12H14C12 | 1,5420 | 1,112 | 64,80 | 63,28 | 30,80 | 31,00 |
| CH ₃ | CI | 70 | 124/0,5 | | 1,5420 | 1,098 | 69,61 | 67,90 | 28,72 | 28,80 |
| *H | Br | 76 | 139—140/3 | C ₁₂ H ₁₄ ClBr | 1,5610 | 1,303 | 67,96 | 66,18 | 13,17 | 12,98 |

Анализ на бром; найдено ⁰/₀: 29,43; вычислено 29,24.

Окисление 1,3-дихлор-5-фенилгексена-2 I (R=H), 23 г дихлорида смешивалось с 180 мл воды и при непрерывном перемешивании в течение 4 часов при 8—10° малыми порциями вносилось 34 г перманганата калия. Смесь перемешивалась 3 часа при комнатной температуре. На следующий день перекись марганца отфильтровывалась, многократно промывалась горячей водой, водный раствор экстрагировался эфиром, высушивался сульфатом магния. После отгонки эфира нейтральных продуктов не оставалось. Водный раствор солей выпаривался досуха на водяной бане, остаток подкислялся, тщательно экстрагировался эфиром, экстракт высушивался сульфатом магния. После отгонки эфира получались хлоруксусная кислота, т. пл. 62° [4] и β-фенилмасляная кислота, т. кип. 127—129°/2 мм; про 1,5125 [5]. Константы кислот хорошо совпадают с литературными данными.

1-Окси-3-хлор-5-фенилгексен-2 II. а) Смесь 60 мл 15^0 /₀-ного водного раствора поташа и 10 г дихлорида I (R=H) нагревалась при 95°. После охлаждения продукт экстрагировался эфиром, высушивался сульфатом магния и перегонялся в вакууме. Получалось 9,3 г (97,8°/₀) спирта II; т. кип. 138—139°/3 мм; n_D^{20} 1,5420; d_A^{20} 1,1040. М R_D найдено 60,06, вычислено 59,94. Найдено n_D^{20} С 68,49; Н 7,27; СІ 17,00-С₁₈H₁₅OCI. Вычислено n_D^{20} С 68,46; Н 7,12; СІ 16,86.

6) Гидролизом 7 г ацетата III (R=H) $10^{\circ}/_{\circ}$ -ным раствором едкого кали в течение 21 часа при 95° получалось 4,5 г спирта II; т. кип. $138-139^{\circ}/3$ мм; n_D^{20} 1.5420.

1-Алкокси-3-хлор-5-арилгексены-2 IV. К смеси 50 мл метилового или этилового спирта и 5,5 г едкого кали при перемешивании добавлялось 10 г дихлорида I (R=H, CH₃). Реакционная масса нагревалась при 70—80° в течение 5—6 часов. Затем отгонялась основная часть спирта, остаток нейтрализовался соляной кислотой, экстрагировался эфиром, высушивался сульфатом магния и после удаления эфира остаток перегонялся в вакууме. Получались эфиры, константы которых приведены в таблице 2.

n-RC₈H₄CH(CH₃)CH₂CCI=CHCH₂OR'

Таблица 2

| R | R' | Выход, 0/0 | Т. кип., °С/мм | Молекулярная формула | π _D | d ²⁰ | найдено | BLUTIC- DA | найдено | вычис- |
|-----------------|-------------------------------|------------|-------------------|-------------------------------------|----------------|-----------------|---------|------------|---------|--------|
| Н | CH ₃ | 86,7 | 124-125/2 | C13H17OCI | 1,5212 | 1,044 | 65,49 | 64,67 | 16,20 | 15,81 |
| Н | C ₂ H ₅ | 86,5 | 129-130/2 | C ₂₄ H ₁₉ OCI | 1,5170 | 1,041 | 69,29 | 69,29 | 15,00 | 14,88 |
| CH ₃ | CH ₃ - | 89,5 | 118/2 | C14H19OCI | 1,5220 | 1,028 | 70,74 | 69,29 | 14,76 | 14,88 |
| CH ₃ | C ₃ H ₅ | 75 | 130—131/1 | C ₁₅ H ₂₁ OCI | 1,5165 | 1,014 | 75,21 | 73,91 | 13,86 | 14,05 |

1-Ацетокси-3-хлор-5-фенилгексен-2 III (R=H). Смесь 10 г 1,3-дихлор-3-фенилгексена-2 и 7,2 г ацетата калия в 50 мл уксусной кислоты перемешивалась 16 часов при 110°. Прибавлялось 50 мл воды, смесь экстрагировалась эфиром, высушивалась сульфатом магния и перегонялась в вакууме. Получалось 10,5 г ($95,4^0/_0$) 1-ацетокси-3-хлор-5-фенилгексена-2. Т. кип. 144—145°/3 мм; n_D^{20} 1,5210; d_D^{20} 1,0870. d_D^{20} 1,0870. d_D^{20} 1,704; C1 13,78. d_D^{20} 1,84 6,73; C1 14,06.

1-Ацетокси-3-хлор-5-п-толилгексен-2 /// ($R=CH_3$). Аналогичным способом из 12 г дихлорида I ($R=CH_3$), 7 г ацетата натрия и 50 мл уксусной кислоты получалось 10 г ($86^0/_0$) 1-ацетокси-3-хлор-5-n-толилгексена-2; т. кип. $146^\circ/2$ мм; n_D^{20} 1,5275; d_4^{20} 1,075. М R_D найдено 76,19, вычислено 73,92. Найдено $^0/_0$: C 68,01; H 7,39; C1 13,78. $C_{15}H_{19}O_3$ Cl. Вычислено $^0/_0$: C 67,91; H 7,13; Cl 13,32.

1-Амино-3-хлор-5-арилгексены-2 V. Смесь 10 г дихлорида I (R=H, CH₃) и 20 мл диэтиламина в закрытой ампуле оставлялась при комнатной температуре 2 дня. Реакционная смесь подкислялась разбавленной соляной кислотой до кислой реакции, нейтральные продукты экстрагировались эфиром. Органические основания выщелачивались поташом, экстрагировались эфиром, высушивались сульфатом магния и после отгонки эфира перегонялись в вакууме. [В случае диметиламина бралось 30 мл абсолютного эфира и пропускался газо-

образный диметиламин до привеса 4 г, а в случае пиперидина—3 г хлорида I (R=H) и 3 г пиперидина]. Таким образом, получались амины V, константы которых приведены в таблице 3.

n-RC₆H₄CH(CH₃)CH₂CCI=CHCH₂NR₂

Таблица 3

| | | 0/0 | 1000 | | | 3.71 | M | RD | C | |
|-----------------|-------------------------------|----------|-------------------|-------------------------------------|------------------------------|------------------------------|---------|--------|---------|--------|
| R | R ₂ | Выход, б | Т. кип., °С/мм | Молекулярная формула | n _D ²⁰ | d ₄ ²⁰ | найдено | вычис- | найдено | вычис- |
| Н | CH ₃ | 62,6 | 108—109/1 | C ₁₄ H ₂₀ NCI | 1,5200 | 1,000 | 72,18 | 71,59 | 5,84 | 5,89 |
| *H | C ₂ H ₅ | 84.7 | 142/4 | C ₁₆ H ₂₄ NCI | 1,5150 | 0,9933 | 80,44 | 80,82 | 5,27 | 5,28 |
| CH ₃ | CH ₃ | 60 | 119/1 | C ₁₅ H ₂₂ NCI | 1,5190 | 0,9860 | 77,47 | 76,21 | 5,66 | 5,56 |
| CH ₃ | C ₂ H ₅ | 80,3 | 139—140/1 | C ₁₇ H ₂₆ NCI | 1,5150 | 0,9731 | 86,62 | 85,45 | 5,05 | 5,00 |
| н | | 82,6 | 161/3 | C ₁₇ H ₂₄ NCI | 1,5336 | 1,028 | 83,81 | 83,24 | 5,35 | 5,04 |

^{*} Хлорэтилат, т. пл. 78—79°; йодэтилат, т. пл. 98° (эфир).

1-Циан-3-хлор-5-фенилгексен-2 VI. К смеси 7 г цианистого натрия, 5,5 г йодистого калия, 36 мл ацетона, 36 мл этилового спирта, 18 мл воды в течение 1 часа добавлялось 22 г 1,3-дихлор-5-фенилгексена-2. Реакционная смесь перемешивалась на водяной бане при 60° в течение 26 часов. После соответствующей обработки получалось 15 г $(71,4^0/_0)$ 1-циан-3-хлор-5-фенилгексена-2; т. кип. 149—150°/2 мм; n_D^{20} 1,5345; d_4^{20} 1,079. MRD найдено 63,23, вычислено 62,85. Найдено $0/_0$: N 6,36. $C_{13}H_{14}Cl$. Вычислено $0/_0$: N 6,38.

1-Карбокси-3-хлор-5-фенилгексен-2 VII. Смесь 3,3 г цианида VI и 40 мл дымящей соляной кислоты нагревалась на водяной бане при 70° в течение 14 часов. Реакционная масса экстрагировалась эфиром, высушивалась сульфатом магния и после отгонки эфира остаток перегонялся в вакууме. Получалось 3 г (83,8%) 1-карбокси-3-хлор-5-фенилгексена-2; т. кип. $173-174^{\circ}/3$ мм; n_D^{20} 1,5365. Найдено %: С 65,50; Н 6,70. $C_{13}H_{15}O_3Cl$. Вычислено %: С 65,40; Н 6,28.

Этиловый эфир 3-хлор-5-фенил-2-гексен-1-карбоновой кислоты VIII. К 30 мл безводного спирта, насыщенного хлористым водородом, по каплям добавлялось 5,5 г нитрила VI и смесь нагревалась на водяной бане при 70° в течение 9,5 часов. Реакционная масса экстрагировалась эфиром, промывалась водой, высушивалась сульфатом магния. После отгонки эфира остаток перегонялся в вакууме. Получалось 6 г (90%) эфира VIII; т. кип. 136-1370/1 мм; n_D^{20} 1,5156; d_D^{20} 1,070. MRD найдено 75,09, вычислено 73,92. Найдено d_D^{20} 1 13,70. d_D^{20} 1. Вычислено d_D^{20} 1 13,32.

 \mathcal{L} егидрохлорирование 1-этокси-3-хлор-5-фенилгексена-2 IV (R=H, C_2H_5). К смеси 70 мл безводного спирта и 12 г порошкооб-

разного едкого кали по каплям добавлялось 22 г 1-этокси-3-хлор-5-фенилгексена-2. Реакционная масса перемешивалась в течение 7,5 часов при 76°. Основная часть спирта отгонялась, остаток нейтрализовался разбавленной соляной кислотой, экстрагировался эфиром, высушивался сульфатом магния. После отгонки эфира остаток перегонялся в вакууме. Получалось 17,5 г (94%) смеси продуктов ІХ, Х; т. кип. 126-128% мм; n_D^0 1,5150; d_4^{0} 0,9792. Найдено %: С 83,24; Н 9,23. C_{14} H₁₈O. Вычислено %: С 83,16; Н 8,91.

1-Этокси-5-фенилгексенон-3 XI. Смесь 45 мл $85^{\circ}/_{0}$ -ного этилового спирта, 2 г сульфата ртути, 0,5 мл серной кислоты и 7,5 г дегидрогалоидированного продукта IX, X нагревалась на кипящей водяной бане в течение 8 часов. Из реакционной массы отгонялся спирт, смесь нейтрализовалась карбонатом калия, экстрагировалась эфиром, высушивалась сульфатом магния. Получалось 6 г $(73,6^{\circ}/_{0})$ 1-этокси-5-фенилгексанона-3; т. кип. $137-138^{\circ}/1$ мм; $n_{\rm D}^{20}$ 1,5032; $d_{\rm C}^{20}$ 1,002. МRD найдено 64,89; вычислено 64,90. Найдено $^{\circ}/_{0}$: С 76,31; Н 9,04. $C_{14}H_{20}O_{2}$. Вычислено $^{\circ}/_{0}$: С 76,36; Н 9,09.

Институт органической химии АН АрмССР

Поступило 7 VII 1967

ՉՀԱԳԵՑԱԾ ՄԻԱՑՈՒԹՅՈՒՆՆԵՐԻ ՔԻՄԻԱ

XVI. 1,8-ԴԻՀԱԼՈԳԵՆ-5-ԱՐԻԼՀԵՔՍԵՆ-2-ՆԵՐԻ ՍԻՆԹԵԶ ԵՎ ՓՈԽԱՐԿՈՒՄՆԵՐԸ

Ս. Հ. ՎԱՐԴԱՆՑԱՆ, Ֆ. Վ. ԴԱՆՂՑԱՆ և Կ. Լ. ՍԱՐԳՍՅԱՆ

Udhnhnid

Ուսումնասիրված է մի քանի ըենզիլհալոգենիդների և 2-քլորբուտադիեն-1,3-ի միացման ռեակցիան։ Պարզված է, որ α-քլորէԹիլբենզոլը, պ-մեԹիլ- α-քլորէԹիլբենզոլը, ինչպես նաև α-բրոմէԹիլբենզոլը, առանց լուծիչի, ցինկի քլորիդի ներկայուԹյամբ միանում են 2-քլորբուտադիեն-1,3-ին բացառապես 1,4-տեղերում, առաջացնելով 1,3-դիհալոգեն-5-արիլհեքսեն-2-ներ I:

Ստացված միացությունների կառուցվածքն ապացուցված է 1,3-դիքլոր5-ֆենիլհեքսեն-2-ի օքսիդացմամբ, ինչպես նաև նրանց I նուկլեոֆիլ տեղակալման մի շարք ռեակցիաների օգնությամբ։ Այսպես, 1,3-դիհալոգեն-5-արիլհեքսեն-2-ներից ստացված է սպիրտ II, ացետատ III, եթեր IV, ամին V։
I (R=H) քլորիդը լուծիչի ներկալությամբ նատրիումի ցիանիդի հետ գոյացնում է համապատասխան նիտրիլը VI։ Վերջինիս հիդրոլիզով ստացվում է
Թթու VII և Էսթեր VIII։

8ույց է տրված, որ 1-էԹօքսի-3-քլոր-5-ֆենիլԴեքսեն-2-ից հալոգենաջրածին պոկելիս ստացվում է ացետիլենային IX և ալենային X եԹերների խառնուրդ, որոնց հիդրատացմամբ ստացված է կետոեԹեր XI։

ЛИТЕРАТУРА

- 1. С. А. Вартанян, А. О. Тосунян, Изв. АН АрмССР, 10, 195 (1957).
- 2. Б. А, Вовси, А. А. Петров, ЖОХ, 28, 1426 (1958). 3. С. А. Вартанян, Ш. А. Геворкян, Ф. В. Дангян, Изв. АН АрмССР, ХН, 15, 63-
- 4. С. А. Вартанян, А. О. Тосунян, Р. А. Куроян, ЖОрХ, 2, 610 (1966). 5. Georg A. Olah, S. J. Kuhn, D. G. Barnes, J. Org. Chem., 29, 2685 (1964).
- Словарь орг. соед., 1, ИЛ, Москва, 1949. 421.
 Словарь орг. соед., 2, ИЛ, Москва, 1949, 737.

XXI, № 7, 1968

УДК 542.951.2

СИНТЕЗ ДИАЛКИЛАЦЕТАЛЕЙ N,N-ДИАЛКИЛАМИ-НОАЦЕТАЛЬДЕГИДОВ

л. з. казарян, к. ц. тагмазян и ц. х. варданян

Синтезирован ряд диацеталей N,N-диалкидаминоацетальдегидов.

Ранее одним из нас совместно с Запросян показано [1], что при взаимодействии поливинилацетата с ацеталями алифатических альдегидов в присутствии кислых катализаторов имеет место реакция переацеталирования и переэтерификации, в результате чего получаются с хорошими выходами поливинилацетали.

В развитии этих работ было показано, что аналогичная реакция имеет место при взаимодействии поливинилацетата с ацеталями алифатических аминоальдегидов. В результате получаются поливиниламиноацетали, которые, согласно литературным данным, в виде добавки к поливиниловому спирту, применяются в производстве волокон со свойствами натуральной шерсти [2].

Для изучения кинетики этой реакции понадобилось синтезировать ряд не описанных в литературе диалкилацеталей N,N-диалкиламиноацетальдегидов. Синтез этих аминоацеталей представляет интерес и с точки зрения их физиологической активности. Известно, что аналоги этих аминоацеталей обладают антигельментическими свойствами [3] и являются промежуточными продуктами ряда запатентованных препаратов [4].

Синтез диалкилацеталей аминоальдегидов осуществлен взаимодействием соответствующих аминов с диалкилацеталями бромацетальдегида.

 $BrCH_2CH(OR)_2 + 2HN(R')_2 \longrightarrow (R')_2NCH_2CH(OR)_2 + (R')_2NH \cdot HBr$

Аминовцетали, описываемые впервые, приведены в таблицах 1 и 2. Строение их подтверждено данными ИК спектрального анализа. Во всех случаях в спектрах получено интенсивное поглощение в области $1030-1170\ cm^{-1}$, свидетельствующее о наличии характерных ацетальных—СОС-групп [5].

Экспериментальная часть

Синтез дналкилацеталей бромацетальдегида осуществлен по прописи [6] с той лишь разницей, что в качестве растворителя взамен хлороформа взят соответствующий спирт. Выходы составили 50—60%.

RHN(CH₂)₆NHCH₂CH(OR')₂

| | - 1 | | - | | 1 | 270 | - | | 1 | | | - | | | - | |
|--|-------------------------------|----------|---------------------------|------------------------------|-----------------|---|---------|------------------|---------|----------------|---------|--------|---------|--------|----------|---------|
| | | | | | 1 | 100 | | R _D . | Дан | ные эл | емента | рного | анализа | a, 0/0 | T. nz | ı., °C |
| | | 0/0 | | | | | 0.00 | 유 | | С | 1 | Н | 1 | N | | |
| R | R' | Выход, 0 | Т. кип., °С/ <i>мм</i> | n _D ²⁰ | d ²⁰ | Молекуляр- ная формула | найдено | вычислен | найдено | вычис- лено | найдено | Вычис- | наидено | вычис- | оксалата | пикрата |
| Н | СН₃ | 50 | 125—127/5,5 | 1,4568 | 0,9544 | C ₁₀ H ₂₄ O ₂ N ₂ | 58,19 | 58,69 | 58,72 | 58,82 | 11,81 | 11,77 | 13,78 | 13,73 | 179—180 | 179—189 |
| CH ₂ CH(OCH ₃) ₂ | CH ₃ | 4 | 175—185/4 | 1,4595 | 0,9935 | C14H32O4N2 | 80,43 | 80,63 | 57,91 | 57,53 | 11,09 | 10,96 | 9,58 | 9,59 | 240-245 | 152-154 |
| Н | C ₂ H ₅ | 52 | 130—135/1,5 | 1,4523 | 0,9350 | C12H28O2N2 | 66,97 | 66,78 | 62,44 | 62,07 | 12,27 | 12,07 | 11,92 | 12,08 | 161-162 | · 0 |
| Н | C ₃ H ₇ | 64 | 160162/4 | 1,4528 | 0,9167 | C14H32O2N2 | 76,63 | 77,16 | 64,25 | 64,62 | 12,43 | 12,31 | 10,85 | 10,77 | 177—178 | |
| CH ₂ CH(OC ₃ H ₇) ₂ | C ₃ H ₇ | 5 | 235-237/6 | 1,4523 | 0,9280 | C22H48O4N2 | 117,52 | 118,35 | 65,62 | 63,34 | 11,81 | 11,88 | 6,95 | 6,93 | 173-174 | -31 |
| Н | C ₄ H ₉ | 43 | 168—169/1,5 | 1,4540 | 0,9040 | C ₁₆ H ₃₆ O ₂ N ₂ | 86,34 | 86,40 | 66,41 | 66,67 | 12,55 | 12,50 | 10,07 | 9,72 | 156—157 | |
| CH ₂ CH(OC ₄ H ₉) ₂ | C ₄ H ₉ | 7 | 240 - 242/1,0 | 1,4538 | 0,9156 | C26H56O4N2 | 135,98 | 135,04 | 67,90 | 67,83 | 11,94 | 12,17 | 6,30 | 6,35 | 170—172 | _ |
| 11.00 | | | | | | | - | | | 150 | | 1 | 1 | 1 | 77 | |

| NCH ₃ CH(OC ₄ H ₉) ₃ | NCH2CH(OC4H9)2 | NCH,CH(OC,H,), | (C ₁ H ₂) ₂ NCH ₂ CH(OC ₄ H ₂) ₂ (C ₂ H ₂) ₂ NCH ₂ CH(OC ₄ H ₂) ₂ | NCH ₃ CH(OC ₃ H ₇) ₃ | NCH ₂ CH(OC ₃ H ₁) ₂ | NCH ₂ CH(OC ₃ H ₄) ₃ | (CH ₃) ₂ NCH ₂ CH(OC ₃ H ₇) ₂ | NCH ₃ CH(OC ₃ H ₅) ₃ | NCH ₂ CH(OC ₂ H ₅) ₂ | NCH,CH(OC,H,), | (CH ₃ CH(CH ₃)CH ₃) ₃ NCH ₃ CH(OCH ₃) ₃ (HOCH ₃ CH ₂) ₃ NCH ₃ CH(OCH ₃) ₃ | (.NcH ₃ cH(осH ₃) ₃ | NCH ₂ CH(OCH ₃) ₃ | О усн,сн(осн,), | Аминоацетали |
|---|----------------|--|--|---|---|---|---|---|---|----------------|--|--|---|-----------------|--------------------|
| 25 | 72 | 69 | 88 | 68 | 23 | 75 | 2 | 88 | 56 | 79 | £ 23 | 23 | 61 | 23 | Выход, 0/0 |
| 105/2 | 113—114/2 | 123—124/2 | 81—83/1,5 105—106/4 | 82—84/1 | 92-92,5/5 | 126/10 | 49-50/2 | 7880/3 | 68-70/4 | 78—79/12 | 86—87/2,5 155—156/6 | 64-65/4 | 57-58/5 | 62—63/2,5 | Т. кил., °С/м.м |
| 1,4484 | 1,4511 | 1,4511 | 1,4278 1,4325 | 1,4509 | 1,4460 | 1,4506 | 1,4221 | 1,4491 | 1,4493 | 1,4468 | 1,4294 1,4671 | 1,4531 | 1,4445 | 1,4543 | 200 |
| 0,9095 | 0,9077 | 0 2510 | 0.8673 0.8624 | 0,9157 | 0,9161 | 0,9692 | 0,8642 | 0,9309 | 0,9441 | 0,9855 | 0,8661 | 0,9650 | 0,9698 | 1 0 21 | d 28 |
| C, H, O,N | C15H31O2N | C ₁₄ H ₃₀ O ₃ N | C1,H1,O1N | C, H, O,N | C11H11O2N | C.H.O.N | C10H1101N | C,,H,,O,N | C ₁₀ H ₂₁ O ₂ N | C10H31O3N | C,H,O,N | C.H. O.N | CaH11O2N | C,H,O,N | Молекуляр- |

Таблица 2

| М | R _D | П | виные э | лемента | рного ан | ализа. | 0/0 | Т. пл | °С |
|---------|----------------|----------|---------|---------|----------|---------|--------|---------|----------|
| | | | C | | -1 | | V | | |
| пайлено | вычислено | найдено. | вычис- | найдено | вычис- | найдено | вычис- | пикрата | оксалата |
| 45,51 | 45,81 | 55,13 | 54,86 | 9,42 | 9,71 | 7,95 | 8,00 | 113—114 | 138—139 |
| 43,60 | 44,17 | 60,35 | 60,38 | 11,02 | 10,69 | 8,83 | 8,81 | 104—105 | 98—100 |
| 48,44 | 48,79 | 61,97 | 62,43 | 10,72 | 10,98 | 8,02 | 8,09 | 91—92 | 109—110 |
| 72,98 | 74,08 | 68,91 | 68,57 | 13,16 | 13,65 | 6,24 | 5,71 | 64—65 | |
| 48,82 | 49,42 | 49,41 | 49,74 | 9,79 | 9,84 | 7,58 | 7,25 | 123-124 | - |
| 54,61 | 55,05 | 59,35 | 59,11 | 10,23 | 10,34 | 6,94 | 6,90 | _ | 134—135 |
| 53,16 | 53,41 | 64,42 | 64,17 | 11,27 | 11,23 | 7,32 | 7,49 | _ | 101—103 |
| 57,92 | 58,02 | 65,58 | 65,59 | 11,47 | 11,44 | 6,67 | 6,97 | 59—60 | 115—116 |
| 55,57 | 55,61 | 63,25 | 63,49 | 11,85 | 12,17 | 7,14 | 7,41 | - | 117-118 |
| 64,13 | 64,28 | 62,15 | 62,34 | 10,93 | 10,82 | 5,93 | 6,06 | - | 116—117 |
| 62,59 | 62,64 | 66,82 | 66,98 | 11,94 | 11,63 | 5,93 | 6,61 | _ | 113—114 |
| 67,32 | 67,38 | 68,34 | 68,12 | 11,83 | 11,79 | 6,06 | 6,12 | - | 112—113 |
| 64,35 | 64,84 | 66,43 | 66,36 | 12,45 | 12,43 | 6,37 | 6,45 | - | 106—107 |
| 73,77 | 74,08 | 68,58 | 68,57 | 12,70 | 12,65 | 5,72 | 5,71 | | 77—78 |
| 73,35 | 73,52 | 64,62 | 64,87 | 11,39 | 11,24 | 5,44 | 5,41 | - | 139—140 |
| 76,23 | 76,30 | 70,09 | 70,04 | 11,70 | 12,06 | 5,48 | 5,45 | - | 137—138 |
| 71,59 | 71,88 | 68,86 | 69,14 | 12,03 | 11,93 | 5,84 | 5,76 | 3- | 140—141 |
| 135- | | | 1000 | | 1 | 1 | | | 1 |

Лиметилацеталь гексиметилендиаминацетальдегида. Смесь 11.6 г (0,1 моля) гексаметилендиамина, 30 мл метанола и 16.9 г (0.1 моля) диметилацеталя бромацетальдегида перемешивалась при 50-60° в течение 18 часов. После перегонки метанола остаток многократно экстрагирован эфиром. Эфирный экстракт подкислен соляной кислотой и вновь экстрагирован эфиром. Остаток при охлаждении нейтрализован слабым раствором щелочи. К отделившемуся масляному слою прибавлен эфирный экстракт водного слоя. После сушки и удаления эфира, получено 10,2 г (50%) диметилацеталя гексаметилендиаминацетальдегида с т. кип. 125—127°/2,5 мм; d20 0,9544, п20 1,4568; MRp 58.19. вычислено 58,69. Найдено %: С 58,72; Н 11.81; N 13.78. СъоНъо О. N., Вычислено %: С 58,81; Н 11,77; N 13,73. Оксалат, т. пл. 179-180°. ИК спектр свидетельствует о наличии ацетальной (1030-1180 cm⁻¹) и первичной и вторичной аминных (3320-3380 cm⁻¹) групп. Получено также 0,0033 моля (40/0) бис-диметилацеталя гексаметилендиаминацетальдегида с т. кип. 175-185°/4 мм, d20 0.9934; n% 1,4595; MRD 80,43; вычислено 80,63. Найдено %; С 57,45; Н 11,05; N 9,58. С, 4H, QQ, N₂. Вычислено %: С 57,53; Н 10,96; N 9,59. Оксалат. т. пл. 240-245° (из спирта). Пикрат, т. пл. 152-153°, (из спирта). ИК спектр свидетельствует о наличии ацетальной (1040-1160 см-1) и вторичной аминной (3320 см-1) групп.

Описанным способом были получены: диэтил-, бис-диэтил-, дипропил-, бис-дипропил-, бутил- и бис-дибутилацетали гексаметилендиаминацетальдегида.

Данные приведены в таблице 1.

Синтез диметилацеталя морфолинацетальдегида. Смесь 22 г (0,3 моля) морфолина и 25,5 г (0,15 моля) свежеперегнанного диметилацеталя бромацетальдегида перемешивалась при 65—70° в течение 6 часов. После обработки, аналогичной предыдущей, получено 17 г (63%) диметилацеталя морфолинацетальдегида. Т. кип. 73—74°/2 мм, $d_{\rm c}^{20}$ 1,0421; $n_{\rm d}^{20}$ 1,4545; MR_D 45,51; вычислено 45,81. Найдено %: С 55,13; Н 9,42; N 7,95. $C_{\rm e}H_{\rm 17}O_{\rm 3}N$. Вычислено %: С 54,86; Н 9,71; N 8,00. ИК спектр свидетельствует о наличии ацетальной группы (1030—1170 см-1). Пикрат, т. пл. 113—114°, оксалат, т. пл. 138—139°. Описанным путем были синтезированы и другие диалкилацетали, данные о которых приведены в таблице 2.

Ереванский политехнический институт им. К. Маркса

Поступило 22 V 1967

N,N-ԴԻԱԼԿԻԼԱՄԻՆԱԱՑԵՏԱԼԴԵՀԻԴՆԵՐԻ ԴԻԱԼԿԻԼԱՑԵՏԱԼՆԵՐԻ Ս Ի Ն Թ Ե Զ

լ. Ջ. ՂԱԶԱՐՏԱՆ, Կ. Ծ. ԹԱՀՄԱԶՑԱՆ և Ծ. Խ. ՎԱՐԴԱՆՑԱՆ

Udhnhnid

Առաջներում ցույց էինք տվել, որ պոլիվինիլացետատը կատալիտիկ քանակներով ԹԹվի կամ դիմեԹիլսուլֆատի ներկայությամբ ալիֆատիկ ալդեհիդների և ամինաալդեհիդների ացետալների հետ փոխազդելիս ենթարկվում է վերաացետալացման և վերաէսԹերացման, որի հետևանքով բարձր ելքերով ստացվում են պոլիվինիլացետալներ և պոլիվինիլամինաացետալներ։

Մեղ հնտաքրքրեց վերոհիշյալ ռեակցիայի կինետիկան։ Սույն աշխատանքը նվիրված է այդ ուսումնասիրությունների համար ելանյութ հանդիսացող ամինաացետալների սինթեդին։

Սինթեզել ենք 24 նոր ամինաացետալներ։ Վերջիններս կարող են հետաքրքրություն ներկայացնել իբրև ֆիզիոլոգիապես ակտիվ նյութեր, քանի որ նրանց համանմանները, համաձայն գրականական տվյալների, որդասպան նյութեր են։

ЛИТЕРАТУРА

- 1. Л. З. Казарян, Т. О. Запросян, Изв. АН АрмССР, ХН, 13, 37 (1960).
- 2. M. Matsumoto, E. Taeotsu, J. Pol. Sci., 23, 617 (1957).
- 3. A. R. Surrey, Пат. США, 307163 [С. А., 59, 513d (1963)].
- 4. M. Sainclivier, Пат. США, 2929844 [С. А., 54, 5429d (1960)].
- 5. K. Fujiki, Meiji Dalgaku, Nogakubu Kenkyu Hokoku NO/5 67 [C. A., 61, 3820C, (1963)].
- 6. P. Bedoukian, J. Am. Chem. Soc., 61, 651 (1944).

XXI, № 7, 1968

УДК 542.91+547.569.2

ПРЕВРАЩЕНИЯ 3-НИТРО-4-ОКСИ- И 3-НИТРО-4-МЕТОКСИ-БЕНЗИЛХЛОРИДОВ

III. СИНТЕЗ СУЛЬФИДОВ

г т есаян. А. А. БАБАЯН и Г. Е. ГРИГОРЯН

Синтезированы 3-нитро-4-окси- и 3-нитро-4-метоксибензилалкил-(аралкил, алкенил)-сульфиды взаимодействием соответствующих S-бензилизотномочевин с галоидосоединениями в присутствии щелочи.

В продолжение исследований по получению многофункциональных соединений на базе продуктов хлорметилирования о-нитрофенола и о-нитроанизола показано, что ранее синтезированные S-(3-нитро-4-оксибензил)- и S-(3-нитро-4-метокибензил)-изотиомочевины [1] реагируют с галоидосоединениями в присутствии щелочи, образуя соответствующие сульфиды. Следует полагать, что промежуточно образуется меркаптид, который реагирует с галоидным соединением.

$$\begin{array}{c} \text{RO-} & \begin{array}{c} \begin{array}{c} \text{NH} \\ \text{NH}_{2} \end{array} \end{array} & \text{HCI} & \begin{array}{c} \begin{array}{c} \text{NaOH} \\ \text{H}_{2} \end{array} \end{array} & \begin{array}{c} \begin{array}{c} \text{RO-} \\ \text{NO}_{2} \end{array} \end{array} & \begin{array}{c} \begin{array}{c} \text{CH}_{2} \text{SNa} \end{array} \end{array} \end{array} \end{array} \right] \xrightarrow{R'X}$$

R=H, CH₃; R'=алкил, алкенил, аралкил,

В случае S-(3-нитро-5-метоксибензил)-изотиомочевины эта реакция протекает гладко с различными галоидосоединениями—йодистый метил, хлоруксусная кислота, бромистый этил, йодистый пропил, бромистый изоамил, хлористый бензил, бромистый аллил, 3-нитро-4-метоксибензилхлорид, 1,3-дихлорбутен-2. Сложнее протекает реакция упомянутых галоидосоединений с S-(3-нитро-4-оксибензил)-изотиомочевиной, так как промежуточный оксимеркаптид может вступать в реакцию как по S—Na, так и по О—Na связи. Соответствующие сульфиды могли быть получены только с некоторыми из вышеупомянутых хлоридов и их выходы относительно низки. Однако, как и следовало ожидать, реакция по S—Na связи протекает значительно легче, чем по О—Na и даже при применении большого избытка галоидосоединения соответствующие ароксисульфиды не могли быть получены со значительным выходом и выделены в чистом виде, за

исключением 2-нитро-4-карбоксиметилтиометилфенилуксусной кислоты:

$$2 \text{CICH}_2 \text{COOH} + \text{HO} - \text{CH}_2 \text{SC} \times \text{NH}_2 \cdot \text{HCI} \xrightarrow{\text{NaOH}} \text{NO}_2$$

$$\longrightarrow \text{HOOCCH}_2 \text{O} - \text{CH}_2 \text{SCH}_2 \text{COOH}.$$

На примере взаимодействия 3-нитро-4-оксибензилэтилсульфида с метиловым эфиром хлоруксусной кислоты в условиях проведения аналогичной реакции с 3-нитро-4-оксибензилдиэтиламином [2] показана возможность получения этим путем 2-нитро-4-(алкилтиометил)феноксиуксусных эфиров:

$$CICH_2COOCH_3 + HO \longrightarrow CH_2SC_3H_5 \xrightarrow{K_3CO_3}$$

$$\longrightarrow CH_3OOCCH_2O \longrightarrow CH_2SC_2H_5.$$

$$\downarrow NO_2$$

Экспериментальная часть

Исходные S-производные изотиомочевины получены ранее описанным нами способом — взаимодействием 3-нитро-4-окси- и 3-нитро-4-метоксибензилхлоридов с тиомочевиной в спиртовой среде [1].

3-Нитро - 4 - метоксибензилалкилсульфиды. Для большинства случаев взаимодействия S-(3-нитро-4-метоксибензил)-изотиомочевины с галоидосоединениями были с успехом применены описанные в литературе условия для аналогичного синтеза 2-метокси-5-алкилтиометилбензойных кислот [3]. К раствору 5,6 г (0,02 моля) хлористоводородной соли S-(3-нитро-4-метоксибензил)-изотномочевины в 20 мл этанола прибавляли 0,03 моля галоидосоединения и в течение 30 минут по каплям — раствор 4 г едкого натра в 50 мл 50% - ного водного этанола. Реакционную смесь кипятили в течение 8-10 часов, затем спирт отгоняли на водяной бане и остаток выливали в стакан, содержащий 15 мл соляной кислоты и 50 гльда. В случае получения жидкого сульфида последний экстрагировали эфиром, эфирный экстракт промывали 10% - ным раствором едкого натра, затем водой и сушили над сернокислым магнием. После удаления растворителя остаток перегоняли в вакууме. Кристаллические продукты реакции промывали щелочью, водой и перекристаллизовывали из этанола.

Были следующие отклонения от общего хода синтеза. Йодистый метил, учитывая летучесть его, брался с $100^{\circ}/_{\circ}$ -ным избытком; в случае 3-нитро-4-метоксибензилхлорида бралась в избытке ($50^{\circ}/_{\circ}$) соль S-производного изотиомочевины, т. к. избыток хлорида трудно удалить от образовавшегося сульфида. В случае хлоруксусной кислоты продукт реакции не обрабатывался щелочью, ввиду наличия карбоксильной группы.

Выходы и характеристика полученных 3-нитро-4-метоксибензил-

алкилсульфидов приведены в таблице 1.

3-Нитро-4-оксибензилалкилсульфиды—получены вналогично метоксипроизводным из 5,2 г (0,02 моля) хлористоводородной соли S-(3-нитро-4-оксибензил)-изотиомочевины, с той разницей, что продукт реакции не обрабатывался водной щелочью.

В случае йодистого метила повышению выхода сульфида способствует не только увеличение его избытка (до 400 %), но также избытка щелочи (до 8 г NaOH на 0,02 моля хлористоводородной соли S-производного изотиомочевины). В случае обычного избытка (50%) бромистого этила выгоднее вместо этанола применять метанол—как растворитель для предотвращения потери галоидалкила при кипячении реакционной смеси.

Данные о синтезированных и выделенных в чистом виде 3-нит-ро-4-оксибензилалкилсульфидов приведены в таблице 2.

2-Нитро-4-карбоксиметилтиометилфеноксиуксусная кислота. Реакция велась аналогично получению окси- метоксибензилкарбоксиметилсульфидов с той разницей, что молярное соотношение хлоруксусной кислоты к S-производному тиомочевины бралось 3:1. Так, из 5,2 г (0,02 моля) хлористоводородной соли S-(3-нитро-4-оксибензил)-изотномочевины, 5,7 г (0,06 моля хлоруксусной кислоты и 4 г едкого натра получено 1,2 г ($20^{\circ}/_{0}$) ароксисульфида: т. пл. 63 — 65° (из этанола). Найдено: $0/_{0}$ S 9,96, N 5,20. $C_{11}H_{11}O_{7}SN$. Вычислено: $0/_{0}$ S 10,62 N 4,65.

Метиловый эфир 2-нитро-4-этилтиометилфеноксиуксусной кислоты. Смесь 2,1 г (0,01 моля) 3-нитро-4-оксибензилэтилсульфида, 2,2 г (0,02 моля) метилового эфира хлоруксусной кислоты, 2,7 г поташа, 0,3 г йодистого калия и 30 мл сухого ацетона кипятилась в течение 20 часов. Реакционная смесь разбавлялась водой и экстрагировалась эфиром. Эфирный экстракт промывался $10^{0}/_{0}$ -ным раствором едкого натра, затем водой и высушивался над безводным сернокислым натрием. Остаток после удаления растворителя — полужидкая масса. Выход 2,4 г (84,20/ $_{0}$). Найдено $^{0}/_{0}$: S 11,26, N 5,76; $C_{12}H_{15}O_{5}NS$. Вычислено $^{0}/_{0}$: S 11,21, N 4,90.

| | | | | | 1 | | M | R _D | 1 1 | нал | н з, о | 10 |
|--|--------|---------|-------------------|--|-------------------|-----------------|---------|----------------|---------|--------|---------|--------|
| | % | Т. пл., | T | Management | - 3 | | | | | 1 | | S |
| R | Выход, | °C | Т. кип., °С/мм | Молекулярная формула | n _D 20 | d ²⁰ | найлено | вычислено | найдено | вычис- | найдено | вычис- |
| CH ₃ | 92,3 | 38-40 | - | C ₉ H ₁₁ O ₃ SN | _ | _ | _ | - | 6,99 | 6,57 | 15,00 | 15,00 |
| СН₃СООН | 91,4 | 134 | - | C ₁₀ H ₁₁ O ₅ SN | - | _ | - | | 5,61 | 5,45 | 12,38 | 12,44 |
| C ₂ H ₅ | 48,4 | _ | 190—192/9 | C ₁₀ H ₁₃ O ₃ SN | 1,5770 | 1,2237 | 61,47 | 60,71 | 6,58 | 6,17 | 13,50 | 14,09 |
| C ₃ H ₇ | 30,1 | 3 - | 195—196/9 | C ₁₁ H ₁₅ O ₃ SN | 1,5699 | 1,2167 | 64,97 | 65,33 | 6,41 | 5,80 | 13,60 | 13,26 |
| C ₄ H ₉ | 25,5 | | 205—207/9 | G ₁₂ H ₁₇ O ₃ SN | 1,5613 | 1,1737 | 70,33 | 69,95 | 6,06 | 5,49 | 13,00 | 12,53 |
| изо-С ₅ Н ₁₁ | 75,6 | - | 215/11 | C ₁₃ H ₁₉ O ₃ SN | 1,5543 | 1,1543 | 74,72 | 74,57 | 5,62 | 5,20 | 11,90 | 11,82 |
| C ₆ H ₅ CH ₂ | 44,9 | 50-52 | _ | C ₁₅ H ₁₅ O ₃ SN | _ | - | _ | _ | 5,07 | 4,84 | 10,90 | 11,07 |
| CH ₂ ———————————————————————————————————— | 63,2 | 199—121 | - | C ₁₈ H ₁₈ O ₄ SN ₂ | | _ | - | - | 7,93 | 7,68 | 9,30 | 8,79 |
| CH ₂ CH=CH ₂ | 51,0 | | 142—144/9 | C11H13O3SN | 1,5901 | 1,2418 | 64,21 | 64,86 | 5,90 | 5,85 | 13,30 | 13,41 |
| CH ₂ CH=CC1-CH ₃ | 77,9 | _ | 212-215/6 | C ₁₂ H ₁₄ O ₃ SNCI | 1,5850 | 1,3051 | 73,83 | 68,38 | 5,24 | 4,80 | 10,97 | 11,12 |

Таблица 2

| 1 1 7 6 | | | | - | Аназ | и и з, | 0/0 |
|--|------------------------------|--------------------------|---|------------------------------|------------------------------|----------------------------------|----------------------------------|
| | 0/0 | 3 9 - | 1 7 4 | - 3 | N | | 3 |
| R | Выход, 0 | Т. пл., °С | Молекулярная формула | напдено | вычис- | найдено | вычис- |
| CH ₃ CH ₂ COOH C ₂ H ₅ C ₆ H ₅ CH ₂ | 73,1 72,9 59,5 40,0 | 45 115 42 45—47 | C ₈ H ₉ O ₃ SN C ₉ H ₉ O ₈ SN C ₉ H ₁₁ O ₃ SN C ₁₄ H ₁₃ O ₃ SN | 7,23 6,36 7,03 4,85 | 7,02 5,76 6,56 5,08 | 15,70 13,02 14,44 11,45 | 16,06 13,15 15,00 11,63 |

Институт органической химии АН АрмССР

Поступило 10 VII 1967

3_ՆԻՏՐՈ_4_ՕՔՍՒ_ ԵՎ 3_ՆԻՏՐՈ_4_ՄԵԹՕՔՍԻԲԵՆԶԻԼՔԼՈՐԻԴՆԵՐԻ ՓՈԽԱՐԿՈՒՄՆԵՐԸ

III. UNN SPALBER UPLP69

2. S. BUUSUL, U. 2. PUPUSUL L A. B. APPANESUL

Ldhnhnid

8ույց է տրված, որ 3-նիտրո-4-օջսի- և 3-նիտրո-4-մեթօջսիբենզիլքլորիդներից ստացված իզոթիոմիզանյութի համապատասխան Տ-ածանցյալները հիմքի ներկայությամբ փոխազդելով հալոգենային միացությունների հետ, տալիս են 3-նիտրո-4-օջսի- և 3-նիտրո-4-մեթօջսիբենզիլալկիլ(արալկիլ, ալկենիլ)-սուլֆիդներ։ Մեթօջսի ածանցյալների հետ ռեակցիան ավելի հեշտ է ընթանում և սուլֆիդներն ստացվում են համեմատաբար ավելի բարձր ելջերով։

3-Նիտրո-4-օքսի-բենղիլէթիլսուլֆիդի օրինակի վրա ցույց է տրված, որ սինթեղված սուլֆիդները քլորքացախաթթվի էսթերների հետ կոնդենսվում են, առաջացնելով համապատասխան արօքսիսուլֆիդներ։

ЛИТЕРАТУРА

- 1. Г. Т. Есаян, А. А. Бабаян, А. В. Мушегян, Арм. хим. ж., 19, 53 (1966).
- 2. Г. Т. Есаян, А. А. Бабаян, Ж. А. Ханамирян, Арм. хим. ж., 31, 322 (1968).
- 3. А. А. Ароян, Изв. АН АрмССР, ХН, 16, 373 (1963).

XXI, № 7, 1968

УДК 541.124+547.333

РЕАКЦИИ ПЕРВИЧНЫХ И ВТОРИЧНЫХ ЕНАМИНОВ

II. ИЗУЧЕНИЕ РЕАКЦИИ АМИНОКРОТОНОВЫХ ЭФИРОВ С ЭЛЕКТРОФИЛЬНЫМИ ОЛЕФИНАМИ

С. Г. АГБАЛЯН, Ж. А. ХАНАМИРЯН и А. О. НШАНЯН

Изучена реакция N-замещенных β-аминокротоновых эфиров с акрилонитрилом метилакрилатом и метилметакрилатом. Показано, что при кипячении β-аминокротоновых эфиров с метилакрилатом и метилметакрилатом образуются производные N-замещенных 3,4-дигидропиридонов.

Ранее нами было показано, что замещенные в 1-метильной группе 3,4-дигидроизохинолины в таутомерной енаминной форме взаимодействуют с метилакрилатом и амидом акриловой кислоты, образуя, наряду с продуктами присоединения по β-углероду енамина, также лактамы [1].

Поскольку 1-метил-3,4-дигидроизохинолин в таутомерной форме является енамином, имеющим атом водорода у β-углерода, мы решили на примере N-замещенных β-аминокротоновых эфиров, являющихся типичными вторичными енаминами, изучить их взаимодействие с электрофильными олефинами.

Аминокротоновые эфиры получены конденсацией ацетоуксусного эфира с аммиаком, метиламином и этиламином в водно-спиртовых растворах [2]. Реакция ацетоуксусного эфира с анилином и бензиламином проводилась без применения растворителей [3].

$$CH_3COCH_2COOC_2H_5 + RNH_2 \longrightarrow CH_3C = CHCOOC_2H_5$$

$$RNH \qquad I$$

$$R = H; CH_3; C_2H_5; C_4H_5; CH_3C_4H_5;$$

Цианэтилирование аминокротоновых эфиров проводилось в отсутствии каких-либо растворителей и катализаторов, при длительном кипячении аминокротоновых эфиров с акрилонитрилом. В этих условиях реакция не происходила в случае, когда R=H и C_6H_5 . Полученные результаты можно объяснить тем, что в случае электронодонорных заместителей у азота плотность электронов на нем возрастает, облегчая цианэтилирование по азоту. Поскольку реакция N-цианэтилирования является обратимой, облегчается и цианэтилирование по β -углероду. Образование продуктов цианэтилирования подтверждается данными элементарного анализа оснований и пикратов, а также ИК спектроскопии. В спектрах обнаружены частоты, характерные для NH (3240—3260 cm^{-1}) и CN (2220—2240 cm^{-1}) групп.

При длительном кипячении аминокротоновых эфиров с метилакрилатом в отсутствии катализаторов удалось получить циклические продукты—соответствующие N-алкил-6-метил-5-карбэтокси-3,4-дигидропиридоны-2:

$$I + CH_{2} = CHCOOCH_{3} \longrightarrow \begin{bmatrix} CH_{3}C = CCOOCH_{3} \\ RNH (CH_{2})_{2}COOCH_{3} \end{bmatrix} \longrightarrow C_{2}H_{3}OOC \longrightarrow CH_{3} \longrightarrow CH_{3}OH$$

R=H; CH3; C2H5; C2H5; CH2C6H5.

Полученные продукты не образуют солей, что свидетельствует об отсутствии основного азота. Синтез первого члена этого ряда (R=H) описан в литературе [4]. Температура плавления полученного нами 6-метил-5-карбэтокси-3,4-дигидропиридона-2 совпадает с литературными данными. В ИК спектрах найдены частоты, характерные для амидного и сложноэфирного карбонилов ($1650\ cm^{-1}$, $1720\ cm^{-1}$) [5]. Конденсация аминокротоновых эфиров с метилметакрилатом приводит к образованию циклических соединений лишь в некоторых случаях ($R=CH_3$; C_2H_5) и с низкими выходами:

При проведении реакции в растворителях образуются лишь продукты присоединения по β -углероду ($R=CH_3$),

Экспериментальная часть

Цианэтилирование β-аминокротоновых эфиров. 0,1 моля аминокротонового эфира кипятили с 6,9 г (0,12 моля) акрилонитрила в течение 18 часов. Реакционную смесь перегоняли в вакууме. Образовавшиеся нитрилы охарактеризованы в таблице 1.

Взаимодействие β-аминокротоновых эфиров с метилакрилатом. 0,1 моля аминокротонового эфира кипятили с 10,2 г (0,12 моля) метилакрилата в течение 20 часов. Реакционную смесь перегоняли в вакууме (см. табл. 2).

Взаимодействие β-аминокротоновых эфиров с метилметакрилатом. 0,1 моля аминокротонового эфира кипятили с 10,56 г (0,12 моля) метилметакрилата в течение 24 часов. К холодной реакционной смеси добавляли абсолютный эфир до полного осаждения заполимеризовавшегося метилметакрилата. Остаток после отгонки эфира перегоняли в вакууме (табл. 3).

Таблица 1

 $CH_3C = CCOOC_2H_5$ RNH $(CH_3)_2CN$

| | | | | Ан | а л | н з | 0/ | | | Анали | 3, ⁰ / ₀ |
|-------------------------------|--------|--------------------|---------|--------|---------|---------|---------|--------|----------------|---------|--------------------------------|
| | 0′0 | T | | C | F | 1 | | N | Т. пл. | 1 | 1 |
| R | Выход. | Т. кип., С/.и.и | найдено | вычис- | найдено | BLATIC- | найдено | вычис- | пикрата, °С | найдено | лено |
| CH ₃ | 56,15 | 146-148/2 | 60,93 | 61,22 | 8,31 | 8,16 | 14,22 | 14,28 | 185 | 16,31 | 16,47 |
| C ₃ H ₅ | 57,82 | 165/1 | 62,75 | 62,85 | 8,50 | 8,63 | 13,37 | 13,22 | 162—165 | 15,68 | 15,94 |
| C.H.CH, | 67,62 | 220 - 223/5 | 70,69 | 70,50 | 7,31 | 7,40 | 10,05 | 10,28 | 195 | 13,70 | 13,96 |

Таблица 2

| - | 3 | 3 3 | | | Ан | а л | н з, | % | |
|---|----------|-------------------|------------------------|---------|--------|---------|----------------|---------|--------|
| | % | _ | | | | 1 | 1 | P | 1 |
| R | Выход, ч | Т. кип., °С/мм | Т. пл., °С | найдено | вычис- | найдено | вычис- лено | найдено | вычис- |
| H* | 56,9 | 150—160/1 | 154—155 (из спирта) | 59,28 | 59,01 | 7,08 | 7,10 | 8,05 | 7,65 |
| CH ₃ | 34,16 | 190—195/6 | ~ -00 | 60,71 | 60,91 | 7,69 | 7,61 | 7,41 | 7,20 |
| C ₂ H ₅ | 50,80 | 187—198/7 | // - | 62,51 | 62,56 | 8,15 | 8,05 | 7,01 | 6,63 |
| C ₆ H ₅ | 36,24 | 205-210/3 | _ | 69,19 | 69,50 | 6,67 | 6,60 | 5,95 | 5,78 |
| C ₆ H ₅ CH ₂ | 52,61 | 200-210/3 | - 1 | 69,97 | 70,30 | 6,72 | 7,00 | 5,17 | 5,12 |

^{*} По литературным данным [5], т. пл. 154—156° (метанол).

Таблица 3

| | | | | | MI | S ^D | A | н а | Л | и з, | °/o | |
|-----------------|-------------|-----------------|------------------------------|------------------------------|---------|----------------|----------------|----------|---------|----------------|---------|----------------|
| | % | Т. кип., | | | 1 | НО | | <u> </u> | t | 1 | | 1 |
| R | Выход, | °C/MM | n _D ²⁰ | d ₄ ²⁰ | найдено | вычислено | найдено | вычис- | найдено | вычис- лено | найдено | вычис- лено |
| CH ₃ | 9,5 27,1 | 165/10 150/3 | 1,5020 1,4930 | 1,1135 1,0471 | | | 62,91 64,21 | | | | | |

Институт органической химни АН АрмССР

ԱՌԱՋՆԱՅԻՆ ԵՎ ԵՐԿՐՈՐԴԱՑԻՆ ԵՆԱՄԻՆՆԵՐԻ ՌԵԱԿՑԻԱՆԵՐ։

II. ԷլեԿՏՐՈՖԻԼ ՕԼԵՖԻՆՆԵՐԻ ՀԵՏ ԱՄԻՆԱԿՐՈՏՈՆԱՅԻՆ ԷՍԹԵՐՆԵՐԻ ՓՈԽԱԶԴԵՑՈՒԹՅԱՆ ՈՒՍՈՒՄՆԱՍԻՐՈՒԹՅՈՒՆ

U. A. UZPULSUL, J. U. HULUUPPSUL L U. O. LEULBUL

Udhnhnid

Տիպիկ երկրորդային ենամիններ՝ N-տեղակալված β-ամինակրոտոնաββուների էսβերների օրինակի վրա ուսումնասիրել ենջ էլեկտրոֆիլ ռեագենտների հետ նրանց ռեակցիան։ Ցույց ենջ տվել, որ β-ամինակրոտոնաββուների Լսβերները մեթիլակրիլատի և մեթիլմեթակրիլատի հետ եռացնելիս առաջանում են N-տեղակալված 3,4-պիհիդրոպիրիդոնների ածանցյայներ։

ЛИТЕРАТУРА

- 1. С. Г. Агбалян, Л. А. Нерсесян, А. В. Мушегян, Изв. АН АрмССР, ХН, 18, 205 (1965). С. Г. Агбалян, Ж. А. Ханамирян, А. О. Ншанян, Арм, хнм. ж. 20, 422 (1968).
- 2. P. C. Anderson, B. Staskun, J. Org. Chem., 30, 3033 (1965).
- 3. M. Conrad, O. Limpach, Ber., 20, 944 (1887).
- 4. N. F. Albertson, J. Am. Chem. Soc., 74, 3816 (1952).
- 5. F. Ramirez, A. P. Paul, J. Org. Chem., 19, 183 (1954).

XXI, № 7, 1968

УДК 541.69

ИССЛЕДОВАНИЯ В ОБЛАСТИ СИНТЕЗА ПРОИЗВОДНЫХ БЕНЗОДИОКСАНА

II. НЕКОТОРЫЕ АЛКИЛ-, БЕНЗИЛ-, И *п*-АЛКОКСИБЕНЗИЛ-ПИПЕРАЗИЛ-АМИДЫ И АМИНЫ РЯДА БЕНЗОДИОКСАНА

А. Л. МНДЖОЯН, В. Г. АФРИКЯН. М. Т. ГРИГОРЯН, Ю. Н. ШЕЙНКЕР, Р. А. АЛЕКСАНЯН, С. С. ВАСИЛЬЯН, А. А. КАЛДРИКЯН и И. А. ДЖАГАЦПАНЯН

С целью исследования биологических свойств синтезированы N-алкил-, бензили п-алкоксибензилпиперазиламиды 1,4-бензодноксан-2-карбоновой кислоты, которые восстановлены алюмогидридом лития в соответствующие амины. Растворимые соли аминоамидов и аминов этого ряда обладают кратковременным гипотензивным действием. В ряду аминоамидов вещества проявляют слабое симпатолитическое действие, повышающееся при переходе к аминам. Отдельные вещества как, например, N-пропил- и N-изопропилпиперазилпроизводные, снимают сокращения третьего века кошки в пределах 62—670/о, соответственно. Адренолитические свойства в ряду аминов также выражены сильнее и 2-(N-л-пропокси-, N-л-изопропоксибензилпиперазинометил)-1,4-бензодиоксаны снимают действие адреналина на веко на 1000/о в течение двух и более часов. Вещества почти лишены коронарорасширяющих и противосудорожных свойств.

С некоторых пор моно- и, в особенности, дизамещенные пиперазины симметричного и несимметричного строения, ввиду многообразия биологических свойств, привлекают к себе внимание исследователей.

Свен и Негел [1] описали ряд пиперазинометил-1,4-бензодиоксанов, обладающих симпатолитической и адренолитической активностью. Об аналогичных свойствах 1-фенилпиперазиламина этого ряда сообщили Шрайбман и Миллер [2].

Высокая адренолитическая активность этих веществ, сочетающих бензодиоксановую и пиперазиновую циклические системы, и наши исследования в области синтеза производных 1,4-бензодиоксана [3] и пиперазина [4] послужили основой для получения дизамещенных пиперазинов, в которых одним из заместителей является неизменяемый остаток 1,4-бензодиоксан-2-ил-метила, а второй—представляет собой алкил, аралкил и *п*-алкоксиаралкил остатки I:

В синтезе этих соединений мы исходили из моноформилпиперазина и алкил-, бензил-, п-алкоксибензилхлоридов. Соответствующие

дизамещенные пиперазины получались с выходом 65—86% теории (табл. 1). Исключение составил метилформилпиперазин, полученный методом Фуджи [5] из формилпиперазина, формалина и муравьиной кислоты.

Некоторые из этих алкилпиперазинов ранее получались иными путями [6]. Так, метил-, этил-, бутилпиперазины — из формилпиперазина и соответствующего альдегида в муравьиной кислоте. Из промежуточных веществ описаны также *п*-метоксибензилформил- [7] и *п*-метоксибензилпиперазины [8].

Отщеплением $10^{0}/_{0}$ -ной соляной кислотой формильной группы получались монозамещенные пиперазины (табл. 2), которые вводились в реакцию с метиловым эфиром 1,4-бензодиоксан-2-карбоновой кислоты в случае алкилпиперазинов в среде сухого метанола, а в случае бензил- и n-алкоксибензилпиперазинов — сухого толуола (табл. 3).

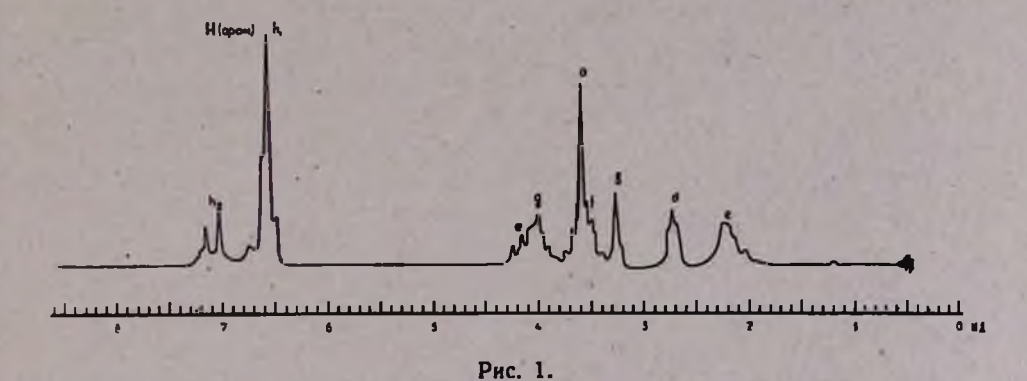
Синтез конечных продуктов через амиды был удобен с точки зрения промежуточных аминоамидов, позволяющих за счет второго азота пиперазинового ядра получить растворимые соли для исследования их биологических свойств.

Аминоамиды восстановлены алюмогидридом лития в соответствующие амины, выходы которых не превышали 70% теории. Такие выходы, сравнительно невысокие для метода восстановления алюмогидридом лития этого типа соединений, объясняются образованием, наряду с основным продуктом реакции, низкокипящей фракции, составляющей 20—25% веса продукта реакции. При подробном исследовании этой фракции на примере 2-(n-метокси-бензилпиперазинометил)-1,4-бензодиоксана данными анализа было установлено наличие углерода, водорода, азота и двух гидроксильных групп. Очевидно, образование гидроксильных групп связано с раскрытием бензодиоксанового кольца в 4-ом положении, с образованием одной из двух возможных структур II и III:

Хажакяном был снят ИК спектр этой фракции на приборе ИК-10 в виде пасты в вазелиновом масле. Гидроксильная группа дает широкое поглощение в области $3310~cm^{-1}$. Для бензольного

ядра наблюдяется специфическое поглощение в области 1590, 1490 и $3020~c.m^{-1}$. Эфирный кислород дает поглощение в области 1248 и $1270~c.m^{-1}$, что свидетельствует о раскрытии бензодиоксанового кольца.

Был снят также спектр ЯМР на ЯМР-спектрометре JNM-4H-100, с рабочей частотой 100 мгц в растворе четыреххлористого углерода. Внутренний стандарт—тетраметилсилан. Рассмотрение спектра (рис. 1) показывает, что в веществе отсутствуют сигналы в области 1,2—1,4 м. д., которые присущи группировке СН,СО-; следовательно, строение III исключается. Наблюдаемые в спектре сигналы вполне согласуются со строением II (буквами обозначены сигналы протонов).



Расщепление сигналов e в области 4,05—4,12 м. д., f в области 3,53—3,63 м. д. и g в области 3,9—4,0 м. д. относится к группировке СН—СН₂ОН. Оно обусловлено спин-спиновым взаимодействием, имеющим место для СН- и СН₂-групп, находящихся рядом, но не обладающих свободным вращением вокруг связи С—С. Очевидно, происходит некоторое закрепление конформации за счет водородной связи типа:

Поэтому, сигналы групп СН и СО $_2$ расщеплены на несколько линий (в случае СН разные константы взаимодействия с двумя протонами СН $_2$), а гидроксил также расщепляется за счет метиленовой группы. Сигналы a метильного радикала в метоксильном остатке, c, d метиленовых групп в пиперазиновом ядре и h_1 , h_2 ароматических колец занимают в спектре естественные положения.

Таким образом, спектральные данные ЯМР и ИК, отвергая строение III, свидетельствуют в пользу строения II, подтверждая предположение о раскрытии бензодиоксанового кольца и образовании производных пирокатехина.

Аналогичная реакция имеет место при восстановлении всех аминоамидов, вследствие чего образуются производные пирокатехина, связанные с остатком молекулы эфирной связью. По-видимому, этой побочной реакцией и следует объяснить наличие легко кипящей фракции в продуктах восстановления аминоамидов 1,4-бензодиоксан-2-карбоновой кислоты.

С целью исследования биологических свойств аминоамидов и аминов получены их растворимые соли, хлоргидраты и йодалкилаты. Анализ этих солей на галоид показал, что в ряду аминоамидов алкил- и бензилпиперазилпроизводные образуют соль за счет одного азота пиперазинового ядра, тогда как п-алкоксибензилпиперазиламиды дают дихлоргидраты и дийодалкилаты. Очевидно, в этом случае также происходит расщепление амидной связи с выделением п-алкоксибензилпиперазинов, которые и образуют двойные соли. Исследование солей подтвердило, что под действием эфирного раствора хлористого водорода и алкилйодидов в абсолютном ацетоне амиды расщепляются, выделяя исходную кислоту и п-алкоксибензилпиперазины.

Последние, образуя двойные соли за счет двух азотов пиперазинового кольца, осаждаются в ацетоне. После фильтрования солей и отгонки растворителя выделяется вещество, идентифицированное как 1,4-бензодиоксан-2-карбоновая кислота. Для подтверждения этого были получены соли всех промежуточных п-алкоксибензилпиперазинов, температуры плавления которых оказались идентичными температурам плавления солей, полученных из соответствующих аминоамидов. Смеси солей не давали депрессии температур плавления. Анализы на хлор и йод также совпадают с вычисленными данными. Кроме того, разложение хлоргидрата, полученного из п-метоксибензилпиперазиламида 1,4-бензодиоксан-2-карбоновой кислоты, дает основание с температурой плавления 105—107°, тогда как сам амид плавится при 168—169°. Эта температура плавления совпадает с т. пл. п-метоксибензилпиперазина. Аналогичное положение наблюдается в случае остальных производных этого ряда.

С органическими кислотами эти соединения образуют стойкие соли. Получены щавелевокислая и виннокислая соли *п*-метоксибензилпиперазиламида 1,4-бензодиоксан-2-карбоновой кислоты, имеющие четкие температуры плавления.

В экспериментальной части описаны общие для всех соединений способы получения по стадиям.

Фармакологические свойства растворимых солей аминоамидов и аминов исследовались на кровяном давлении и дыхании наркотизированных кошек. О симпатолических и адренолитических свойствах препаратов судили по их действию на сокращение третьего века, вызванное электрическим раздражением постганглионарного

волокна симпатического нерва, а также внутривенным введением адреналина. При даче препаратов в дозах 1—20 мг/кг веса животного наблюдается кратковременное попижение кровяного давления на 20—70 мм рт. ст. и некоторое учащение дыхания. При этом йодалкилаты аминов, по сравнению с соответствующими солями аминовимдов, обладают более сильным гипотензивным действием.

Йодалкилаты аминоамидов в подавляющем большинстве своем обладают адренолитическим действием, уменьшая реакцию третьего века на 40—60%. Отдельные соединения, как например, йодэтилат-N-изопропилпиперазиламида 1,4-бензодиоксан-2карбоновой кислоты, полностью снимают сокращение третьего века, вызванное адреналином. Некоторые соединения этого ряда проявляют слабое симпатолитическое действие, уменьшая сокращение третьего века, вызванное раздражением постганглионарного волокна симпатического нерва, в пределах 24—26%.

Примерно такой же симпатолитической активностью обладают йодалкилаты и некоторые хлорангидраты аминов, снимающие сокращения третьего века в пределах до $40^{\circ}/_{o}$. В этой группе встречаются отдельные вещества, как йодметилаты N-пропил- и N-изопропилироизводных, которые действуют в пределах 62—67°/_o. Состветственно, адренолитические свойства препаратов этого ряда более сильно выражены. Так N-пропил- и N-изопропил-, а также N-л-пропокси- и N-л-изопропоксибензилпиперазилироизводные в виде йодметилатов и хлоргидратов снимают эффект адреналина на $100^{\circ}/_{o}$ в течение двух и более часов. Таким образом, переход от аминоамидов к соответствующим аминам повышает адренолитические свойства.

Было также исследовано влияние обеих групп препаратов на кровоснабжение мнокарда по методу Кавериной. Установлено, что N-замещенные пиперазиламиды не оказывают заметного влияния на объемную скорость крови, оттекающей из коронарного сипуса, за исключением йодэтилата N-изопропилпиперазиламида, который в дозе 3 жг/кг увеличивает коронарный кровоток на 23° в течение 45 минут. Амины лишены коронарорасширяющих свойств.

Противосудорожное действие соединений изучалось в опытах на белых мышах. В основном все соединения не обладают противосудорожным действием, не изменяя интенсивность судорог, вызванных коразолом, никотином и ареколином. В отношении судорог, вызванных электрическим током, отдельные представители, как например, N-изопропил- и N-изобутилпиперазилпроизводные, оказывают некоторое противосудорожное действие в дозе 25 мг/кг, снимая фазу экстензии и ослабление клонических судорог, наступающих вслед за электрическим раздражением.

Экспериментальная часть

1-Алкил- и 1-п-алкоксибензилпиперазины. Все алкил- и п-алкоксибензилпиперазины получены описанным ранее для 1-бензилпиперазина [4] способом—взаимодействием формилпиперазина с соответствующим галогенидом, с последующим отщеплением $10^{0}/_{0}$ -ной соляной кислотой формильной группы [4] (табл. 2).

1-Метил-4-формилпиперазин [5]. Смесь, состоящую из 22,8 г формилпиперазина, 20,0 г 33 0 /₀ формалина и 12,8 г 80 0 /₀-ной муравьиной кислоты кипятят 30 минут при 90 $^{\circ}$ и перегоняют. Собирают фракцию, кипящую при 102—104 $^{\circ}$ /8 мм. Выход 22,0 г (86,2 0 /₀) (табл. 1).

1-Алкил-, бензил- и п-алкоксибензилпиперазиламиды 1,4-бензодиоксан-2-карбоновой кислоты. Кипятят смесь 0,1 моля метилового эфира 1,4-бензодиоксан-2-карбоновой кислоты [3] и 0,11 моля 1-алкил-, бензил- и п-алкоксибензилпиперазина в абсолютном метаноле для алкил- и абсолютном толуоле для бензил- и п-алкоксибензилпиперазинов в течение 8—10 часов. Отгоняют растворитель, и

| | | | - |
|--|------------|--------------------------------|---------------|
| R | Выход, 0/0 | Т. кип., "С _/ мм | Т. пл., °C |
| CH ₃ | 86,2 | 94—95/3 | |
| C ₂ H ₅ | 75,0 | 112-113/3 | _ |
| C ₃ H ₇ | 71,8 | 127-128/3 | Ξ |
| <i>u30</i> -C₃H₁ | 71,0 | 109—110/3 | - |
| C ₄ H ₉ | 80,0 | 120-121/3 | _ |
| <i>изо</i> -С ₄ Н ₉ | 74,3 | 119—120/3 | _ |
| C ₆ H ₅ CH ₂ | 72,0 | 183—185/3 | 63-64* |
| n-CH ₃ OC ₆ H ₄ CH ₂ | 78,6 | 209—212/3 | _ |
| n-C ₂ H ₅ OC ₆ H ₄ CH ₂ | 74,3 | 207—210/3 | 76—78* |

81,0

204-206/3

46-47*

n-C₃H₇OC₆H₄CH₂

Таблица 1

RN NCHO

| | | | M | R _D | Анализ, ⁰ / ₀ | | | | |
|---|------------------------------|------------------------------|---------|----------------|-------------------------------------|--------|--|--|--|
| Молекулярная | | | | € | N | | | | |
| формула | d ₄ ²⁰ | п _D ²⁰ | найдено | вычислено | найдено | вычис- | | | |
| C ₆ H ₁₂ N ₂ O | 1,0106 | 1,4873 | 35,35 | 35,47 | 21,70 | 21,85 | | | |
| C7H14N2O | 1,0225 | 1,4912 | 40,08 | 40,69 | 20,00 | 19,70 | | | |
| C ₈ H ₁₆ N ₂ O | 1,0022 | 1,4898 | 45,05 | 44,70 | 17,63 | 17,93 | | | |
| C ₈ H ₁₆ N ₂ O | 1,0093 | 1,4883 | 44,61 | 44,70 | 18,15 | 17,93 | | | |
| C,H18N2O | 0,9805 | 1,4850 | 49,78 | 49,35 | 16,70 | 16,46 | | | |
| C ₉ H ₁₈ N ₂ O | 0,9942 | 1,4859 | 48.56 | 65,74 | 16,54 | 16,40 | | | |
| C ₁₂ H ₁₆ N ₂ O | | _ | _ | - | 13,80 | 13,7 | | | |
| C ₁₃ H ₁₈ N ₂ O ₂ | 1,1403 | 1,5578 | 65,34 | 49,35 | 12,26 | 11,9 | | | |
| C14H20N2O2 | - | _ | _ | - | 11,48 | 11,2 | | | |
| C15H22N2O2 | - | _ | _ | | 10,88 | 10,6 | | | |
| C15H22N2O3 | 1,1100 | 1,4865 | 77,85 | 78,24 | 10,70 | 10,6 | | | |
| C ₁₆ H ₂₄ N ₂ O ₂ | _ | - | | | 10,28 | 10,1 | | | |
| C ₁₆ H ₂₄ N ₂ O ₂ | - | - | - | - | 9,94 | 10,1 | | | |

• Отгон кристаллизуется.

| | n-u3o-C4H9OC6H4CH3 | n-C4HOC6H4CH2 | n-u3o-C3H7OC6H4CH2 | n-C ₃ H ₇ OC ₆ H ₄ CH ₂ | n-C ₃ H ₅ OC ₆ H ₄ CH ₂ | n-CH3OC6H4CH2 | C ₆ H ₅ CH ₂ | u30-C4H9 | C ₄ H ₉ | изо-С ₃ Н ₇ | C ₃ C ₇ | C ₂ H ₅ | CH ₃ | Z | |
|---|--------------------|---------------|--------------------|--|--|---------------|---|----------|---|-----------------------------------|-------------------------------|---|-----------------|-------------------------|--|
| | 69,1 | 65,0 | 63,3 | 70,4 | 71,0 | 68,0 | 82,0 | 76,0 | 67,0 | 60,0 | 68,0 | 60,0 | 75,0 | Выход 0/0 | |
| | 161—163/5 | 189—190/5 | 172—174/5 | 168—169/5 | 162-163/5 | 158—160/5 | 153—154/5 | 94—95/30 | 104-105/30 | 74-75/30 | 83-84/30 | 72-73/30 | 128-130/680 | Т. кип., °С/м.и | |
| | 95—96* | 81-83* | 1 | 1 | 1 | 105-107 | 1 | 1 | 1 | 1 | 1 | 1 | 1 | Т. пл., | |
| | C15H24N2O | C15H24N2O | C14H22N2O | C14H22N2O | C13H20N2O | C12H18N2O | C11H16N2 | (8H18N2 | C ₈ H ₁₈ N ₂ | C7H16N2 | C7H16N2 | C ₆ H ₁₄ N ₂ | C5H12N2 | Молекулярная формула | |
| | 1 | 1 | 1,0294 | 1,0294 | 1,0346 | 1,0629 | 1,0348 | 0,8826 | 0,8815 | 0,9141 | 0,8914 | 0,8989 | 0,9085 | d ²⁰ | |
| | 1 | 1 | 1,5331 | 1,5331 | 1,5406 | 1,5511 | 1,5480 | 1,4621 | 1,4672 | 1,4728 | 1,4703 | 1,4701 | 1,4661 | n 20 D | |
| - | Ì | 1 | 70,66 | 70,66 | 66,87 | 61,43 | 54,09 | 44,10 | 43,78 | 41,12 | 40,15 | 35,45 | 30,83 | найдено | |
| | 1 | + | 70,33 | 70,33 | 67,36 | 61,09 | 54,93 | 43,01 | 43,01 | 40,08 | 40 08 | 35,46 | 30, 85 | вычислено | |
| | 11,43 | 11,06 | 11,80 | 12,28 | 13,00 | 13,68 | 15,71 | 19,60 | 19,46 | 22,00 | 21,71 | 24,80 | 27,68 | найдено N | |
| | 11,28 | 11,28 | 11,99 | 11,99 | 12,72 | 13,57 | 15,90 | 19,70 | 19,70 | 21,85 | 21,85 | 21,55 | 27, 98 | вычис- | |



Таблица 2

кристаллический осадок перекристаллизовывают из петролейного эфира

(табл. 3).

Хлоргидраты 1-алкил-, бензилпиперазиламидов 1,4-бензодиоксан-2-карбоновой кислоты. К раствору аминоамида в абсолютном ацетоне при охлаждении и перемешивании приливают эфирный раствор хлористого водорода до слабо-кислой реакции на лакмус. Выделившийся хлоргидрат отфильтровывают и промывают абсолютным эфиром.

Аналогичным образом получают хлористоводородные соли N-n-алкоксибензилпиперазиламидов 1,4-бензодиоксан-2-карбоновой кислоты. Исследование хлоргидратов на примере n-метоксибензилпроизводного показало, что выделившийся осадок плавится при $260-262^{\circ}$ и представляет собой дихлоргидрат n-метоксибензилпиперазина. Смешение проб этой соли с образцом, полученным из промежуточного n-метоксибензилпиперазина, плавящимся при той же температуре, не дает депрессии. Найдено методом титрации n0. C1 — n0. Методом сжигания n0. C1 — n0. Вычислено n0. C1 — n0.

После выделения дихлоргидрата и отгонки растворителя осаждается вещество с т. пл, $119-120^\circ$, идентифицированное как 1,4-бензодиоксан-2-карбоновая кислота. Смешанная проба кислоты с этим веществом также не дает депрессии, температуры плавления ($121-122^\circ$).

Все остальные N-n-алкоксибензилпиперазиламиды ведут себя аналогичным образом, расщепляясь на N-n-алкоксибензилпиперазины и исходную кислоту. Смесь солей с соответствующими дихлоргидратами, полученными непосредственно из исходных N-n-алкоксибензилпиперазинов, депрессии температуры плавления не дает.

Йодалкилаты: К раствору аминоамида в абсолютном ацетоне приливают йодистые метил или этил (1:1,4). Четвертичные соли 1-алкил- и -бензилпиперазиламидов при стоянии осаждаются; их отфильтровывают и тщательно промывают эфиром. *п*-Алкоксибензиламиды ведут себя так, как было описано при получении соответствующих хлоргидратов. Вследствие расщепления амидной связи осаждаются дийодалкилаты *п*-алкоксибензилпиперазинов, температуры плавления которых совпадают с соответствующими солями, полученными непосредственно из *п*-алкоксибензилпиперазинов. Смешение проб однозначных солей не дает депрессии. Для дийодметилата *п*-метоксибензилпиперазина найдено: ⁰/₀ J --51,54. С₁₄ Н₂₄ N₂ J₂ О. Вычислено: ⁰/₀ — 51,78.

2-(N-Алкил-, бензил-, п-алкоксибензилпиперазил)-1,4-бензодиоксаны. В круглодонную колбу помещают 0,2 моля алюмогидрида
лития в 300 мл абсолютного эфира и при перемешивании приливают
эфирный раствор 0,1 моля N-алкил-. N-бензилпиперазиламида 1,4-бензодиоксан-2-каробновой кислоты. N-п-Алкоксибензилпиперазиламиды,
ввиду плохой растворимости, вносят в реакционную колбу небольшими порциями в виде мелко растертого порошка. По окончании прибавления смесь кипятят на водяной бане в течение 10—12 часов и
после охлаждения разлагают небольшим количеством воды. Отфиль-

| | | 117290 | |
|--|------------|---------------|---|
| R | Выход, 0/0 | Т. пл., °С | Молекулярная формула |
| CH ₃ | 70,0 | 96—97 | C ₁₄ H ₁₈ N ₂ O ₃ |
| C ₂ H ₅ | 64,3 | 84-85 | C ₁₅ H ₂₀ N ₂ O ₃ |
| C ₃ H ₇ | 75,0 | _* | C ₁₅ H ₂₂ N ₂ O ₃ |
| изо-С ₃ Н ₇ | 68,0 | 80—81 | C ₁₆ H ₂₂ N ₂ O ₃ |
| C ₄ H ₉ | 66,0 | 87-89 | C ₁₇ H ₂₄ N ₂ O ₃ |
| изо-С4Н9 | 70,0 | 121-122 | C17H24N2O3 |
| C ₆ H ₅ CH ₂ | 71,0 | 160161 | C ₂₀ H ₂₂ N ₂ O ₃ |
| n-CH ₃ OC ₆ H ₄ CH ₂ | 73,5 | 168—169 | C21H24N2O4 |
| n-C ₂ H ₅ OC ₆ H ₄ CH ₂ | 69,8 | 173—174 | C,,H,,N,O, |

65,8

65,1

70,5

72,3

n-C3H7OC4H4CH2

n-u30-C3H7OC6H4CH2

n-u3o-C4H9OC6H4CH2

n-C4H9C6H4CH2

175-176

170-171

159-160

165-167

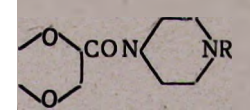
C23H28N2O4

C23H28N2O4

C34H30N2O4

C24H30N2O4

XX.



| | Ан | а л | н з, | 0/0 | | Т. пл. солей, °С | | | | | | |
|---------|--------|---------|--------|---------|--------|-------------------|-------------------|--------------------|--|--|--|--|
| | | ŀ | 1 | | N | - | | THE REAL PROPERTY. | | | | |
| найдено | вычис- | напдено | вычис- | найдено | вычис- | хлоргид- ратов | подмети- латов | йодэти- латов | | | | |
| 64,30 | 64,10 | 6,67 | 6,91 | 10,95 | 10,68 | 283—284 | 154—155 | 199—200 | | | | |
| 65,02 | 65,20 | 7,60 | 7,29 | 10,37 | 10,13 | 241-242 | 198-199 | 217-218 | | | | |
| 66,36 | 66,19 | 7,51 | 7,63 | 9,41 | 9,65 | 216—217 | _ | _ | | | | |
| 66,48 | 66,19 | 7,82 | 7,63 | 9,38 | 9,65 | 239 - 241 | 204-206 | 190-191 | | | | |
| 67,40 | 67,10 | 8,11 | 7,95 | 9,32 | 9,20 | 230-232 | 155—156 | 171-172 | | | | |
| 67,07 | 67,10 | 7,76 | 7,95 | 8,94 | 9,20 | 257—258 | 201 202 | _ | | | | |
| 71,27 | 70,98 | 6,64 | 6,55 | 8,54 | 8,27 | 236—237 | 263-264 | - | | | | |
| 68,06 | 68,04 | 5,80 | 6,05 | 7,42 | 7,62 | _ | | _ | | | | |
| 69,31 | 69,07 | 6,98 | 6,85 | 7,16 | 7,32 | _ | | | | | | |
| 69,39 | 69,67 | 6,98 | 7,11 | 6,96 | 7,07 | | · - | - | | | | |
| 69,39 | 69,67 | 6,90 | 7,11 | 6,86 | 7,07 | - | | - | | | | |
| 70,54 | 70,23 | 7,50 | 7,36 | 6,80 | 6,82 | | | - | | | | |
| 70,36 | 70,23 | 7,41 | 7,36 | 6,96 | 6,82 | _ | _ | _ | | | | |
| | | = | | | 12 | | | | | | | |

| | 10 | - 1 | - | 5 15 | P 1 | | | ² D □ | A | | | Анализ, ⁰ / ₀ | | | | Т. пл. солей, °С | | |
|--|--------|---------------------------|--------|---|------------------------------|-----------------|---------|------------------|---------|----------------|---------|-------------------------------------|--------|----------|-----------|------------------|---------|--|
| | 0/0 | | m1 -4 | | - | - 3 | 1 | | C | | Н | | N | | | | | |
| R | ход, о | Т. кип., °С/ <i>мж</i> | °С | Молекулярная формула | d ₄ ²⁰ | п ²⁰ | оне | вычислено | она | ٥ | эно | c- | OHO | ن | хлоргид- | | йодэти- | |
| E PULL PARTY | 3 | 140 | | | 1 | 2 150 | іайдено | или | тайдено | вычис- лено | найдено | вычис- лено | айдено | вычис- | ратов | латов | латов | |
| | m | | - 7 | 45 6. | * | | E | m | H | 8 5 | H | B | H | F | | | | |
| CH ₃ | 69,7 | 158—160/2 | -E-P | C ₁₄ H ₂₀ N ₂ O ₂ | 1,1022 | 1,5419 | 70,87 | 70.18 | 67,49 | 67,72 | 8,25 | 8,11 | 11,30 | 11,28 | 262—263 | 163—184 | _ | |
| C ₂ H ₅ | 67,4 | 172—173/3 | | C15H22N2O2 | 1,0869 | 1,5388 | 75,56 | 74,80 | 68,84 | 68,68 | 8,54 | 8,45 | 11,00 | 10,68 | 256-258 | 138-139 | 196—197 | |
| C ₃ H ₇ | 68,0 | 183—184/2 | - | C16H24N2O2 | 1,0748 | 1,5360 | 80,18 | 79,41 | 69,86 | 69,55 | 8,86 | 8,75 | 10,40 | 10,13 | 263—264 | 190-191 | 131—132 | |
| <i>изо</i> -С₃Н₁ | 57.4 | 179—180/2 | _ | C16H24N2O2 | 1,0776 | 1,5334 | 78,88 | 79,41 | 69,73 | 69,55 | 8,77 | 8,75 | 9,95 | 10,13 | 270—271 | 182—183 | 158159 | |
| C ₄ H ₉ | 61,9 | 185—187/2 | - | C17H26N2O2 | 1,0567 | 1,5282 | 84,72 | 84,03 | 70,15 | 70,31 | 8,93 | 9,02 | 9,36 | 9,64 | 258-259 | 177 - 178 | 157—158 | |
| изо-С,Н, | 61,0 | 180—182/2 | _ | C17H26N2O2 | 1,1002 | 1,5229 | 83,15 | 84,03 | 70,50 | 70,31 | 9,19 | 9,02 | 9,68 | 9,64 | 262-263 | 185—186 | | |
| C ₆ H ₅ CH ₂ | 68,7 | 224 - 225/2 | _ | C ₂₀ H ₂₄ N ₂ O ₃ | _ | _ | - | - | 74,28 | 74,05 | 7,18 | 7,45 | 8,50 | 8,63 | 259 - 260 | 173—174 | 118-119 | |
| n-CH ₃ OC ₆ H ₄ CH ₃ | 62,0 | 240-242/2 | 83-84* | C21H26N2O, | - | _ | - | - | 71,00 | 71,17 | 7,38 | 7,39 | 7,91 | 7,90 | 260-261 | 149150 | - | |
| $n \cdot C_3 H_5 O C_6 H_4 C H_2$ | 67,0 | 261-262/2 | 54-56* | C22H28N3O3 | * | | - | - | 71,6 | 71,72 | 7,36 | 7,66 | 7,80 | 7,60 | 250-251 | 122-123 | | |
| n-C ₃ H ₇ OC ₆ H ₄ CH ₃ | 54,0 | 266-267/2 | _** | C ₃₃ H ₃₀ N ₂ O ₃ | ! - | - | _ | - | _ | | _ | | | _ | 237—238 | | | |
| n-uso-C ₃ H ₁ OC ₆ H ₄ CH ₂ | 59,5 | 257-258/2 | 46-47* | C23H30N2O3 | | | | - | 72,0 | 72,22 | 7,5 | 7,90 | 7,39 | 7,32 | 245 -246 | 158159 | | |
| n-C ₄ H ₉ OC ₆ H ₄ CH ₂ | 58,5 | 275-276/2 | 41-42 | 200 | _ | _ | - | - | | | | | | | 248-249 | | | |
| n-u30-C4H9OC6H4CH2 | 59,0 | 270-271/2 | - | C24H32N2O3 | - | - | - | - | | | | | | | 152—153 | | | |
| | 100 | 1 - | | 1 - 1 - 1 - 1 | | ı | 1 | | 1 | | l | - | 1 | 1 | | | - | |

^{*} Отгон кристаллизуется. ** Тягучие масла, поэтому определить d_4^{20} и n_D^{20} не удалось.

тровывают, осадок промывают эфиром, эфирный раствор высушивают над безводным сульфатом натрия, отгоняют растворитель, и остаток перегоняют в вакууме.

При перегонке отделяют начальную фракцию, для одной из которых (вещество строения II) приводится элементарный анализ (табл. 4). Найдено 0 /₀: С 66,02, Н 7,64, N 7,62, ОН 11,40.

Хлоргидраты и йодалкилаты аминов получают по прописи, данной для аминоамидов. С $_{21}$ Н $_{26}$ N $_2$ O $_5$. Вычислено 0 / $_{0}$: С 65,25, Н 6,77, N 7,25, OII 8,80.

Щавелевокислая соль п-метоксибензилпиперазиламида 1,4-бензодиоксан-2-карбоновой кислоты. Эквимолекулярные количества аминоамида и безводной щавелевой кислоты в абсолютном спирте образуют соль, которая осаждается при стоянии. Т. пл. 221—222°. Найдено ⁰/₀: N 6,20. С₂, Н₂, № 0,20 Вычислено ⁰/₀: N 6,11.

Виннокислая соль п-метоксибензилпиперазил амида 1,4-бензодиоксан-2-карбоновой кислоты получена аналогичным образом; т. пл. 90—91°.

Институт тонкой органической химии АН АрмССР

Поступило 12 VII 1967

ՀԵՏԱԶՈՏՈՒԹՅՈՒՆՆԵՐ ԲԵՆԶՈԴԻՕՔՍԱՆԻ ԱԾԱՆՅՅԱԼՆԵՐԻ ՍԻՆԹԵԶԻ ԲՆԱԳԱՎԱՌՈՒՄ։

II. የԵՆԶՈԴԻՕՔՍԱՆԻ ՇԱՐՔԻ ՄԻ ՔԱՆԻ ԱԼԿԻԼ-, ԲԵՆԶԻԼ- ԵՎ Պ-ԱԼԿՕՔՍԻԲԵՆԶԻԼՊԻՊԵՐԱԶԻԼ- ԱՄԻԴՆԵՐ ԵՎ ԱՄԻՆՆԵՐ

Ա. Լ. ՄՆՋՈՑԱՆ, Վ. Գ. ԱՖՐԻԿՑԱՆ, Մ. Ք. ԳՐԻԳՈՐՑԱՆ, ՑՈՒ. Ն. ՇԵՑՆԿԵՐ, Ռ. Ա. ԱԼԵՔՍԱՆՑԱՆ, Մ. Ո. ՎԱՍԻԼՑԱՆ, Հ. Հ. ԿԱԼԳՐԻԿՑԱՆ և Ի. Ա. ՋՐԱՂԱՑՊԱՆՑԱՆ

Udhnhnid

Կենսաբանական հատկությունների ուսումնասիրության նպատակով սինթեզվել են 1,4-բենզոդիօքսան-2-կարբոնաթթվի N-ալկիլ,- բենզիլ- և պ-ալկօքսիբենզիլպիպերազիլամիդներ և համապատասխան ամիններ։ Ամինաամիդները սինթեզվել են 1,4-բենզոդիօքսանկարբոնաթթվի մեթիլէսթերի հետ մոնոտեղակալված N-ալկիլ-, բենզիլ- և պ-ալկօքսիբենզիլպիպերազինների փոխազդմամբ, անջուր միջավայրում՝ N-ալկիլպիպերազինների դեպքում և անջուր տոլուռլում՝ N-բենզիլ և պ-ալկօքսիբենզիլպիպերազինների դեպքում ։
Ստացված ամինաամիդները լիթիումի ալյումինահիդրիդի միջոցով վերականգնված են համապատասխան ամինների։ Ամինաամիդներից և ամիններից
սինթեզվել են նրանց քլորաջրածնական աղերը, յոդմեթիլատները և լոդէթիլատները։ Ստացված լուծելի աղերի ֆարմակոլոգիական ուսումնասիրությունը
ցույց է տվել, որ նրանք ունեն կարճատև հիպոտենսիվ հատկություն։ Ամինաամիդները ցուցաբերում են թույլ արտահայտված սիմպատոլիտիկ հատկություն, որը համապատասխան ամինների շարքում ուժեղանում է։ Այդ շարքի

առանձին միացություններ, օրինակ, N-պրոպիլ- և N-իզոպրոպիլպիպերացիլ ահղակալվածները 62-67%-ով վերացնում են երրորդ կոպի կծկումը։ Ամինների ադրենալիտիկ հատկությունները նույնպես ավելի ուժեղ են արտահայտված։ Օրինակ, N-պրոպօքսի- և N-իզոպրոպօքսիպիպերազիլ-1,4-րենզոդիօքսան-2-իլմենիլամինները 100%-ով երկու և ավելի ժամով վերացնում են ադրենալինի ազդեցությունը ալքի բիբի վրա։ Սինթեզված միացությունները համարյա չունեն կորոնար անոթները՝ լայնացնող և հակացնցումային Հատկություններ

ЛИТЕРАТУРА

1. A. P. Swain, S. Naegel, J. Am. Chem. Soc., 76, 5091 (1954).

2, M. Schreibman, C. E. Miller, W. H. Shelver, P. Vacik, J. Pharm. Sci., 53, (8), 985 (1964) [C. A., 61, 14665e (1965)].

3. А. Л. Миджоян, В. Г. Африкян, Л. З. Казарян, С. Х. Геворкян, Н. Е. Акопян. Л. Х. Хечумян. Изв. АН АрмССР, ХН, 18, 297 (1965).

4. А. Л. Миджоян, В. Г. Африкян, М. Т. Григорян, Г. Р. Акопян, С. Н. Асратян. Н. Е. Акопян, Арм. хим. ж., 20, 289 (1967).

5. Японский пат., 5228 (54) 1955 [С. А., 50, Р 6521 (1956)].

6. E. G. Feldman, W. O. Foye, J. Org. Chem., 22, 713 (1957); T. Sasaki, J. Sci. Research. Inst. Pract. Life, Kyoto [C. A., 53, 7191e f (1959)].

7. Английский патент, 748812 от 9/V 1956 [С. А., 51, 1308 (1957)].

8, H. G. Morren, S. Trolin, Bull. Soc. chim. Belg., 60, 282 (1951) [C. A., 46, 866]c (1952)].

XXI, № 7, 1968

химическая технология

УДК 541.183.03+553.61

ИЗУЧЕНИЕ АДСОРБЦИОННЫХ СВОЙСТВ АВАНСКОЙ И НОЕМБЕРЯНСКОЙ ГЛИН И ПРИМЕНЕНИЕ ИХ ДЛЯ РЕГЕНЕРАЦИИ ОТРАБОТАННОГО ТРАНСФОР-МАТОРНОГО МАСЛА

М. А. САРКИСЯН и Ф. Г. ПАЯН

Исследована адсорбционная способность глин аванского и ноемберянского месторождений Армянской ССР, а также образцов этих глин, активированных серной и соляной кислотами.

На территории Армении имеются месторождения и выходы отбеливающих глин.

Одним из крупных считается месторождение Ноемберянского района, первые сообщения о котором относятся к тридцатым годам [1]. Тем не менее, Ноемберянское месторождение до сих пор детально не разведано, а адсорбционные свойства глин мало изучены.

За последние годы, в связи с разработкой Аванского месторождения поваренной соли обнаружены пласты глин, залегающих совместно с солью и содержащих значительное количество, по нашим определениям до 17%, NaCl. После отмывания соли глина выбрасывается как отход.

В настоящей работе мы задались целью изучить адсорбционные свойства ноемберянских и аванских глин, которые, по некоторым предварительным данным, можно отнести к типу бентонитовых.

Поскольку данное изучение носит предварительный характер, мы использовали по одной усредненной пробе глин ноемберянского и аванского месторождений, которые испытывались как в природном, так и в активированном виде.

Одним из наглядных показателей адсорбционной активности отбеливающих глин считается их способность поглощать высокомолекулярные краски из водных растворов [2]. Для этой цели обычно берется метиленовая синь (МС), которой мы пользовались. Необходимо было выяснить следующие вопросы:

1. Влияние условий активирования на адсорбционные свойства глин, для чего испытуемые глины активировались серной и соляной кислотами.

Серная кислота бралась в количестве $40^{\circ}/_{\circ}$ от веса глины, считая на моногидрат. Обе глины активировались растворами серной кислоты с начальной концентрацией 20, 30 и $40^{\circ}/_{\circ}$ и временем активации 2, 4 и 6 часов для каждой концентрации.

Соляная кислота бралась в количестве $20^{\circ}/_{\circ}$ от веса глины (из расчета $100^{\circ}/_{\circ}$ HCI), в виде $10^{\circ}/_{\circ}$ -ного водного раствора и продолжительностью активации 1, 2 и 4 часа.

2. Для выяснения зависимости адсорбции МС от концентрации и объема раствора последней, а также от времени контакта с адсорбентом, брались 0,1 и 0,2% - ные растворы МС, взятые в количестве 15, 20

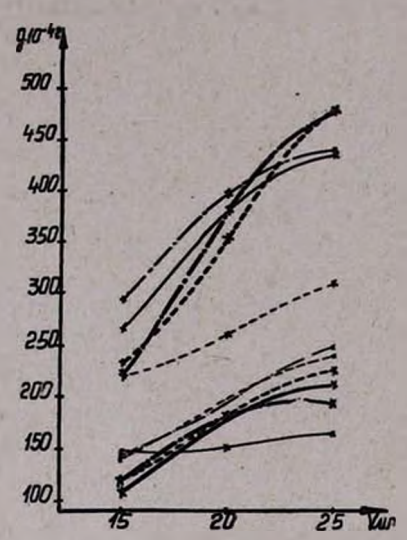


Рис. 1. Тонкие линии — аванская, толстые линии—ноемберянская глина. ——— время контактирования с МС 10 минут; — · — — 20 минут; — · — — 30 минут.

Кривая для ноемберянской глины с продолжительностью контактирования с МС равной 10 минут совпадает с кривой для аванской глины с временем контактирования 10 минут на протяжении от 15 до 20 мл, и с ноемберянской, контактированной 20 минут, на протяжении от 20 до 25 мл.

и 25 мл на 1 г глины, с проведением контакта раствора с твердой фазой в течение 10, 20 и 30 минут.

Опыты проводились в конических колбах, куда помещался 1 г глины, добавлялся соответствующий объем раствора МС. Содержимое колбы встряхивалось на механической качалке в течение 10, 20 или 30 минут, после чего оставлялось до полного отстаивания. Из осветленного слоя отбиралось 10 мл раствора, в котором остаток краски определялся колориметрированием.

Адсорбционная активность природных глин к МС показана на рисунке.

Приведенные кривые показывают, что из 0,2% ного раствора МС и при объеме 25 мл краски поглощается больше, чем при меньшем содержании МС в растворе. Это объясняется тем, что поверхность адсорбента неровная и при большем содержании краски, вероятность проникновения вглубь адсорбента, т. е. вероятность адсорбции увеличивается. Время контактирования сравнительно мало влияет на погло-

тительную способность глин. Ноемберянская природная глина поглощает МС лучше из концентрированных растворов и несколько хуже чем Аванская, если в исходном растворе меньше МС.

Интересные результаты получены при определении влияния активирования на адсорбционную активность глин. Как и следовало ожидать, активирование значительно повышает способность глин поглощать МС, причем тем выше, чем больше краски в исходном растворе. Время контактирования существенного влияния не оказывает.

В таблице 1 приведены данные, показывающие влияние природы кислоты, исходной концентрации ее растворов и времени активирова-

ния на поглотительную способность глин из $0,2^{\circ}/_{\circ}$ -ного раствора МС при продолжительности контактирования — 10 минут.

Таблица 1

| | 1 2 2 | Ав | анская гли | на | Ноем | берянская | глина | |
|--|---|------------------------------|------------------------------|------------------------------|--|------------------------------|------------------------------|--|
| Концентра- ция р-ра к-ты | Продолжи гельность активации в часах | поглощено МС в мг | | | поглощено МС в <i>мг</i> из p-pa 10 ⁻³ | | | |
| | P A B | 10 мл | 20 мл | 25 мл | 15 мл | 20 мл | 25 мл | |
| 20º/ ₀ H ₂ SO ₄ | 2 4 6 | 24,4 29,8 29,9 | 39,4 36,8 39,8 | 49,9 42,5 48,7 | 29,8 29,8 29,7 | 39,7 39,9 29,7 | 49,8 49,8 42,2 | |
| 30º/ ₀ H ₂ SO ₄ | 2 4 6 | 29,9 29,7 29,2 | 39,7 38,7 37,0 | 49,5 47,7 40,1 | 29,9 30,0 29,6 | 39,8 40,0 37,4 | 49,9 48,2 49,0 | |
| 40º/ ₀ H ₂ SO ₄ | 2 4 6 | 29,8 24,8 25,3 | 38,1 38,3 33,4 | 39,6 38,9 30,7 | 29,9 28,5 29,8 | 34,3 25,3 34,0 | 32,6 33,0 36,6 | |
| 10°/ ₀ НСІ Природная | 1 2 4 | 29,9 29,9 29,9 26,5 | 39,9 39,7 39,8 38,1 | 49,8 49,9 49,7 38,8 | 29,9 29,9 29,9 26,1 | 39,6 39,9 37,1 37,9 | 49,9 49,5 43,8 47,5 | |

Из данных таблицы видно, что обе изучаемые глины одинаково хорошо активируются как серной, так и соляной кислотой. Лучшие результаты получаются при активации серной кислотой с начальной концентрацией раствора 20 и 30%. Более концентрированный 40%-ный раствор видимо производит необратимые структурные изменения в глинистой породе, ухудшающие ее адсорбционные свойства.

Наконец, важно отметить, что во всех случаях активация в течение 1—2 часов вполне достаточна для повышения адсорбционной активности глин. Приведенные выше данные послужили основанием в следующей серии опытов испытать адсорбционные свойства изучаемых глин при регенерации отработанного минерального масла. С этой целью нами избрано отработанное трансформаторное масло.

К трансформаторным маслам предъявляются строго определенные требования, установленные соответствующим ГОСТ-ом [[3]. Отработанное масло подвергается соответствующей обработке, восстанавливаются его ухудшившиеся характеристики и оно вновь может быть применено в тех же хозяйствах [4].

Одним из дешевых и доступных методов регенерации минеральных масел, в частности трансформаторного, является их обработка отбеливающими глинами.

Испытание изучаемых глин проводилось по следующей методике. В стакане брали 100 г отработанного трансформатрного масла (ОТМ) добавляли 10 г испытуемой глины, поместив стакан в термостат (90°), при постоянном перемешивании смеси, выдерживали 1 час. После некоторого отстаивания, масло фильтровалось и определялись соответствующие параметры.

Одним из важных признаков является цветность масла. Отработанное масло обычно значительно темнее свежего.

Цветность нами определялась колориметрически, причем эталоном сравнения считалась цветность отработанного масла. Степень осветления определялась делением показания колориметра регенерированного, на показание отработанного масла (фактор обесцвечивания).

Фактор свежего масла, применяемого в производстве, равен 2,00, с которым необходимо сопоставлять полученные нами данные, приведенные в таблице 2.

Таблица 2

| | Продолжи- | Фактор обесцвечивания | | |
|---|-----------------------------------|-----------------------|--------------------------|--|
| Испытанные образцы | тельность активации в часах | аванская глина | ноемберян- ская глина | |
| Природная глина | 1.16 | 2,12 | 1,68 | |
| Активиров. 20°/ ₀ H ₂ SO ₄ | 2 | 1,81 | 1,96 | |
| | 4 | 1,97 | 1,66 | |
| Активиров. 30°/ ₀ H ₂ SO ₄ | 2 | 1,92 | 1,75 | |
| | 4 | 1,96 | 1,86 | |
| | 6 | 1,95 | 1,90 | |
| Активиров. 10°/ ₀ HCl | - 1 | 1,74 | 2,33 | |
| | 2 | 1,96 | 1,82 | |
| | 4 | 1,96 | 1,76 | |

В таблице 2 отражены лучшие результаты осветления. Обращает на себя внимание, что наилучшее осветление достигается природной аванской глиной и ноемберянской, активированной $10^{0}/_{0}$ -ной HCl в течение 1 часа. Вполне приемлемы также показатели осветления, полученные аванской глиной, активированной $20^{0}/_{0}$ -ной $H_{2}SO_{4}$ за 2 и 4 часа, $30^{0}/_{0}$ -ной $H_{2}SO_{4}$ за 2, 4, 6 часов и $10^{0}/_{0}$ -ной HCl за 2 и 4 часа. Ноемберянская глина, активированная в тех же условиях, дает несколько худшие показатели, за исключением образца, активированного $20^{0}/_{0}$ -ной $H_{2}SO_{4}$ за 2 часа.

Наряду с цветностью важными показателями регенерированного масла являются его кислотное число, натровая проба, количество водорастворимых кислот и температура вспышки [3].

Кислогное число определяется в спиртовой вытяжке масла титрованием раствором КОН и выражается количеством мг КОН, пошедшего на нейтрализацию кислот 1 г масла. Кислотное число ОТМ равнялось 0,41 мг КОН, тогда как у свежего масла оно должно быть не более 0,05 мг КОН.

Показатели кислотного числа регенерированного нами масла испытуемыми образцами глин отражены в таблице 3.

Из данных таблицы следует, что вполне удовлетворительные результаты получаются при регенерации ОТМ аванской глиной природной и активированной $20^{\circ}/_{\circ}$ -ной $H_{2}SO_{4}$ за 2 и 4 часа и $10^{\circ}/_{\circ}$ -ной HCl за 1,2 и 4 часа, а также ноемберянской глиной, активированной $20^{\circ}/_{\circ}$ -ной $H_{2}SO_{4}$ за 2 часа, $30^{\circ}/_{\circ}$ -ной $H_{2}SO_{4}$ за 2 часа, $30^{\circ}/_{\circ}$ -ной $H_{2}SO_{4}$ за 2 часа, $30^{\circ}/_{\circ}$ -ной $H_{2}SO_{4}$ за 2, 4 и 6 часов и $10^{\circ}/_{\circ}$ -ной HCl за

2 часа. Показатели, полученные с другими образцами обеих глин, выше допустимой нормы.

Таблица 3

| Испытанные образцы | Продолжи- тельность | Кислотное число в мг КОН | | |
|---|------------------------|-----------------------------|-------|--|
| испитанние образци | в часах | | | |
| Природная глина | | 0,038 | 0,132 | |
| Активиров. 20°/0 H ₂ SO ₄ | 2 | 0,009 | 0,027 | |
| | 4 | 0,029 | 0,076 | |
| 30% H ₂ SO ₄ | 2 | 0,089 | 0,013 | |
| | 4 | 0,089 | 0,040 | |
| | 6 | 0,058 | 0,031 | |
| . 10º/ ₀ HCl | 1 | 0,049 | 0,054 | |
| .00330164 | 2 | 0,047 | 0,013 | |
| 200 | 4 | 0,018 | 0,070 | |

Натровая проба имеет целью определить степень помутнения щелочной вытяжки масла после последующего подкисления соляной кислотой и ставится по общепринятой методике, а результат оценивается баллами 1,2,3,4. Допустимой нормой является балл 1.

Оценки натровой пробы регенерированного нами масла приводятся в таблице 4.

Таблица 4

| 1100 100 100 | Продолжи- | Баллы | | | |
|---|-----------------------------------|----------|--------------------|--|--|
| Испытанные образцы | тельность активации в часах | аванская | ноемберян- ская | | |
| природная глина | | 1 | 2 | | |
| актив. 200/0 H ₂ SO ₄ | 2 | 2 | 2 | | |
| | 4 | 2 | 2 | | |
| . 30% H ₂ SO ₄ | 2 | 2 | 2 | | |
| | 4 | 3 | 1 | | |
| . 10º/ ₀ HC1 | 1 | 2 | 2 | | |
| | 2 | 1 | 2 | | |
| | 4 | 1 | 2 | | |

Из этих данных видно, что допустимые показатели получаются при регенерации аванской природной глиной, активированной $10^{\circ}/_{\circ}$ -ной НСІ за 2 и 4 часа и ноемберянской, активированной $30^{\circ}/_{\circ}$ -ной $H_{2}SO_{4}$ за 4 часа.

Далее определялось количество водорастворимых кислот в водных вытяжках регенерированного масла.

Смесь 50 г масла и 50 мл дистиллированной воды нагревается при постоянном взбалтывании, затем отстаивается, из водной вытяжки отбирается 25 мл и титруется

0.025 и раствором КОН. Результат, с вычетом кислотности чистой дистиллированной воды, выражается в граммах КОН, которые пошли на нейтрализацию кислот, извлеченных водой из 1 г масла.

По условиям стандарта, регенерированное масло должно быть нейтральным. Однако, такой результат нами получен лишь при регенерации масел природными глинами, остальные образцы, как видно из таблицы 5, остарляют в масле некоторую кислотность.

Таблица 5

| | Продолжи- | Количеств | Количество кислоты в г | | | |
|--|-----------------------------------|---------------------|------------------------|--|--|--|
| Испытанные образцы | тельность активации в часах | сть ции аванская | ноемберянская | | | |
| Природная глина | | нейтральн. | нейтральн. | | | |
| Активиров. 20°/0 H ₂ SO ₄ | 2 | 0,0045 | 0,0081 | | | |
| | 4 | 0,0045 | 0,0018 | | | |
| 1 | 6 | 0,0027 | 0,0009 | | | |
| . 30º/ ₀ H ₂ SO ₄ | 2 | 0,0027 | 0,0045 | | | |
| | 4 | 0,0054 | 0,0027 | | | |
| , 10% HC1 | | 0,0027 | 0,0063 | | | |
| | 2 | 0,0027 | 0,0036 | | | |
| The second second | 2 | 0,0011 | 0,0076 | | | |

Наконец, нами определялась температура вспышки масла регенерированного некоторыми образцами испытуемых глин. Определение производилось в приборе Мартенса—Спенса по общеизвестной методике [3]. Допустимой считается температура не ниже 140°, а для испытанных нами образцов получены следующие результаты: Аванская, активированная $10^{0}/_{0}$ -ной НСІ за $2 \text{ ч} — 140^{\circ}$, за $4 \text{ ч} — 145^{\circ}$; Ноемберянская, активированная $30^{0}/_{0}$ -ной Н₂SO₄ за $4 \text{ ч} — 143^{\circ}$.

Ереванский государственный университет

Поступило 21 111 1967

ԱՎԱՆԻ ԵՎ ՆՈՑԵՄԲԵՐՅԱՆԻ ԿԱՎԵՐԻ ԱԴՍՈՐԲՑԻՈՆ ՀԱՏԿՈՒԹՅՈՒՆՆԵՐԻ ՈՒՍՈՒՄՆԱՍԻՐՈՒԹՅՈՒՆ ԵՎ ՆՐԱՆՑ ՕԳՏԱԳՈՐԾՈՒՄԸ ՕԳՏԱԳՈՐԾԱԾ ՏՐԱՆՍՖՈՐՄԱՏՈՐԱՑԻՆ ՑՈՒՂԻ ՌԵԳԵՆԵՐԱՑՄԱՆ ՀԱՄԱՐ

Մ. Հ. ՍԱՐԳՍՅԱՆ, \$. Գ. ՓԱՅԱՆ

Udhnhnid

Ուսումնասիրված են բնական և ակտիվացրած վիճակում Ավանի և Նոյեմրերյանի կավերի ադսորրցիոն հատկությունները ջրային լուծույթից մեթիլենային կապույտի կլանումով և օգտագործված տրանսֆորմատորային յուղի վերականգնումով։

Պարզված է, որ Ավանի կավը և բնական վիճակում և 10%-անոց HCl-ով ակտիվացվելուց հետո, ինչպես նաև 4 ժամ 30%-անոց H₂SO₄-ով ակտիվացրած Նոյհմբերյանի կավը տալիս են դրական արդյունք։ Հետևապես նրանք կարելի է հանձնարարել որպես սլիտանի և էժան կլանիչներ՝ օգտագործված յուղի վերականդնման համար։

ЛИТЕРАТУРА

- А. А. Твалчрелидзе, Сб. "Отбеливающие земли СССР", Москва—Ленинград, 1933, стр. 301—312. Изд. АН СССР.
- С. М. Веллер, А. Х. Арутюнян, ЖПХ, 6, 571 (1933). М. А. Саркисян, Диссертация, Ереван, 1946, Г. С. Асратян, Диссертация, Ереван, 1950.
- 3. Нефтепродукты, Методы испытаний, Стандартгиз, 1963.
- П. И. Шашкин, Регенерация отработанных нафтяных масел. Москва, Гостоптехиздат, 1960.
- .5. Б. В. Лосиков, Физико-химические основы регенерации масел. Москва—Ленинград, Гостоптехиздат, 1948.

XXI, № 7, 1968

УДК 66.096.5

СИНТЕЗ ВИНИЛАЦЕТАТА В ПСЕВДООЖИЖЕННОМ СЛОЕ КАТАЛИЗАТОРА

II. О КИНЕТИКЕ И МЕХАНИЗМЕ РЕАКЦИИ

А. Е. АКОПЯН, В. К. БОЯДЖЯН и В. К. ЕРИЦЯН

Изучен механизм образования побочных продуктов при синтезе винилацетата в псевдоожиженном слое катализатора. Исследовано влияние паров воды на процесс синтеза винилацетата и разложение его в среде азота. Исследованы процессы разложения уксусной кислоты и винилацетата в среде гелия, а также винилацетата в среде ацетилена. Указаны возможные пути образования побочных продуктов реакций.

Рассмотрены также теоретические основы синтеза винилацетата в псевдоожиженном слое катализатора.

В предыдущем сообщении приводились данные по технологическому оформлению процесса синтеза винилацетата в псевдоожиженном слое катализатора [1]. В данной работе ряссматриваются некоторые теоретические основы процесса.

Изучению кинетики и механизма реакции парофазного синтеза винилацетата из ацетилена и уксусной кислоты в стационарном слое катализатора посвящен ряд работ.

По данным Фурукава [2], синтез винилацетата на цинкацетатном катализаторе при 200° и приточной системе описывается уравнением

$$W = K \cdot P_{C_a H_a}^{1.65} \cdot P_{CH_a COOH}^{0.65}$$
,

а при циркуляционной системе - уравнением

$$W = K \cdot P_{C_1 H_1}$$

При изучении синтеза винилацетата в температурном интервале 165—210° и различных концентрациях исходных компонентов Янда [3] вывел уравнение

$$W = K \cdot P_{C_8H_8} \cdot P_{CH_3COOH}$$

т. е. синтез винилацетата протекает по реакции второго порядка.

При учете процесса адсорбции ацетилена и уксусной кислоты цинкацетатным катализатором и его носителем— активированным углем, реакция описывается уравнением

$$W = \frac{K \cdot P_{C_3H_3} \cdot P_{CH_3COOH}}{(1 + K \cdot P_{CH_3COOH})^2}$$

Флид и сотрудники [4] изучали кинетику синтеза винилацетата в приточной системе на окиси цинка, нанесенной на окись алюминия в интервале температур-230—270° и нашли, что реакция описывается уравнением второго порядка. Изучение кинетики реакции синтеза винилацетата при столь высоких температурах, на наш взгляд, не может привести к получению результатов, отражающих действительный механизм процесса, так как значительная часть исходной уксусной кислоты и продуктов реакции в указанном температурном интервале разлагается.

Имеющиеся в указанных работах расхождения результатов измерений Васильева, Гельбштейн и сотрудники [5] объясняют недостаточным обеспечением изотермичности слоя катализатора, так как тепловой эффект реакции значителен (12, 18 кал/моль) [6].

В указанных выше работах имеется расхождение также в мнениях о механизме катализа. Одни считают, что лимитирующей стадией процесса является хемсорбция ацетилена катализатором [3]; по мнению других [7], реакция протекает через винил-карбониевый иои, доказательством чего является дейтерообмен между ацетиленом и уксусной кислотой.

В данной работе эти теоретические представления рассматриваются, исходя из экспериментальных данных, полученных при изучении синтеза винилацетата в кипящем слое катализатора, что позволяет вести процесс в изотермических условиях.

Результаты наших исследований позволяют считать более вероятным механизм образования винилацетата через промежуточные соединения, которые возникают между молекулами катализатора и ацетилена или уксусной кислоты:

кат.
$$+$$
 CH₃COOH $=$ кат. CH₃COOH $+$ Q, I
$$\text{кат.} + \text{C}_2\text{H}_2 = \text{кат. C}_2\text{H}_2 + \text{Q}_3.$$
 II

Как известно, эффективными катализаторами при парофазном синтезе винилацетата являются ацетаты цинка и кадмия, осажденные на носители (активированный уголь, силикагель, окись алюминия и др.). Однако в отдельности ни эти соли, ни носители каталитического действия не оказывают. Разница заключается лишь в том, что носители адсорбируют ацетилен и уксусную кислоту, а соли нет; причем адсорбированное количество уксусной кислоты, например, цинкацетатным катализатором на активированном угле при 200°, в тысячи раз превосходит количество адсорбированного ацетилена.

В таком случае винилацетат может образоваться в результате следующих реакций:

$$I + C_2H_2$$
 — \longrightarrow кат $+ CH_2 = CHOCOCH_3$.

Однако следует отметить, что этот механизм является весьма упрощенным, так как на каталитическую активность исключительно эффективное влияние оказывает также свободная поверхность носителя. Поэтому можно допустить, что винилацетат образуется также за счет взаимодействия между промежуточными соединениями и адсорбированными молекулами ацетилена и уксусной кислоты:

$$I + AдC2H3$$
 — III + кат + Ад.

Адсорбированные же на свободной поверхности носителя молекулы ацетилена и уксусной кислоты в реакцию со свободными молекулами, конечно, вступать не могут. В противном случае носители также проявляли бы каталитическую активность.

Процессы комплексообразования и хемосорбции являются обратными и находятся в сильной зависимости от температуры синтеза. Этим, по-видимому, можно объяснить совершенно различное влияние изменения парциальных давлений ацетилена и уксусной кислоты на скорость реакции образования винилацетата.

Ранее было показано [1], что скорость реакции образования винилацетата прямо пропорциональна парциальному давлению ацетилена в парогазовой смеси, в то время как повышение парциального давления паров уксусной кислоты приводит к замедлению реакции:

$$W = \frac{K_{i} P_{C_{i}H_{i}}}{K_{2}P_{CH,COOH}}.$$

Торможение синтеза винилацетата уксусной кислотой, очевидно, может быть объяснено слишком высокой поглотительной способностью носителя, в частности активированного угля, в отношении уксусной кислоты, что приводит к уменьшению свободной поверхности носителя, и следовательно, концентрации адсорбированного на ней ацетилена. Из этого вытекает, что в реакции синтеза винилацетата наиболее медленной стадией является адсорбция ацетилена катализатором.

Торможение синтеза винилацетата уксусной кислотой значительно уменьшается при более высоких температурах (220—230°). В этих условиях скорость реакции описывается уравнением первого порядка:

$$W=K_1P_{C_2H_2}.$$

При парофазном синтезе винилацетата из ацетилена и уксусной кислоты на цинкацетатном катализаторе, кроме винилацетата, получаются также некоторые побочные продукты, механизм образования которых отражен в ряде работ [8—9]. Однако по этому вопросу также имеются большие расхождения в мнениях.

Мы попытались на основании экспериментальных данных, полученных при изучении синтеза винилацетата в "кипящем" слое катализатора, осветить некоторые пути образования побочных продуктов реакции. Из побочных продуктов самым значительным является ацетальдегид, содержание которого в винилацетате-сырце нередко достигает 1,5—2,0%. Он прежде всего возникает в результате прямой реакции гидролиза винилацетата:

Вторым источником образования ацетальдегида является взаимодействие винилацетата с уксусной кислотой, которое, возможно, протекает через этилидендиацетат:

$$III + CH_3COOH \rightarrow CH_3 - CH_2OCOCH_3 \longrightarrow CH_3CHO + O(COCH_3)_2$$
.

Реакция гидратации ацетилена с образованием ацетальдегида в условиях синтеза винилацетата практического значения не имеет. Прямым доказательством этого может служить проведенный нами опыт, при котором через катализатор пропускался ацетилен, содержащий 5 и 10% паров воды. При температуре 200° в получаемом конденсате ацетальдегид не был обнаружен, а при 230° содержание его составляло 0,02%.

Миядзава также считает, что реакция гидратации ацетилена не является источником образования ацетальдегида, так как последний образуется также при использовании абсолютно сухих исходных компонентов. Важной реакцией образования побочных продуктов является также разложение уксусной кислоты:

$$2CH_3COOH \rightarrow CH_3COCH_3 + CO_2 + H_2O.$$

Зависимость скорости этой реакции от температуры отчетливо видна из данных, полученных при проведении синтеза винилацетата на цинкацетатном катализаторе (табл. 1).

Таблица I Влияние температуры на состав конденсата

| Температура реакции, °С | | | | |
|-------------------------|------|------|--|--|
| 180 | 0,02 | 2,0 | | |
| 200 | 0,04 | 3,4 | | |
| 220 | 0,12 | 5,8 | | |
| 230 | 0,37 | 7,4 | | |
| 240 | 1,35 | 11,6 | | |
| 250 | 2,37 | 18,4 | | |

Эти данные показывают, что разложение уксусной кислоты на катализаторе ускоряется особенно при температурах, выше 220° . Повышение температуры приводит к одновременному повышению также содержания CO_2 в реакционных газах.

Значительная часть побочных продуктов возникает также за счет реакций, протекающих между продуктами синтеза и примесями, в частности между винилацетатом и водой. Так например, влияние концентрации воды в исходной уксусной кислоте на состав конденсата отчетливо видно из приведенных ниже данных, полученных при хроматографическом анализе конденсатов. Конденсаты получались при проведении синтеза винилацетата при 200° и строгом постоянстве остальных параметров процесса, за исключением концентрации воды, которая варьировалась в пределах 0—10%.

Таблица 2
Зависимость состава винилацетата-сырца от содержания воды в уксусной кислоте

| | . Содержание воды в исходной уксусной кислоте, ⁰ / ₀ | | | | | |
|----------------------|--|-------|-------|--|--|--|
| Наименование веществ | 0,0 | 5,0 | 10,0 | | | |
| Ацетальдегид | 1,27 | 5,73 | 6,87 | | | |
| Ацетон | 0,04 | 1,78 | 2,84 | | | |
| Винилацетат | 69,89 | 44,54 | 39,22 | | | |
| Кротоновый альдегид | 0,07 | 0,20 | 0,45 | | | |
| Уксусная к-та | 30,46 | 47,52 | 50,52 | | | |
| Этилидендиацетат | 0,26 | 0.22 | 0,07 | | | |

Увеличение содержания ацетальдегида в конденсате при увеличении концентрации паров воды возможно только за счет реакции гидролиза винилацетата, так как реакция гидратации ацетилена, как уже было показано, в этих условиях не протекает.

С целью уточнения механизма образования побочных продуктов реакции проводились специальные опыты, при которых с инертными газами, например, азотом или гелием, через катализатор пропускались либо уксусная кислота, либо винилацетат. В других опытах через катализатор пропускалась смесь ацетилена и винилацетата или к смеси инертного газа и винилацетата добавлялось определенное количество воды. Все опыты проводились при 210° в кипящем слое катализатора. Полученные результаты приведены в таблице 3.

Таблица 3 Состав исходного винилацетата, уксусной кислоты и полученных конденсатов, °/о

| - | | | | | | | , , , |
|------------------|-------------------|--------------|------------------------|---------------------|-----------------------|------------------------------|------------------------------------|
| Винил- ацетат | Ацеталь- дегид | Ацетон | Кротоновый альдегид | Уксусная кислота | Этилиден- диацетат | СО ₂ в конт. газе | Н ₂ О в кон- денсате |
| 1 | 2 | 3 | 4 | 5 | 6 | 7 | 8 |
| | | | Исходный | винилацет | ат | | 5 3-25 |
| 99,88 | 0,05 | 0,06 | - | следы | - | - | |
| | | P | Ісходная укс | усная кис | лота | - | |
| No - | следы | - C | следы | 99,83 | - | - | - |
| | | | Гелий + в | ннилацета | T | | All to |
| 85,69 88,45 | 2,65 3,15 | 6,69 6,75 | 1,59 1,42 | 1,78 1,05 | = | - | 0,25 0,25 |

| | | | | | I. | Іродолжени | е таблицы З |
|----------------|--------------|--------------|--------------|--------------------|---------------------------------|------------|--------------|
| 1 | 2 | 3 | 4 | 5 | 6 | 7 | 8 |
| | | - | цетилен — | винилаце | тат | | 171 |
| 95,85 97,68 | 0.89 0.76 | 2,22 1,06 | 0,09 0,18 | 0,34 0,14 | 0,07 | 3,0 | 0,25 0.25 |
| | | A301 | т 🕂 винила | цет ат 🕂 5º | / ₀ H ₂ O | | |
| 65,8 | 8,47 | 0,48 | 0,59 | 24,67 | - | - | 2,8 |
| | | Азот | + винилац | етат + 100 | 0/0 H ₂ O | | |
| 57,05 | 12,5 | 1,89 | 0,52 | 28,42 | - | 15- | 11,4 |
| | | re | елий — уксу | усная кисл | тота | | |
| следы следы | 0,43 0,34 | = | = | 98,80 98,08 | J = | 2,0 | 0,9 0,67 |

На основании этих данных можно придти к следующим выводам 1. При пропускании смеси гелия и уксусной кислоты происходит частичное разложение уксусной кислоты с образованием ацетальдегида, воды и углекислого газа.

Разложение уксусной кислоты до ацетальдегида и кислорода, возможно, протекает по следующей схеме:

$$CH_3COOH \rightleftharpoons CH_3CHO + \frac{1}{2}O_2$$
.

2. При пропускании смеси гелия и винилацетата или смеси ацетилена и винилацетата последний подвергается частичному разложению в гораздо большей степени, чем уксусная кислота. Однако степень разложения винилацетата значительно изменяется также в зависимости от среды. Так, в среде гелия содержание ацетальдегида и ацетона в конденсате достигает соответственно 3,0 и 6,7%, а в среде ацетилена всего 0,80 и 2,22%. Аналогичная картина наблюдается также с другими продуктами, какими, например, являются кротоновый альдегид, уксусная кислота и др.

Таким образом, винилацетат в тех же условиях в среде ацетилена разлагается в меньшей степени, чем в среде гелия. Это явление, безусловно, связано с поверхностью катализатора, которая, будучи инертной в отношении гелия, является активным адсорбентом ацетилена. Адсорбированные на поверхности катализатора молекулы ацетилена препятствуют доступу молекул винилацетата к поверхности катализатора и этим самым уменьшают степень его разложения.

Механизм образования продуктов разложения винилацетата сложен, однако не исключается возможность течения следующих реакций:

 $III \rightarrow CH \equiv CH + CH_3COOH,$ $III + CH_3COOH \rightarrow CH_3CHO + CH_3COCH_3 + CO_3,$ $III + CH_3COOH \rightarrow CH_3CH(OCOCH_3)_2,$ $CH_3CH(OCOCH_3)_2 \rightarrow CH_3CHO + (CH_3CO)_2O.$

Промежуточные продукты — этилидендиацетат и ангидрид уксусной кислоты в условиях опыта неустойчивы и, по-видимому, разлагаются до ацетальдегида, ацетона и CO₂.

3. Наличие паров воды в смеси азота и винилацетата и увеличение их концентрации приводят к резкому повышению содержания ацетальдегида и уксусной кислоты и к снижению содержания винилацетата в конденсате.

Если в системах ацетилен + винилацетат и гелий + винилацетат содержание уксусной кислоты в конденсате составляло $0,14-0,34^{\circ}/_{o}$, то в системе азот + винилацетат + вода содержание ее доходило до $24-28^{\circ}/_{o}$.

Эти данные ясно показывают, что пары воды вызывают гидролиз винилацетата с образованием $8-12^{\circ}/_{\circ}$ ацетальдегида и $24-29^{\circ}/_{\circ}$ уксусной кислоты. Поэтому использование обезвоженных исходных компонентов при синтезе винилацетата является очень важным фактором с точки зрения уменьшения выхода побочных продуктов.

Из других побочных реакций существенными являются:

2CH₃CHO
$$\rightarrow$$
 CH₃CHOHCH₂CHO \rightarrow CH₃—CH = CH—CHO + H₂O,
Me(CH₃COO)₂ \rightarrow MeO + CH₃COCH₃ + CO₃.

Кротоновый альдегид весьма нежелательный продукт. Его наличие в винилацетате, даже в незначительных количествах, значительно снижает качество получаемых из него полимеров, а наличие в возвратной уксусной кислоте приводит к смолообразованию, что является одной из причин снижения активности и срока службы катализатора.

В продуктах реакции иногда обнаруживается также незначительное количество бензола, который может быть результатом ароматизации ацетилена.

Таким образом, основными побочными продуктами при синтезе винилацетата являются ацетальдегид, ацетон и углекислый газ, выходы которых значительно снижаются при повышении степени чистоты исходных компонентов, т. е. ацетилена и уксусной кислоты, а также возвратного ацетилена и регенерированной уксусной кислоты.

Другим, еще более важным, путем подавления побочных реакций является интенсификация процесса теплоотвода, устранение местных перегревов катализатора и сужение температурного интервала ведения синтеза. С этой точки эрения более совершенным является ведение синтеза винилацетата в псевдоожиженном слое катализатора.

Ереванский отдел научно-исследовательского института полимерных пластмасс

ՎԻՆԻԼԱՑԵՏԱՏԻ ՍԻՆԹԵԶ ԿԱՏԱԼԻԶԱՑՈՐԻ «ԵՌԱՑՈՂ» ՇԵՐՏՈՒՄ

II. ՌԵԱԿՑԻԱՑԻ ԿԻՆԵՏԻԿԱՑԻ ԵՎ ՄԵԽԱՆԻԶՄԻ ՄԱՍԻՆ

2. b. LUANPBUL, Q. A. POSURBUL L Q. A. BPP8BUL

Udhnhnid

Հետազոտված են կատալիզատորի «եռացող» շերտում վինիլացետատի սինթեզի ժամանակ ստացվող կողմնակի նյութերի առաջացման մեխանիզմները

ցախաթթվի քայքայմար տևսները էջիի անարդան ություրը՝ վիրիլացրատախ ոստանորը տևսները որում ին հանրարատի ծամետվայևում, իրչանը ըար քատ ոստանորը տևստի՝ Հբիրումի ը տնրաբիջըի դիձավայևում, իրչանը ըար քա-

Քննարկված են նաև կատալիզատորի «եռացող» շերտում վինիլացետատի ստացման տեսական հիմունջները։

ЛИТЕРАТУРА

- 1. В. Е. Бадалян, В. К. Бояджян, Л. С. Григорян, В. К. Ерицян, А. Е. Акопян, Арм. хнм. ж., 20, 68 (1967).
- J. Furukawa, Chem. High. Polymers (Japan) 6, 116 (1949); [C. A., 46, 1338 (1952)];
 J. Furukawa. H. Ozawa, Buil. Inst. Chem. Research, Kyoto Univ., 26, 93 (1951);
 [C. A. 48, 8018 (1954)].
- Y. Yanda, Chemicki Zvesti, VIII, 11, 478 (1957); N. Yamada, A. Koboyoshi, Chemicki Zvesti, IX, 12, 658 (1958).
- 4. Р. М. Флид, В. В. Басова, А. В. Чирикова, Научные доклады высшей школы, "Химия и химическая технология" № 1, 117 (1959).
- 5. Н. В. Васильева, А. М. Гельбштейн, И. Н. Толстикова, Дао Ван Тыонг, "Кинетика и катализ" АН СССР Сибирское отделение, V, 1, 144 (1964).
- 6. Ch. Matsumoto, Science (Japan), 19, 426 (1940); [C. A., 45, 5506 (1951)].
- N. Yamada, J. Chem. Soc. Japan, Pure Chem. Sec., 78, 252 (1957); N. Yamada, A. Koboyoshi, J. Chem. Soc. Japan, Pure Chem. Sec., 76, 722 (1955); [РЖ Хим., 71591 (1956)].
- 8. S. Miyazawa, Kogyo Kagaku Zasshi, 68 (12), 2384 (1965); C. A., 65, 3736 [(1966)].
- M. Yano, M. Matsumoto, J. Chem. Soc. Japan, Ind. Chem. Sect., 55, 498 (1952);
 [C. A., 46, 3202 (1954)].
- B. Takigawa, J. Chem. Soc. Japan, Ind. Chem. Sect., 57, 471 (1954); [C. A., 49, 14637 (1955)].

XXI, № 7, 1968

КРАТКИЕ СООБЩЕНИЯ

УДК 541.127

НИЖНИЙ ПРЕДЕЛ ВОСПЛАМЕНЕНИЯ В РЕАКЦИИ ФТОРА С ВОДОРОДОМ

А. В. ПАРИЙСКАЯ, В. И. ВЕДЕНЕЕВ н А. Б. НАЛБАНДЯН

В работе [1] был обнаружен верхний предел воспламенения в реакции газообразных фтора и водорода с небольшими добавками кислорода. Предел имеет форму, характерную для второго предела в цепных разветвленных реакциях. Нам представлялось интересным обнаружить нижний предел самовоспламенения.

Методика экспериментов и результаты

В колбу с впаянным тонкостенным капилляром для термопары при температуре жидкого азота по мембранному манометру набирались сначала водород, а затем фтор. Состав смеси во всех опытах был $F_2:H_2=3:1$. Затем сосуд с жидким азотом убирался, и на кривой нагревания, записываемой на потенциометре ЭПП—09, фиксировалась температура воспламенения по разогреву в момент вспышки. Водород для очистки пропускался через ловушку с активированным углем, погруженную в жидкий азот. Фтор перед каждым опытом очищался от кислорода пропусканием через разряд при температуре жидкого азота. Вакуумная установка откачивалась до давления 10^{-5} мм рт. ст.

На рисунке 1 показаны пределы самовоспламенения смеси $F_s: H_s = 3:1$. Кривая 1 отвечает пределу, снятому в кварцевом сферическом сосуде диаметром 6 см.

Вследствие плохой воспроизводимости опыты по нахождению предела при каждой температуре приходилось повторять несколько раз. Каждая экспериментальная точка на кривой, есть усредненный результат нескольких измерений.

Вряд ли могут быть сомнения в том, что реакция фтора с водородом является цепной реакцией, протекающей с участием атомов. Более того, результаты работы [1] указывают на цепной разветвленный характер этой реакции, что подтверждается также фактом обнаруженного нами нижнего предела самовоспламенения.

Поскольку, как видно из рисунка. 1, нижний предел лежит в области низких концентраций (соответствующих давлению ~ 1—3 мм рт. ст.) и низких температур, можно было думать, что невоспроизводимость опытов связана с тем, что гибель атомов происходит в кинетической области, т. е. эта гибель должна сильно зависеть от состояния стенок реакционного сосуда. Мы постарались, поэтому, перейти в диффузионную область. Это можно сделать двумя способами: 1) повысить давление путем добавления инертного газа и 2) увеличить константу скорости гибели атомов на поверхности за счет соответствующей ее обработки.

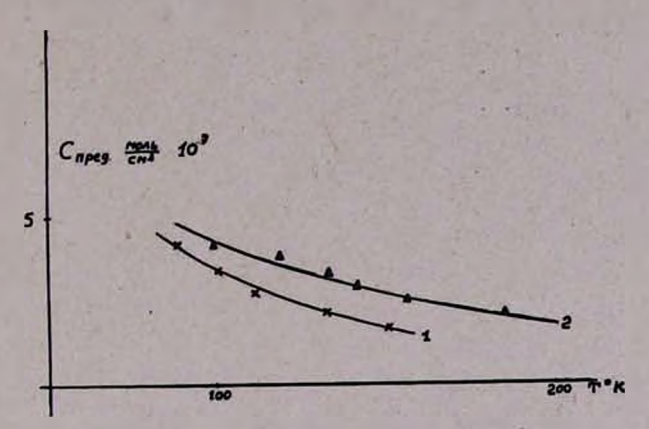


Рис. 1. Пределы воспламенения смеси $F_2: H_2 = 3: 1$. 1. Кварцевый сосуд, диаметр 6 см. 2 Посеребреный сосуд, диаметр 6 см.

К сожалению, нам не удалось снять предел с добавками инертного газа, поскольку в этом случае самовоспламенение происходит при столь низких концентрациях реагентов, что наша экспериментальная методика не позволила нам точно зафиксировать предельные давления. Работа в этом направлении в настоящее время проводится.

Чтобы увеличить константу гибели атомов на поверхности, мы посеребрили поверхность реакционного сосуда. Кривая 2 рисунка 1 отвечает пределу, полученному в сферическом сосуде диаметром 6 см с посеребреными стенками. Как видно, предел в этом случае расположен несколько выше, чем в кварцевом сосуде, что свидельствует об увеличении скорости гибели. Тем не менее, воспроизводимость попрежнему осталась плохой.

Если кривые пределов экстраполировать до температуры жидкого азота, то значения предельных концентраций смеси должны быть около $5 \cdot 10^{-7}$ моль/с \mathbf{x}^{-3} . В действительности, нам не удалось зафиксировать самовоспламенения при $T = 77^{\circ}$ К даже при концентрациях, в несколько раз превосходивших эту величину. Этому факту мы не можем дать объяснения. Выводы: обнаружены нижние пределы самовоспламенения в системе F_a : H_a .

Институт химической физики АН СССР

Поступило 16 XI 1967

ЛИТЕРАТУРА

1. Г. А. Капралова, Е. М. Трофимова. А. Е. Шилов, Кинетика и катализ, т. 6, стр. 977 (1965).

XXI, № 7, 1968

УДК 632.938

ПРОИЗВОДНЫЕ АЦЕТИЛЕНОВЫХ 7-ГЛИКОЛЕЙ И МНОГОАТОМНЫХ СПИРТОВ

II. МОНО- И ДИАЦЕТАТЫ ТРЕТИЧНЫХ АЦЕТИЛЕНОВЫХ ГЛИКОЛЕМ — ВОЗМОЖНЫЕ АТТРАКТАНТЫ НАСЕКОМЫХ

В. Д. АЗАТЯН и М. В. ВАСИЛЯН

Среди появившегося за последние годы значительного количества сообщений о разнообразной биологической активности ряда ацетиленовых соединений мы не нашли упоминания об их активности в качестве аттрактантов.

Работая с ацетиленовыми гликолями и их сложными эфирами и учитывая относительное сходство некоторых аттрактантов с моноацетатами ацетиленовых гликолей (в смысле ненасыщенности молекулы и наличия в ней гидроксильной и ацетильной групп), мы сочли интересным синтезировать моно- и диацетаты ацетиленовых гликолей и проверить их в качестве возможных аттрактантов.

В настоящей работе сообщается о синтезе четырёх диацетатов и семи моноацетатов третичных ацетиленовых 7-гликолей симметричного строения, не описанных в литературе, переданных вместе с четырьмя известными диацетатами на испытание.

Диацетаты синтезировались действием на гликоли как хлористого ацетила, так и ангидрида уксусной кислоты:

Моновцетаты получались их частичным гидролизом с помощью водного раствора едкого кали. В отличие от остальных диацетатов, диацетат бутин-2-диола-1,4 нам не удалось подвергнуть частичному гидролизу ни с помощью едкого кали, ни с помощью поташа или едкого натра.

По данным предварительных испытаний всех синтезированных исходных гликолей и большей части их моно- и диацетатов, проведенных в Институте защиты растений МСХ АН АрмССР, 6,9-диметилдодецин-7-диол-6,9 проявил активность по отношению к дынной мухе (Myopardalis pardalina Big.), а моно- и диацетаты 2,5-диметилгексин-3-диола-2,5, 3,6-диметилоктин-4-диола-3,6 и диацетат 7,10-диметилгексадецин-8-диола-7,10 — по отношению к кольчатому шелкопряду.

Работа в этом направлении продолжается.

Экспериментальная часть

Метил-n-пентил- и метил-n-гексил кетоны приготовлены по прописи [1] и [2], соответственно.

Синтез ацетиленовых гликолей осуществлен по описанному

ранее способу [3]

диацетаты. К гликолям в абсолютном бензоле, в присутствии каталитического количества п-толуолсульфокислоты прибавлялся, при нагревании на водяной бане, уксусный ангидрид. После кипячения смеси с обратным холодильником в течение 10—12 часов реакционная смесь обрабатывалась 20% - ным раствором бикарбоната натрия, промывалась водой, затем насыщенным раствором поваренной соли. Органический слой сушился над безводным сернокислым магнием; после удаления растворителя остаток перегонялся в вакууме.

Синтезированные диацетаты, некоторые их константы и данные

элементарного анализа приведены в таблице 1.

Таблица 1

| 3 54 | % | C/KK | | | Моле- | MI | R _D | A | нал | | º/ _o |
|-----------------------------------|----------|----------|------------------------------|------------------------------|--|---------|----------------|---------|----------------|---------|-----------------|
| R | Выход, о | Т. жип., | d ₄ ²⁰ | n _D ²⁰ | кулярная формула | найдено | вычислено | найдено | вычис- лено | найдено | вычис- |
| н-С ₄ Н ₉ | 80.6 | 154/9 | 0,9452 | 1,4488 | C18H30O4 | 87,90 | 86,6 | 70,43 | 69,64 | 9,85 | 9,74 |
| изо-C ₄ H _• | 73,2 | 137/5 | 0,9744 | 1,4482 | C18H30O4 | 85,2 | 86,6 | 69,72 | 69,64 | 9,53 | 9,67 |
| и-C ₅ H ₁₁ | 68,0 | 162/7 | 0,9437 | 1,4496 | C20H34O4 | 96,06 | 95,87 | 71,48 | 70,97 | 10,09 | 10,12 |
| н-С ₆ Н ₁₃ | 61,7 | 148/2 | 0,9299 | 1,4480 | C ₂₂ H ₃₈ O ₄ | 105,24 | 105,10 | 73,13 | 72,69 | 10,52 | 10,45 |

Кроме указанных в таблице, были приготовлены также известные диацетаты: 2,5-диметилгексин-3-диола-2,5, 3,6-диметилоктин-4-диола-3,6, 3,6-диэтилоктин-4-диола-3,6 и 4,7-ди-и-пропилдецин-5-диола-4,7.

Моновцетаты гликолей получались частичным гидролизом диацетатов кипячением в течение 3-4 часов с рассчитанным количеством $50^{\circ}/_{\circ}$ -ного водного раствора едкого кали, затем экстрагировались эфиром. Эфирный экстракт высушивался, и после отгонки эфира остаток перегонялся.

Константы и данные элементарного анализа моноацетатов представлены в таблице 2.

| R | R' | Выход, 0/0 | Т. кип., °С/ <i>мм</i> | d ₄ ²⁰ | n ²⁰ |
|-------------------------------|----------------------------------|------------|---------------------------|------------------------------|-----------------|
| СНа | CH ₃ | 55,5 | 88/13 | 0,9867 | 1,4466 |
| CH ₃ | C ₂ H ₅ | 78,3 | 90,/2 | 0,9782 | 1,4510 |
| CH ₃ | H-C4H | 79,7 | _+ | | 1,4480 |
| CH ₃ | изо-С,Н, | 88,2 | 142/9 | 0,9351 | 1,4566 |
| CH _a | и-C ₅ H ₁₁ | 73,3 | 157/7 | 0,9237 | 1,4578 |
| CH ₃ | н-С. H ₁₃ | 84,0 | 155/1** | _ | 1,4601 |
| C ₂ H ₅ | C ₂ H ₅ | 70,7 | 92/7*** | _ | 1,4501 |

^{*} Темп. плавления 46—48°. * Темп. плавления 22—22°. * Темп. плавления 65—66°,

R' ≡ CCR OCH, OH

| | MI | R _D | _ A | нал | 11 3, D/0 | | |
|--|---------------------------------|----------------|---------|--------|-----------|--------|--|
| | найдено вычислено найдено | | | | ŀ | 1 | |
| Молекулярная формула | | | найдено | вычис- | найдено | вычис- | |
| C10O16O3 | 49,77 | 49,56 | 66,21 | 65,20 | 8,84 | 8,75 | |
| C12H20O3 | 58,34 | 58,79 | 68,16 | 67,90 | 8,7 | 9,4 | |
| C ₁₆ H ₂₈ O ₃ | _ | - | 72,17 | 71,6 | 10,4 | 10,4 | |
| C ₁₆ H ₂₈ O ₃ | 78,50 | 77,26 | 71,48 | 71,6 | 10,38 | 10,4 | |
| C ₁₈ H ₃₂ O ₃ | 87,50 | 87,40 | 72,50 | 72,9 | 11,25 | 10,8 | |
| C20H36O3 | - | - | 77,05 | 76,9 | 11,21 | 11,5 | |
| · C14H24O3 | | | 71,21 | 70,0 | 10,9 | 10,06 | |

ЛИТЕРАТУРА

- 1. A. J. Vogel, Practical Organic Chemistry. Longmans, Green a. Co. London, New York—Toronto, 1948, crp. 466.
- 2. Там же, стр. 336.
- .3. B. Д. Азатян, М. В. Василян, Изв. АН АрмССР, XH, 15, 493 (1962).

2 Ц 3 4 Ц 4 Ц Б Р Г Р Ц 4 Ц Б Ц Г Г Ц 4 Р Г АРМЯНСКИЯ ХИМИЧЕСКИЯ ЖУРНАЛ

XXI, № 7, 1968

письма в РЕДАКЦИЮ

УДК 547.582.4

ВЗАИМОДЕЙСТВИЕ БЕНЗОНИТРИЛА С 1-ФЕНИЛ-3-ХЛОРЭПОКСИБУТАНОМ

При изучении сополимеризации вышеуказанных соединений под действием катализаторов Фриделя — Крафтса, кроме сополимера, образуется хлористоводородная соль 2-фенил-бензилметилоксазола, что доказывается ИК спектрами оксазола и его соли.

Данные анализов соответствуют составам $C_{17}H_{15}CN$ и $C_{17}H_{16}ONCI$. Полученное нами основание поглощает при 1640-1650, 1560 и $920~cm^{-1}$. Согласно литературным данным [1], замещенные оксазольные кольца поглощают при 1656, 1555-1563 и $916-937~cm^{-1}$. Некоторое снижение частоты поглощения при $1656~cm^{-1}$ связано с тем, что в 2-фенил-замещенном оксазоле сопряжение с фенильной группой снижает частоту поглощения.

Хлористоводородная соль полученного соединения поглощает при 1700, 1590 945 см⁻¹; следовательно, происходит смещение поглощений оксазольного кольца к высоким частотам, что согласуется с литературными данными [2], согласно которым при солеобразовании частота С = N связи несколько повышается.

Т. пл. основания = $54-56^\circ$, т. пл. соли = $139-141^\circ$. 1-фенил-3-хлор-2,3-эпоксибутан получен согласно описанию [3].

А. А. АВЕТИСЯН, А. А. ДУРГАРЯН, М. Т. ДАНГЯН, Л. М. КОДЖОЯН

Ереванский государственный университет

Поступило 15 I 1968

ЛИТЕРАТУРА

- 1. P. Bassignaeu, C. Cogrossi, M. Ganalino, Spectrochim. Acta, 19, 1885 (1963).
- Л. Беллами, "Инфракрасные спектры сложных молекул", ИЛ, Москва, 1963 г., стр. 387.
- 3. А. А. Дургарян, С. А. Титанян, Изв. АН АрмССР. ХН, 13, 263 (1960).

Canhadare և Ֆիզիկական քիմիա

| 111111111111111111111111111111111111111 | |
|--|------------|
| Ն. Մ. Բեյլերյան, Բ. Մ. Սողոմոնյան. Հ. Հ. Չալթիկյան — Իևերտ միջավայրում որիմեթիլֆորմամիդում տրիէթանոլամի հետ բենզոիլի պերօջաիդի երկու ռեակցիայի զուգահեռ ընթացքի մասին | 551 558 |
| Օրգանական քիմիա | |
| Գ. Ա. Չուխաջյան, Հ. Վ. Մովսիսյան, Լ. Ս. Ավագյան <i>— Ացետիլենային միացու</i> - | |
| թյունների հիգրվան ուսումնասիրություն։ V. Արևաիլենային շարբի ամին- ների հիգրում պալագիումային կատալիզատորի օգնությամբ | 563 |
| վինիլացետիլենի ջիմիա։ LXXXIII. Ացետիլենային թթուների, ացետատների | |
| և վինիլէ թինիլկարբինոլների եթերների նրրաշերտ թրոմատոգրաֆիա Գ. Ա. Չուխացյան, Ն. Ֆ. Նոսկովա, Ի. Մ. Ռոստոմյան — Պոլիացետիլենի հատկու~ | 571 |
| Գյունների ուսումնասիրումը։ III. Գոլիացետիլենների օջոիդացումը, ջլորա- | |
| արումը, հիղաումը և Թերմիկ ջայջայումը | 575 |
| Ս. Հ. Վարդանյան, Ֆ. Վ. Դանդյան, Կ. Լ. Սարգսյան — Ձհագեցած ժիացություն- Ների ջիժիա։ XVI. 1,4-Դիհալոգեն-6-արիլնեջսեն-2-ների սին Թեզը և փոխար- | |
| Greatibility | 581 |
| լ Զ Ղազարյան, Կ. Ծ. Թահմազյան. Ծ. Խ. Վարդանյան — N,N <i>-Դիալկիլաժի</i> նա- ացետայդենիդների դիալկիլացետալների սին <i>Թեզ</i> | 588 |
| Հ. Տ. Եսայան, Ա. Հ. Բաբայան, Գ. Ե. Գրիգորյան — 8-Նիարո-4-օջսի- և 8-Նիարո-4- | 000 |
| մեթօջոի բենպիլըլորիդների փոխարկումները։ III. Սուլֆիդների սինթեղ | 594 |
| Ս. Գ. Աղբալյան, Ժ. Ա. Խանամիրյան, Ա. Օ. Նշանյան — <i>Առաջ»ային և երկրորդային</i> ենամինների ռեակցիաներ։ II. Էլեկտրոֆիլ օլեֆիծների հետ ամինակրոտո- | |
| նային էսթերների փոխազդեցության ռեակցիաների ուսումնասիրությունը Ա. Լ. Մնջոյան, Վ. Գ. Աֆրիկյան. Մ. Թ. Գրիգորյան, Ռ. Ա. Ալեքսանյան, Ս. Ս. Վա- սիլյան, Հ. Հ. Կալդրիկյան, Ի. Ա. Ջրաղացպանյան — Հետազոտություններ բենզոդիշբսանի ածանցյալների սինթեղի ընտգավառում։ II. Բենզոդիշանի շարբի մի բանի ալկիլ-, բենզիլ- և պ-ալկօբոիրենզիլպիպերազիլամիդներ և ամիններ | 603 |
| Քիմիական օհի նոլոգիա | |
| Մ. Հ. Սարգսյան, Ֆ. Գ. Փայան — <i>Ավանի և Նոյեմբերյանի կավերի ազաորըցիո</i> ն հատ- | |
| իությունների ուսումնասիրությունը և նրանց օգտագործումը օգտագործած | |
| տ <i>րանսֆորմատորային յուղի ռեզեներացման համար</i> Հ. Ե. Հակոբյան, Վ. Կ. Բոյաջյան, Ա. Բ. Երիցյան — Վ <i>ինիլացետատի սինթեղ կատա</i> | 615 |
| լիզատորի «հռացող» չերտում։ II. Ռեակցիայի կինետիկայի և մեխանիդնի | |
| մասին | 622 |
| twee hangargatus br | |
| Ա. Վ. Պարիյսկայա, Վ. Ի. Վեդենև, Ա. Բ. Նայբանդյան — <i>Բոցավառժան ստորի</i> ն | |
| սահմանը ջրածնի հետ ֆտորի ռեացիայում | 630 |
| սպիրտների ածանցյալներ։ II. Երրորդային ացետիլենային մոնո- և դիացե- | |
| տատները որպես միջատների հնարավոր ատրակտանտներ | 633 |
| Նամակնե ր խմբագրությանը | |
| Ա. Ա. Ավհաիսյան, Ա. Ա. Դուրգարյան, Մ. 8. Դանգյան, Լ. Մ. Կոջսյան — 1-Ֆե <i>ъիլ-</i> Ց- | |
| էթoբոիրուտանի հետ րենդոնիարիլի անակցիան | 637 |

СОДЕРЖАНИЕ

| | Стр. |
|---|------------|
| Общая и физическая химия | - 3 |
| И. М. Бейлерян, Б. М. Согомонян, О. А. Чалтыкян — О параллельном протекании двух реакций при взаимодействии перекиси бензоила с триэтаноламином в диметилформамиде в инертной атмосфере И. М. Бейлерян, М. Г. Геворкян, О. А. Чалтыкян — Кинетика поглощения кислорода системой персульфат — бензиламин в водных растворах | 551 558 |
| Органическая химия | |
| Г. А. Чухаджян, Г. В. Мовсисян, Л. С. Авакян — Исследование гидрирования ацетиленовых соединений. V. Гидрирование аминов ацетиленового ряда на палладиевом катализаторе | 563 571 |
| Г. А. Чухаджян, Н. Ф. Носкова, И. М. Ростомян — Изучение свойств полиацетилена. III. Окисление, клорирование, гидрирование и термическое разложение полиацетилена | 575 |
| С. А. Вартанян, Ф. В. Дангян, К. Л. Саркисян — Химия непредельных соединений. XVI. Синтез и превращения 1,3-дигалоген-5-арилгексенов-2 | 581 |
| Л. З. Казарян, К. Ц. Тогмазян, Ц. Х. Варданян — Синтез диалкилацеталей N,N-диалкиламиноацетальдегидов | 588 |
| Г. Т. Есаян, А. А. Бабаян, Г. Е. Григорян — Превращения 3-нитро-4-окси- и 3-нитро-4-метоксибензилхлоридов. ПП. Синтез сульфидов | 594 |
| С. Г. Агбалян, Ж. А. Ханамирян, А. О. Ншанян — Реакции первичных и вторичных енаминов. П. Изучение реакции аминокротоновых эфиров с электрофильными олефинами | 599 |
| санян, С. С. Васильян, А. А. Калдрикян, И. А. Джагацпанян — Исследования в области синтеза производных бензодиоксана. II. Некоторые алкил-, бензил- и п-алкоксибензилпиперазиламиды и амины ряда бензо- | + |
| диоксана | 603 |
| Химическая технология | |
| М. А. Саркисян, Ф. Г. Паян — Изучение адсорбционных свойств аванской и ноемберянской глин и применение их для регенерации отработанного | 615 |
| трансформаторного масла | 622 |
| Краткие сообщения | |
| А. В. Парийская, В. И. Веденеев, А. Б. Налбандян — Нижний предел воспламенения в реакции фтора с водородом | 630 |
| колей—возможные аттрактанты насекомых | 633 |
| Письма в редакцию | |
| А. А. Аветисян, А. А. Дургарян, М. Т. Дангян, Л. М. Коджоян — Взанмо- действие бензонитрила с 1-фенил-3-хлорэпоксибуданом | 637 |